

# Università Politecnica delle Marche

Facoltà di Ingegneria

Dipartimento di Ingegneria dell'Informazione

Corso di Laurea in Ingegneria Informatica e dell'Automazione

---



Tesi di Laurea

**Progetto ed analisi di varianti relative a schemi di firma digitale  
basati su codici con restrizioni**

**Design and analysis of variants for digital signature schemes based  
on codes with restrictions**

Relatore

Prof. Marco Baldi

Correlatore

Dott. Paolo Santini

Candidato

Valerio Procaccioli

---

Anno accademico 2022-2023



---

# Indice

<b>Abstract</b> .....	3
<b>1 Introduzione</b> .....	5
1.1 Contestualizzazione .....	5
1.1.1 Competizioni Crittografiche e Standard del NIST .....	6
1.1.2 Notazione Matematica .....	6
1.1.3 Notazione Crittografica .....	7
1.2 Protocolli di Identificazione ZK e Schemi di Firma .....	7
1.2.1 Trasformazione di Fiat Shamir .....	9
1.2.2 Commitment, Seed e Salt .....	10
1.2.3 Assunzioni di Sicurezza .....	10
1.2.4 Schemi di identificazione $q2$ .....	11
1.3 Teoria dei Codici .....	12
1.3.1 Syndrome Decoding Problem (SDP) .....	12
1.3.2 Restricted Syndrome Decoding Problem (R-SDP) .....	12
1.3.3 Restricted Decoding Problem in a Subgroup $G$ (R-SDP( $G$ )) .....	14
<b>2 CROSS: Codes and Restricted Objects Signature Scheme</b> .....	15
2.1 CROSS-ID .....	15
2.1.1 Struttura del Protocollo .....	15
2.1.2 Proprietà di CROSS-ID .....	17
2.1.3 Trasformazione di Fiat-Shamir .....	20
2.1.4 Ottimizzazioni del Protocollo .....	21
2.2 Schema di firma CROSS .....	23
2.2.1 Dimensioni notevoli .....	25
2.2.2 Descrizione procedurale .....	26
2.2.3 Logica progettuale .....	35
<b>3 CROSS Single Commitment</b> .....	37
3.1 Proposta di modifica .....	37
3.1.1 Base matematica .....	38
3.1.2 Confronto tra CROSS e CROSS Single Commitment .....	41
3.1.3 Considerazioni crittografiche .....	43

<b>4</b>	<b>Indice</b>	
3.2	Fiat Shamir e lo schema di firma CROSS SC	44
3.2.1	Schema di firma risultante	45
3.2.2	Descrizione procedurale di CROSS SC	48
3.3	Implementazione Python	52
3.3.1	Packages e Struttura	52
3.3.2	CROSS.ipynb	54
3.3.3	CSPRGN	57
3.3.4	HASH	57
3.3.5	UTILS	57
<b>4</b>	<b>Profilazione del codice e risultati</b>	<b>61</b>
4.1	Analisi parametrica	61
4.1.1	Script per i parametri	62
4.1.2	Valori Parametrici per CROSS	63
4.1.3	Valori Parametrici per CROSS SC	65
4.2	Profilazione degli schemi	66
4.2.1	Struttura del progetto C	67
4.2.2	Profilazione Gprof	67
4.2.3	Script per il Benchmarking	68
4.3	Risultati e Confronti	69
4.3.1	Confronti con lo stato dell'arte	70
4.3.2	Analisi delle funzioni di CROSS	73
	<b>Conclusioni</b>	<b>77</b>
	<b>Appendice</b>	<b>79</b>
	<b>Riferimenti bibliografici</b>	<b>145</b>

---

## Elenco delle figure

1.1	Architettura di una primitiva crittografica asimmetrica per la firma digitale . . . . .	6
1.2	Architettura di un protocollo di identificazione Zero Knowledge 5-step . . . . .	9
2.1	Protocollo di identificazione Zero Knowledge CROSS-ID . . . . .	16
2.2	Lo schema di firma CROSS: generazione della firma . . . . .	24
2.3	Lo schema di firma CROSS: verifica della firma . . . . .	25
2.4	Primitiva KeyGen di CROSS . . . . .	28
2.5	Primitiva Sign di CROSS . . . . .	30
2.6	Primitiva Verify di CROSS . . . . .	34
3.1	Schema di CROSS-ID ottimizzato ad un singolo commitment (R-SDP) . . . . .	44
3.2	Lo schema di firma CROSS SC: generazione della firma . . . . .	47
3.3	Lo schema di firma CROSS SC: verifica della firma . . . . .	48
3.4	Primitiva KeyGen di CROSS SC . . . . .	50
3.5	Primitiva Sign di CROSS SC . . . . .	52
3.6	Primitiva Verify di CROSS SC . . . . .	54
4.1	Tabella relativa al tempo d'esecuzione di CROSS . . . . .	69
4.2	Tabella relativa alle prestazioni di CROSS SC a parametri invariati . . . . .	69
4.3	Confronto tra le versioni di CROSS basato su firma e tempo d'esecuzione delle fasi . . . . .	71
4.4	Confronto tra le versioni di CROSS basato su firma e tempo d'esecuzione complessivo . . . . .	71
4.5	Confronto tra CROSS e lo stato dell'arte relativo agli schemi basati su codici . . . . .	72
4.6	Confronto tra CROSS e lo stato dell'arte relativo al resto degli schemi di firma . . . . .	73
4.7	Contributo percentuale delle funzioni di CROSS SIG_SIZE . . . . .	74
4.8	Contributo percentuale delle funzioni di CROSS SPEED . . . . .	74
4.9	Contributo percentuale delle funzioni di CROSS SC SIG_SIZE . . . . .	75
4.10	Contributo percentuale delle funzioni di CROSS SC SPEED . . . . .	75



---

## Elenco dei listati

4.1	Codice relativo al calcolo della firma in CROSS CS .....	65
4.2	Codice C per la configurazione delle specifiche di compilazione .....	68
4.3	Codice Shell Linux per la conversione dei file di profilazione.....	68
4.4	Codice relativo all'importazione delle librerie in CROSS .....	79
4.5	Codice relativo alla configurazione di CROSS e dei suoi parametri .....	79
4.6	Codice relativo alle funzioni di utilità generiche per CROSS.....	81
4.7	Codice relativo alla primitiva di generazione delle chiavi di CROSS .....	83
4.8	Codice relativo alla primitiva di generazione della firma di CROSS.....	84
4.9	Codice relativo alla primitiva di verifica della firma di CROSS .....	90
4.10	Codice relativo al main di CROSS SC.....	96
4.11	Codice relativo all'importazione delle librerie di CROSS SC.....	97
4.12	Codice relativo alla configurazione di CROSS SC e dei parametri .....	97
4.13	Codice relativo alle funzioni di utilità di CROSS SC .....	98
4.14	Codice relativo alla generazione delle chiavi di CROSS SC .....	101
4.15	Codice relativo alla generazione della firma di CROSS SC .....	102
4.16	Codice relativo alla verifica della firma di CROSS SC .....	108
4.17	Codice relativo al main di CROSS SC.....	113
4.18	Funzioni CSPRNG .....	114
4.19	Funzioni HASH .....	118
4.20	Funzioni per l'albero di Merkle.....	118
4.21	Funzioni per l'albero di Seed .....	126
4.22	Funzioni generiche di utilità .....	135
4.23	Script relativo al calcolo della coppia t e w negli intervalli desiderati .....	137
4.24	Script relativo alla definizione del set di parametri per CROSS .....	142





---

## Abstract

La ragione che motiva la realizzazione di questo studio è intrinseca alla costante evoluzione delle minacce informatiche ed alla necessità imperante di adeguare le attuali tecniche crittografiche per affrontare le sfide in modo efficace. La ricerca di soluzioni più efficienti, oltre a rispondere alla sempre crescente complessità delle minacce, contribuisce significativamente al progresso generale nella progettazione di algoritmi più robusti e scalabili. Questo lavoro, pertanto, si configura non solo come uno sforzo teso al miglioramento delle prestazioni dello schema di firma digitale CROSS, attualmente in gara nella competizione NIST Post-Quantum, ma si inserisce anche in un contesto più ampio di adattamento e innovazione.

La riflessione critica e l'esplorazione di nuove prospettive costituiscono elementi fondamentali di un approccio dinamico alla sicurezza informatica, orientato verso la continua ricerca di soluzioni più avanzate ed efficaci. Il seguente studio di CROSS mira ad esplorare miglioramenti sensibili in termini di prestazioni, concentrandosi in particolare su due aspetti chiave: la dimensione della firma e la velocità di esecuzione dell'algoritmo.

Inizialmente, è stata condotta un'analisi relativa alle basi matematiche che sottendono la robustezza della procedura. Tuttavia, l'attenzione non si è limitata alla mera comprensione teorica; al contrario, è stata adottata una nuova prospettiva di modifica, concentrata sulla rimozione di una specifica sequenza di dati dal modello originale. Attraverso dimostrazioni matematiche solide ed una progettazione schematica rigorosa, la validità della revisione proposta è stata confermata, portando a miglioramenti tangibili nell'efficienza complessiva dello schema.

L'implementazione Python degli algoritmi ha svolto un ruolo essenziale nella completezza del progetto CROSS. Quest'ultima non solo ha fornito uno strumento pratico per sostenere l'approccio teorico, ma ha anche contribuito ad una migliore comprensione del contesto crittografico di riferimento. Parallelamente, è stata condotta un'analisi parametrica volta a identificare istanze valide e performanti per la nuova alternativa. Tale attività è finalizzata al rilevamento della versione più efficiente di CROSS, attraverso implementazioni di alto livello in combinazione con parametri adatti ai cambiamenti riscontrati.

Infine, è stata posta particolare enfasi sul confronto tra le versioni realizzate rispetto allo stato dell'arte attuale. Questa valutazione comparativa permette di mostrare in modo dettagliato gli aspetti cruciali della soluzione proposta, evidenziandone contemporaneamente eventuali criticità.

Nel dettaglio, la struttura della tesi è delineata come segue:

- **Capitolo 1: Introduzione** - Fornisce un contesto iniziale sulla firma digitale, presentando la notazione matematica ed i requisiti minimi necessari per una comprensione approfondita del lavoro.
- **Capitolo 2: CROSS** - Approfondisce lo schema di firma digitale CROSS, illustrandone il funzionamento, le basi concettuali ed il processo di analisi.
- **Capitolo 3: CROSS Single Commitment** - Presenta le proposte di miglioramento emerse durante l'analisi dello schema originale. Viene discussa nel dettaglio l'evoluzione teorica, seguita dall'implementazione completa in linguaggio Python di entrambe le versioni.
- **Capitolo 4: Profilazione del codice e risultati** - Esamina i parametri chiave per entrambe le versioni dello schema, identificandone i valori che conducono alle migliori prestazioni. La profilazione del codice, forte dei nuovi parametri, completa la sezione consegnando i risultati del lavoro svolto.
- **Conclusioni** - Rivede criticamente il lavoro svolto, evidenziando: punti di forza, opportunità, criticità e minacce; oltre a proporre idee innovative per futuri sviluppi nell'ambito delle firme digitali.

## Introduzione

*Nel primo capitolo viene esplorato il contesto generale relativo alle firme digitali, ponendo l'enfasi sulla rilevanza delle competizioni crittografiche indette dal NIST. Di seguito vengono ampiamente discussi: gli strumenti, le tecniche, la teoria ed i problemi alla base della ricerca condotta.*

### 1.1 Contestualizzazione

La firma è storicamente un mezzo cruciale per attestare l'autenticità e l'approvazione di documenti, risentendo però di ampie vulnerabilità nel contemporaneo. Difatti, nel mondo digitale, la firma non rappresenta l'equivalente elettronico della firma autografa, bensì svolge un ruolo fondamentale nell'ambito della sicurezza e della legalità relative alle interazioni fra gli utenti.

La pratica della firma autografa, risalente a secoli di tradizione, caratterizza l'atto fisico di apporre una firma personale su un documento cartaceo per confermarne l'autenticità. Essa viene spesso associata all'identità unica del firmatario ed alla sua approvazione formale del contenuto di un documento. Nonostante ciò, con l'avvento delle nuove tecnologie, l'esigenza di adattare questo concetto tradizionale alla sfera informatica ha dato vita, inizialmente, alla firma biometrica (o grafometrica) e, di seguito, alla firma digitale.

Quest'ultima rappresenta un avanzamento tecnologico importante, che consente di generare in modo sicuro un dato identificativo, calcolato tipicamente attraverso l'uso di una primitiva crittografica asimmetrica (Fig.1.1). Essa è contraddistinta da un funzionamento basato su coppie di chiavi asimmetriche, dunque differenti (privata, pubblica), per ciascuna entità che volesse autenticarsi. Attraverso l'utilizzo della chiave privata è possibile apporre sul documento un sigillo che attesta l'univocità dell'azione eseguita; allo stesso modo la chiave pubblica dell'utente, fruibile da chiunque, permette di verificare la validità della marcatura apposta. Quindi, contrariamente alla firma cartacea, quella digitale si basa su algoritmi crittografici per garantire l'autenticità e l'innegabilità del firmatario. La sua evoluzione nell'era contemporanea, nonostante la moltitudine di variabili presenti, mantiene comunque un legame indissolubile con la firma autografa. Entrambe mirano a fornire un mezzo sicuro per identificare il firmatario, congiuntamente ad una sua volontà. Tuttavia, la firma digitale va oltre, offrendo vantaggi unici come la capacità di verificare l'origine e l'inte-

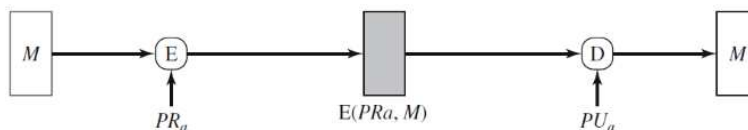


Figura 1.1: Architettura di una primitiva crittografica asimmetrica per la firma digitale

grità del documento, oltre a consentire la firma di documenti senza necessità di presenziare fisicamente.

### 1.1.1 Competizioni Crittografiche e Standard del NIST

Il National Institute of Standards and Technology (NIST) svolge un ruolo centrale nell'evoluzione e la definizione degli standard crittografici alla base della cybersecurity. Attraverso delle competizioni crittografiche, il NIST seleziona e promuove algoritmi robusti per affrontare sfide emergenti e garantire la sicurezza delle comunicazioni digitali.

Uno dei contributi più significativi del NIST è rappresentato dalla competizione per l'Advanced Encryption Standard (AES) nel 1997. Questa competizione ha portato all'adozione di un algoritmo simmetrico di crittografia che è diventato uno standard ampiamente utilizzato per garantire la confidenzialità dei dati.

Il NIST ha anche guidato la competizione per lo sviluppo del Secure Hash Algorithm 3 (SHA-3). Questo processo ha portato alla selezione dell'algoritmo Keccak, riconosciuto come standard crittografico per gli algoritmi di hash.

Inoltre, la crescente minaccia dei computer quantistici alle attuali tecniche di crittografia ha spinto il NIST ad intraprendere un'iniziativa ambiziosa per identificare algoritmi Post-Quantum. Attualmente in corso, questa competizione mira a stabilire nuovi standard crittografici resistenti ai futuri sviluppi nella computazione quantistica.

Rilevante per la ricerca, l'attenzione del NIST nei confronti delle competizioni crittografiche riflette l'importanza di adottare algoritmi sicuri e innovativi per garantire la validità e la sicurezza delle firme digitali.

L'algoritmo Codes and Restricted Objects Signature Scheme (CROSS), descritto ed approfondito in questo lavoro di tesi, è attualmente in gara nella competizione NIST relativa alle firme digitali Post-Quantum.

### 1.1.2 Notazione Matematica

Si utilizza  $[a; b]$  per denotare l'insieme di tutti i reali  $x \in \mathbb{R}$  tali che  $a \leq x \leq b$ . Per un insieme finito  $A \subset \{1, \dots, n\}$ , l'espressione  $a \stackrel{\$}{\leftarrow} A$  sta a significare che  $a$  è scelto in maniera uniformemente casuale da  $A$ . In aggiunta, si rappresenta con  $|A|$  la cardinalità di  $A$ , con  $A^C = \{1, \dots, n\} \setminus A$  il suo complementare e con  $A_0 = A \cup \{0\}$  l'insieme completo del valore zero. Considerando  $m$  un intero positivo, si indicherà con  $\mathbb{Z}_m = \mathbb{Z}/m\mathbb{Z}$  l'anello di interi modulo  $m$ . Sia  $p$  un numero primo: si rappresenterà con  $\mathbb{F}_p$  il campo finito di ordine  $p$  e con  $F_p^*$  il suo gruppo moltiplicativo. Si denota con  $ord(g)$  l'ordine moltiplicativo di un elemento  $g \in \mathbb{F}_p^*$ . L'utilizzo delle maiuscole servirà per definire le matrici, mentre le minuscole per i vettori. Preso in esame l'insieme  $J$ , si considererà  $\mathbf{A}_J$  come la matrice formata dalle

colonne di  $\mathbf{A}$ , indicizzate da  $J$ ; una notazione similare è utilizzata anche per i vettori. La matrice identità di dimensione  $m$  sarà  $\mathbf{I}_m$ . Si userà  $\mathbf{0}$  per definire sia la matrice nulla che il vettore, a seconda del contesto e senza specificarne la dimensione. Infine, si definisce  $h_p$  come la funzione di entropia  $p$ -aria.

### 1.1.3 Notazione Crittografica

L'argomento trattato in questa tesi richiede l'utilizzo di notazioni crittografiche convenzionali, come  $\lambda$  come parametro di sicurezza, a valori  $\lambda \in \{128, 192, 256\}$ . Di seguito, sono mostrate tutte le strutture crittografiche utilizzate:

- **Hash**:  $\{0, 1\}^* \rightarrow \{0, 1\}^{2\lambda}$ , ossia una funzione hash crittografica sicura, che riceve un input di dimensione arbitraria e produce un digest di lunghezza fissa, pari a  $2\lambda$ ;
- **MerkleTree**, costruito a partire da  $t$  elementi  $(a^{(1)}, \dots, a^{(t)})$  costituenti le foglie dell'albero, indicato come  $\text{T=MerkleTree}(a^{(1)}, \dots, a^{(t)})$ . La radice dell'albero è estratta attraverso il metodo  $\text{T.Root}()$ . La funzione per comporre la Merkle Proof, partendo dalle foglie indicate dall'insieme  $J$  è  $\text{T.MerkleProof}(J)$ . La ricostruzione della radice, partendo dalle foglie  $\{a^{(i)}\}_{i \in J}$  e dalla **MerkleProof**, è realizzata attraverso  $\text{VerifyMerkleRoot}(\{c_1^{(i)}\}_{i \notin J}, \text{MerkleProof})$ . La funzione hash impiegata per la costruzione dell'albero produce digest di lunghezza  $2\lambda$  dato che, all'intero della struttura, ogni foglia è una stringa binaria di lunghezza appunto pari a  $2\lambda$ ;
- **SeedTree**, realizzato a partire dalla radice **Root**. La funzione che compone le  $t$  foglie  $(\text{Seed}^{(1)}, \dots, \text{Seed}^{(t)})$  è  $\text{SeedTree}(\text{Root})$ . Tutti i seed generati hanno lunghezza  $\lambda$ . Per costruire la struttura dati **SeedPath**, la quale serve per rigenerare i seed indicizzati dall'insieme  $J$  con  $\text{GetSeeds}(\text{SeedPath}, J)$ , si usa la funzione  $\text{SeedPath}(\text{Root}, J)$ . Inoltre, è possibile includere una stringa di **Salt**, di lunghezza  $2\lambda$ , per favorire una maggiore complessità e sicurezza nella struttura dati.

Infine, la notazione  $a \xleftarrow{\text{Seed}} A$  indica che  $a$  è campionato attraverso un generatore deterministico casuale crittograficamente sicuro, il quale produce in output elementi scegliendoli uniformemente da  $A$ , ed è inizializzato in input da **Seed**.

## 1.2 Protocolli di Identificazione ZK e Schemi di Firma

Per completezza viene trattata, in maniera sintetica, la teoria che descrive il passaggio dagli schemi interattivi di identificazione a quelli non interattivi di firma digitale.

Uno schema di identificazione Zero Knowledge, anche chiamato Proof of Knowledge, è un protocollo interattivo nel quale un *prover*  $P$  ha l'obiettivo di dimostrare ad un *verifier*  $V$  la conoscenza di un segreto che verifica delle assunzioni precedenti, senza rivelarlo o dare informazioni su di esso. In questo caso, si esamineranno solamente i protocolli che prevedono l'invio di cinque messaggi, con il prover che invia sempre il primo e l'ultimo.

Questa tipologia di protocolli (descritta in Fig.1.2) è detta a 5-step ed ogni messaggio scambiato ha un nome specifico. Il primo messaggio del prover è chiamato *commitment*, ossia impegno verso una certa dichiarazione. I successivi due messaggi del prover sono chiamati *responses*, in quanto sono risposte alle interazioni del verifier. Esso, invece, invia due messaggi chiamati *challenges*; quest'ultimi sono determinati in maniera uniformemente casuale

attraverso due insiemi di valori, nominati rispettivamente  $C_1$  e  $C_2$ . Dunque, una singola esecuzione del protocollo d'identificazione, mantenendo invariato l'ordine delle interazioni, può essere riassunta come:

$$T = (\text{Com}, \text{Ch}_1, \text{Rsp}_1, \text{Ch}_2, \text{Rsp}_2).$$

Si indicherà con  $T$  un *transcript* del protocollo, ossia una singola esecuzione corretta e completa della procedura. Al termine di ogni transcript, il verifier produce in output un valore  $\text{Out} \in \{0, 1\}$  che indica l'autenticazione del prover (valore 1), o meno (valore 0).

Di seguito, invece, sono descritte le proprietà che un protocollo ZKID deve garantire:

- *Completeness*: un prover onesto deve essere sempre accettato. Questo significa che un'esecuzione avviata da un prover che conosce il segreto termina sempre con il risultato del verifier pari a 1.
- *Zero Knowledge*: le interazioni tra prover e verifier non devono rivelare informazioni sul segreto. Questo implica che conoscere i valori delle challenge a priori permette ad un prover malevolo di produrre transcript validi ed indistinguibili da quelli di un prover onesto.
- *Soundness*: quando il verifier è onesto, dunque le challenge sono campionate attraverso distribuzioni uniformi su  $C_1$  e  $C_2$ , un prover malevolo (che non conosce il segreto) può convincere il verifier con una probabilità  $\varepsilon < 1$ . La quantità  $\varepsilon$  è chiamata *soundness error* e corrisponde alla probabilità che un prover malevolo riesca ad indovinare correttamente quale sottoinsieme di challenge sarà scelto dal verifier (in aggiunta ad una quantità trascurabile, relativa alla probabilità che il prover riesca a risolvere dei problemi difficili).

Considerando  $t$  esecuzioni parallele di un protocollo a 5-step, caratterizzato da un soundness error  $\varepsilon$ , si ottiene un nuovo schema con soundness error  $\varepsilon^t$ . Al fine di distinguere i dati dei diversi round, si usa la notazione <sup>(i)</sup> per indicare l'elemento dell'i-esimo round.

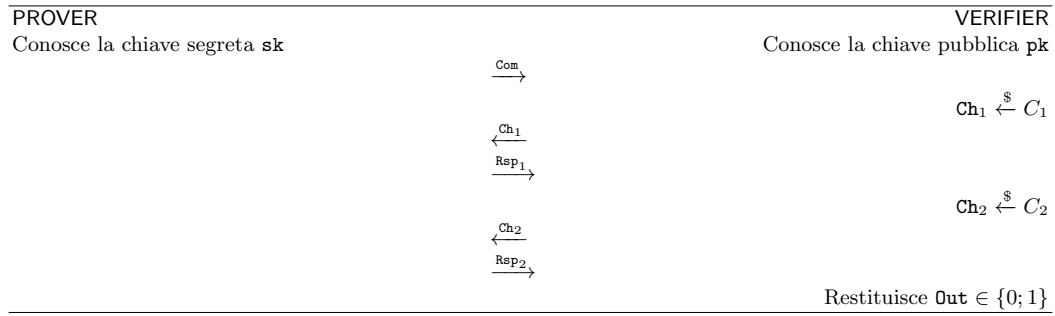


Figura 1.2: Architettura di un protocollo di identificazione Zero Knowledge 5-step

### 1.2.1 Trasformazione di Fiat Shamir

La trasformazione di Fiat-Shamir è una tecnica che consente di ottenere uno schema di firma a partire da un protocollo d'identificazione ZK interattivo. Tale operazione elimina l'interattività, facendo sì che il prover simuli le operazioni del verifier in autonomia (challenge, output).

Il messaggio da firmare  $Msg$  passa come input di una funzione hash, congiuntamente ad altri dati, al fine di legarlo al transcript. Le operazioni relative alla trasformata di Fiat-Shamir, su  $t$  esecuzioni della procedura, sono:

1. Generazione dei commitment

$$\text{Com} = (\text{Com}^{(1)}, \text{Com}^{(2)}, \dots, \text{Com}^{(t)});$$

2. Generazione della prima challenge

$$\text{Ch}_1 = (\text{Ch}_1^{(1)}, \text{Ch}_1^{(2)}, \dots, \text{Ch}_1^{(t)}) = \text{Hash}(\text{Msg}, \text{Com});$$

3. Composizione della prima risposta

$$\text{Rsp}_1 = (\text{Rsp}_1^{(1)}, \text{Rsp}_1^{(2)}, \dots, \text{Rsp}_1^{(t)})$$

4. Generazione della seconda challenge

$$\text{Ch}_2 = (\text{Ch}_2^{(1)}, \text{Ch}_2^{(2)}, \dots, \text{Ch}_2^{(t)}) = \text{Hash}(\text{Msg}, \text{Com}, \text{Ch}_1, \text{Rsp}_1);$$

5. Composizione della seconda risposta

$$\text{Rsp}_2 = (\text{Rsp}_2^{(1)}, \text{Rsp}_2^{(2)}, \dots, \text{Rsp}_2^{(t)}).$$

Un'esecuzione parallela di  $t$  istanze del protocollo ci consegna, come risultato, una firma digitale. In altre parole, l'algoritmo di firma consiste in un prover che non interagisce più con un verifier, bensì lo simula generando le challenge localmente. L'algoritmo di verifica, invece, simula i controlli effettuati dal verifier sui dati ricevuti dal prover. A seconda del transcript, l'output potrà essere 1 (se la firma viene accettata) oppure 0 altrimenti.

Intuitivamente la firma ottenuta è sicura, dato che ogni challenge è generata attraverso una funzione one-way pseudo casuale, la quale riceve in input i precedenti messaggi scambiati. Inoltre, non è possibile cambiare il commitment  $\text{Com}$  dopo la generazione della prima challenge  $\text{Ch}_1$ , a meno che l'attaccante non rilevi delle collisioni nella funzione hash. Tipicamente, una leggera modifica a  $\text{Com}$  porta ad un cambiamento imprevedibile della challenge  $\text{Ch}_1$ .

Per ridurre la dimensione della firma, le challenge di norma sono omesse, in quanto possono essere rigenerate durante la verifica. In conclusione, la firma sarà caratterizzata dalla seguente forma:

$$\text{Sign} = (\text{Salt}, \text{Com}, \text{Rsp}_1, \text{Rsp}_2).$$

### 1.2.2 Commitment, Seed e Salt

I commitment rappresentano un impegno che il prover consegna, al fine di garantire la propria identificazione e l'integrità dei messaggi che invia. Essi sono tipicamente implementati attraverso delle funzioni hash: se il valore di riferimento è  $x$ , il prover comporrà ed invierà  $\text{Com} = \text{Hash}(x)$ .

Le funzioni in questione, però, dovranno offrire le seguenti caratteristiche per essere considerate valide:

- *Hiding*, se dato l'output  $\text{Com}$  non si possono ricavare informazioni sull'input  $x$ ;
- *Binding*, risulta impossibile trovare due messaggi distinti  $x \neq x'$  che corrispondono allo stesso output  $\text{Com}$ . In altre parole, il prover non può modificare  $x$  dopo che l'ha scelto come riferimento.

Inoltre, il valore di riferimento per il prover è tipicamente un seme di lunghezza  $\lambda$ . Se non si adottano determinate precauzioni, è possibile trovare collisioni nei commitment in tempo  $O(2^{\frac{\lambda}{2}})$ . In questo caso un attaccante può trovare valori coerenti, senza che il prover li propaghi. Per evitare questo basta campionare, per ogni nuova firma generata, un nuovo  $\text{Salt}$  di dimensione  $2\lambda$ , il quale sarà utilizzato come input aggiuntivo della funzione hash con il seguente criterio:

$$\text{Com} = \text{Hash}(x, \text{Salt}).$$

### 1.2.3 Assunzioni di Sicurezza

L'impiego della trasformata di Fiat-Shamir ad un protocollo di identificazione ZK, con soundness error pari a  $\varepsilon$ , porta ad ottenere uno schema di firma che ammette attacchi di falsificazione in tempo  $O(\varepsilon^{-1})$ . Di norma un prover malevolo può simulare ripetutamente il protocollo, cercando di indovinare i valori delle challenge e preparando commitment con risposte ad esse coerenti. I valori delle challenge saranno legati ai tentativi del prover malevolo con probabilità pari a  $\varepsilon$ ; ciò vuol dire che in media i tentativi da effettuare per compromettere l'esecuzione devono essere  $\varepsilon^{-1}$ .

Se si prende in considerazione uno schema di firma con soundness error  $\varepsilon$ , caratterizzato da  $t$  esecuzioni parallele, il costo risultante per un attacco di falsificazione è pari a  $O(\varepsilon^{-t})$ . Se si segue la nota *euristica*- $\varepsilon^{-t}$ , è sufficiente scegliere  $t$  tale per cui  $\varepsilon^{-t} > 2^\lambda$ . L'unica



problematica è legata al fatto che, nel caso di schemi 5-step, alcune istanze del protocollo possono fallire; dunque, non si riesce a garantire sempre un livello di complessità pari a  $2^\lambda$ .

Nel documento [1] vengono approfondite le formule per caratterizzare i costi degli attacchi di falsificazione. Sulla base delle analisi condotte, tale costo dipende solamente da  $t$  e dalla dimensione degli spazi delle challenge, ossia  $|C_1|$  e  $|C_2|$ . Dato che  $C_1$  e  $C_2$  sono essenzialmente fissati, in base al protocollo ZK sul quel si appoggia lo schema, il valore di  $t$  va scelto di modo che il costo sia sopra a  $2^\lambda$ . Nella pratica, se ci si basa sugli attacchi definiti nella documentazione, il valore effettivo di  $t$  è più grande di quello dato dall'*euristica*- $\varepsilon^{-t}$ .

Ulteriori attacchi si basano, invece, sull'idea di acquisire informazioni e sfruttando la non interattività dello schema per produrre transcript validi, con una probabilità di successo maggiore di  $\varepsilon^t$ .

Di seguito, è possibile dimostrare come lo schema di firma ottenuto dal paradigma Fiat-Shamir raggiunga sicurezza EUF-CMA (Existential Unforgeability Under Chosen Message Attack), attraverso un protocollo di identificazione Zero Knowledge con specifiche proprietà.

### 1.2.4 Schemi di identificazione $q2$

Un protocollo ZK  $q2$  è classificato come tale, dal momento in cui garantisce tre proprietà:

1.  $|C_1| = q$ ;
2.  $|C_2| = 2$ ;
3. La probabilità che il Com assuma un determinato valore rilevabile è una quantità trascurabile considerata nel parametro di sicurezza  $\lambda$ .

Si può dimostrare come l'esecuzione di  $t$  istanze in parallelo di un protocollo ZK  $q2$ , trasformato con la tecnica di Fiat-Shamir, conduca ad uno schema di firma con sicurezza EUF-CMA [2], necessaria a validare lo schema di firma digitale rispetto al Quantum Random Oracle Model. La dimostrazione di quanto affermato si basa sull'esistenza di un risolutore  $q2$ , ossia un algoritmo probabilistico polinomiale  $\xi$  che calcola, con probabilità non trascurabile di successo pari a  $1 - \varepsilon$ , il segreto  $sk$ , dati quattro transcript validi del tipo:

$$\begin{aligned} T &= (\text{Com}, \text{Ch}_1, \text{Rsp}_1, \text{Ch}_2, \text{Rsp}_2), \\ T' &= (\text{Com}, \text{Ch}'_1, \text{Rsp}'_1, \text{Ch}'_2, \text{Rsp}'_2), \\ T'' &= (\text{Com}, \text{Ch}''_1, \text{Rsp}''_1, \text{Ch}''_2, \text{Rsp}''_2), \\ T''' &= (\text{Com}, \text{Ch}'''_1, \text{Rsp}'''_1, \text{Ch}'''_2, \text{Rsp}'''_2), \end{aligned}$$

con

$$\begin{aligned} \text{Ch}_1 &= \text{Ch}''_1 \neq \text{Ch}'_1 = \text{Ch}'''_1, \\ \text{Ch}_2 &= \text{Ch}''_2 \neq \text{Ch}'_2 = \text{Ch}'''_2. \end{aligned}$$

Dunque, per quanto concerne gli schemi di identificazione  $q2$ , provare l'esistenza di un risolutore  $q2$  risulta identico a mostrare che il protocollo è nella forma  $(2,2)$ -out-of- $(q,2)$  special sound, il che implica soundness error pari a:

$$\varepsilon = 1 - \left(1 - \frac{1}{q}\right)\left(1 - \frac{1}{2}\right) = \frac{q+1}{2q}.$$

Sia, infine, noto come la scelta di un valore adatto per le  $t$  ripetizioni parallele è di fondamentale importanza e richiede di considerare a fondo il costo degli attacchi di falsificazione descritti in [?].

### 1.3 Teoria dei Codici

Un *codice lineare*  $C$  su un campo finito  $\mathbb{F}_q$ , con lunghezza  $n$  e dimensione  $k \leq n$ , è un sottospazio lineare  $k$ -dimensionale su  $\mathbb{F}_q^n$ . Una prima rappresentazione compatta del codice si basa su una *generator matrix*  $G \in \mathbb{F}_q^{k \times n}$ , tale che  $C = \{\mathbf{u}G \mid \mathbf{u} \in \mathbb{F}_q^k\}$ . Un codice di lunghezza  $n$  e dimensione  $k$  ha un *tasso*  $R = \frac{k}{n}$  e *ridondanza*  $r = n - k$ .

Allo stesso modo, è possibile rappresentare il codice attraverso una *parity-check-matrix*  $\mathbf{H} \in \mathbb{F}_q^{r \times n}$ , tale che  $C = \{\mathbf{c} \in \mathbb{F}_q^n \mid \mathbf{c}\mathbf{H}^\top = \mathbf{0}\}$ . La *sindrome* di qualche  $\mathbf{x} \in \mathbb{F}_q^n$  è un vettore di lunghezza  $r$ , ottenuto da  $\mathbf{s} = \mathbf{x}\mathbf{H}^\top$ .

Un insieme  $J \subseteq \{1, \dots, n\}$  di dimensione  $k$ , viene chiamato *information set* per  $C$  se  $|C_J| = q^k$ , dove  $C_J = \{\mathbf{c}_J \mid \mathbf{c} \in C\}$ . Intuitivamente,  $G_J$  e  $H_{JC}$  sono matrici invertibili. Inoltre, la *generator matrix* e la *parity-check matrix* sono rispettivamente in forma sistematica (rispetto all'*information set*  $J$ ) se  $G_J = I_k$  e  $H_{JC} = I_{n-k}$ . Allo spazio vettoriale  $\mathbb{F}_q^n$  si integrano, poi, le metriche di *Hamming*: dato  $\mathbf{x} \in \mathbb{F}_q^n$ , il suo *peso di Hamming*  $wt(\mathbf{x})$  è caratterizzato da tutte le sue componenti diverse da zero. La *distanza minima* di un codice lineare è data da  $d = \min\{wt(\mathbf{c}) \mid \mathbf{c} \in C, \mathbf{c} \neq \mathbf{0}\}$ . Facendo successivamente riferimento al limite di Gilbert-Varshamov, si ottiene che  $R \geq 1 - h_q\left(\frac{d}{n}\right)$ ; di conseguenza, un codice di sufficiente lunghezza (pari a  $n$ ) che rispetta tale condizione, permette di ricavare  $\delta = \frac{d}{n} = h_q^{-1(1-R)}$ .

Infine, è necessario evidenziare come la crittografia basata su codici lineari faccia spesso riferimento a problemi difficili [3, 4].

#### 1.3.1 Syndrome Decoding Problem (SDP)

Dati  $\mathbf{H} \in \mathbb{F}_q^{(n-k) \times n}$ ,  $t \in \mathbb{N}$  ed  $\mathbf{s} \in \mathbb{F}_q^{n-k}$ , verificare se esiste un  $\mathbf{e} \in \mathbb{F}_q^n$  tale che  $wt(\mathbf{e}) \leq t$  e  $\mathbf{e}\mathbf{H}^\top = \mathbf{s}$ .

Si assume che l'istanza di SDP sia scelta in maniera uniformemente casuale, così che il codice con parity-check matrix  $\mathbf{H}$  rispetti il limite di Gilbert-Varshamov. Se il peso desiderato  $t$  è minore della minima distanza  $\delta n$  del limite di GV, ci si aspetta di ottenere in media un'unica soluzione (se esistente), dato che (in media) il numero di soluzioni è dato da  $p^{n(h_q(\delta)-1+R)} \leq 1$ .

#### 1.3.2 Restricted Syndrome Decoding Problem (R-SDP)

Dato  $g \in \mathbb{F}_q^*$  di ordine  $z$ ,  $\mathbf{H} \in \mathbb{F}_q^{(n-k) \times n}$ ,  $\mathbf{s} \in \mathbb{F}_q^{n-k}$ , ed  $\mathbb{E} = \{g^i \mid i \in \{1, \dots, z\}\} \subset \mathbb{F}_q^*$ , verificare che esista  $\mathbf{e} \in \mathbb{E}^n$  tale che  $\mathbf{e}\mathbf{H}^\top = \mathbf{s}$ .

Il problema R-SDP è strettamente legato ad altri problemi difficili ben noti, tra cui lo stesso SDP; inoltre, se  $z = 1$ , R-SDP risulta simile al problema di Subset Sum (SSP) su campi finiti. Infine, si osserva come R-SDP risulti NP-completo per qualsivoglia scelta di  $\mathbb{E}$  [5].

### Caratteristiche di R-SDP: Unicità della soluzione

Le istanze di R-SDP sono scelte sempre in maniera uniformemente casuale. Allo stesso modo, sia la parity-check matrix  $\mathbf{H}$  sia il vettore di errore ristretto  $\mathbf{e}$  vengono generati attraverso un campionamento uniforme casuale, rispettivamente da  $\mathbb{F}_q^{(n-k) \times n}$  ed  $\mathbb{E}^n$ . Inoltre, il numero di soluzioni atteso in media risulta essere:

$$\frac{z^n}{q^{n-k}} = 2^{n(\log_2(z) - (1-R)\log_2(q))}.$$

Dove  $z$  e  $R$  sono tali che  $\log_2(z) \leq (1-R)\log_2(q)$ , dunque la soluzione attesa è, al massimo, unica.

### Caratteristiche di R-SDP: Vettori ristretti

Sia noto come  $(\mathbb{E}^n, \star)$  sia un gruppo commutativo, transitivo ed isomorfo a  $(\mathbb{F}_z^n, +)$ . L'isomorfismo è dato da:

$$\begin{aligned} \ell : \mathbb{E}^n &\rightarrow \mathbb{F}_z^n, \\ \mathbf{x} = (g^{\ell_1}, \dots, g^{\ell_n}) &\mapsto \ell(\mathbf{x}) = (\ell_1, \dots, \ell_n). \end{aligned}$$

Questa rappresentazione di vettori in  $\mathbb{E}^n$  come vettori in  $\mathbb{F}_z^n$  è fondamentale, al fine di ridurre la dimensione degli oggetti. Per quanto riguarda, invece, la direzione opposta dell'isomorfismo, la notazione usata è la seguente:

$$\mathbf{a} = g^{\ell(\mathbf{a})} = (g^{\ell(\mathbf{a})_1}, \dots, g^{\ell(\mathbf{a})_n}),$$

per qualche  $\ell(\mathbf{a}) = (\ell(\mathbf{a})_1, \dots, \ell(\mathbf{a})_n) \in \mathbb{F}_z^n$ .

Dato che ogni vettore ristretto  $\mathbf{a} \in \mathbb{E}^n$  può essere rappresentato, in modo compatto, come un vettore  $\ell(\mathbf{a}) \in \mathbb{F}_z^n$ , allora per rappresentare un vettore ristretto sono richiesti solamente  $n \log_2(z)$  bit.

### Caratteristiche di R-SDP: Trasformazioni ristrette

Una mappa lineare  $\psi : \mathbb{E}^n \rightarrow \mathbb{E}^n$ , che agisce transitivamente su  $\mathbb{E}^n$ , è data da una moltiplicazione componente per componente del tipo  $\psi(\mathbf{b}) = \mathbf{a} \star \mathbf{b}$ , per qualche  $\mathbf{a} \in \mathbb{E}^n$ . Infatti, per ogni  $\mathbf{a} = g^{\ell(\mathbf{a})}$  e ogni  $\mathbf{b} = g^{\ell(\mathbf{b})}$ , è sempre possibile trovare  $\mathbf{c} = g^{\ell(\mathbf{a}) - \ell(\mathbf{b})}$ , tale che  $\mathbf{a} = \mathbf{c} \star \mathbf{b}$ .

Si consideri la mappa  $\psi$  come la moltiplicazione componente per componente con  $\mathbf{a} \in \mathbb{E}^n$ . Successivamente, è possibile rappresentare in maniera compatta  $\psi$ , attraverso il vettore  $\ell(\mathbf{a}) \in \mathbb{F}_z^n$ . In aggiunta, il calcolo di  $\psi(\mathbf{b}) = \mathbf{a} \star \mathbf{b}$  è dato dall'addizione in  $\mathbb{F}_z^n$ , ossia  $\ell(\mathbf{a}) + \ell(\mathbf{b})$ . Così, per rappresentare le trasformazioni ristrette, si impiegano sempre  $n \log_2(z)$  bit.

### 1.3.3 Restricted Decoding Problem in a Subgroup $G$ (R-SDP( $G$ ))

Per ultimo, è possibile ragionare su R-SDP considerando il sottogruppo  $(G, \star) \leq (\mathbb{E}^n, \star)$  come:

$$G = \langle \mathbf{a}_1, \dots, \mathbf{a}_m \rangle = \left\{ \prod_{i=1}^m \mathbf{a}_i^{u_i} \mid u_i \in \{1, \dots, z\} \right\},$$

per qualche  $m < n$ . In questo modo è possibile aggiornare R-SDP alla versione R-SDP( $G$ ). Sia  $G = \langle \mathbf{a}_1, \dots, \mathbf{a}_m \rangle$ , con  $\mathbf{a}_i \in \mathbb{E}^n$ ,  $\mathbf{H} \in \mathbb{F}_q^{(n-k) \times n}$  ed  $\mathbf{s} \in \mathbb{F}_q^{n-k}$ . Esiste un vettore  $\mathbf{e} \in G$  tale che  $\mathbf{e}\mathbf{H}^\top = \mathbf{s}$ ?

RSDP( $G$ ) risulta essere un problema NP-hard, dato che R-SDP è di per se NP-hard. Dunque, se esistesse un risolutore del problema per ogni  $G$  (in tempo polinomiale), allora potrebbe risolverlo anche per  $G = \mathbb{E}^n$ .

#### Caratteristiche di R-SDP( $G$ ): Vettori ristretti nel sottogruppo

Per costruire elementi  $\mathbf{e} \in G$  è possibile salvare tutti gli esponenti dei generatori  $\mathbf{a}_i$  all'interno di una matrice. In questo modo, si definisce la matrice  $\mathbf{M}_G \in \mathbb{F}_z^{m \times n}$  come:

$$\mathbf{M}_G = \begin{pmatrix} \ell(\mathbf{a}_1)_1 & \dots & \ell(\mathbf{a}_1)_n \\ \cdot & \cdot & \cdot \\ \cdot & \cdot & \cdot \\ \cdot & \cdot & \cdot \\ \ell(\mathbf{a}_m)_1 & \dots & \ell(\mathbf{a}_m)_n \end{pmatrix} = \begin{pmatrix} \ell(\mathbf{a}_1) \\ \cdot \\ \cdot \\ \cdot \\ \ell(\mathbf{a}_m) \end{pmatrix}.$$

Per verificare se  $|G| = z^m$ , basta verificare che  $\text{rank}(\mathbf{M}_G) = m$ . Al fine di costruire un elemento  $\mathbf{e} \in G$ , possiamo poi scegliere un qualsiasi vettore  $\mathbf{u} \in \mathbb{F}_z^m$  e comporre  $\ell(\mathbf{e}) = \mathbf{u}\mathbf{M}_G \in \mathbb{F}_z^n$ , dato che  $\mathbf{e} = g^{\ell(\mathbf{e})}$ . Inoltre, si introduce l'omomorfismo di gruppo  $\ell_G$ :

$$\ell_G : G \rightarrow \mathbb{F}_z^m,$$

$$\mathbf{e} = \mathbf{a}_1^{u_1} \star \dots \star \mathbf{a}_m^{u_m} \mapsto \ell_G(\mathbf{e}) = (u_1, \dots, u_m).$$

Quindi, per campionare  $\mathbf{e} \in G$ , basta scegliere  $\ell_G(\mathbf{e}) \in \mathbb{F}_z^m$ . Per rappresentare vettori ristretti nel sottogruppo  $G$ , sono richiesti solo  $m \log_2(z)$  bit.

#### Caratteristiche di R-SDP( $G$ ): Trasformazioni ristrette in un sottogruppo

Le mappe lineari  $\psi : G \rightarrow G$ , che agiscono transitivamente su  $G$ , sono ancora date da moltiplicazioni componente per componente con un altro elemento in  $G$ , cioè per  $\mathbf{e} \in G$  si ha  $\psi(\mathbf{e}) = \mathbf{e}' \star \mathbf{e}$ . Dunque, è possibile rappresentare nuovamente la mappa con un vettore in  $\mathbb{F}_z^m$ . Per rappresentare le trasformazioni ristrette in un sottogruppo, sono richiesti ancora  $m \log_2(z)$  bit.

## CROSS: Codes and Restricted Objects Signature Scheme

*In questo capitolo viene intrapreso lo studio di CROSS, derivando lo schema di firma a partire da un protocollo di identificazione Zero Knowledge. Si porrà l'accento sulle proprietà e le caratteristiche, congiuntamente alla trasformazione di Fiat-Shamir che permette di ottenere la procedura ultimata.*

### 2.1 CROSS-ID

Lo schema di firma CROSS è basato sul protocollo di identificazione Zero Knowledge CROSS-ID, il quale si appoggia alla logica di identificazione CVE trattata in [6]. È possibile dimostrare come questo schema garantisca le proprietà fondamentali alla sicurezza descritte nel capitolo precedente. Allo stesso modo, l'impiego della trasformazione di Fiat-Shamir garantisce, per  $t$  esecuzioni parallele di CROSS-ID ( $q2$ ), l'ottenimento di uno schema di firma con Existential Unforgeability under Chosen Message Attack (EUF-CMA).

Successivamente, il focus si sposta sulle ottimizzazioni derivanti dal calcolo parallelo, con l'obiettivo di ridurre i costi di comunicazione e la dimensione della firma. Il protocollo sarà descritto nella versione basata sul problema R-SDP( $G$ ), che considera R-SDP con  $G = \mathbb{E}^n$ .

#### 2.1.1 Struttura del Protocollo

Il protocollo ZK alla base di CROSS è descritto in Fig.2.1. Ciò che differenzia questo schema dal CVE classico riguarda il prover, il quale campiona per primo un vettore di errore trasformato  $\mathbf{e}' \in G$  ed un vettore casuale  $\mathbf{u}' \in \mathbb{F}_q^n$ . Solo in seguito viene calcolata la trasformazione  $\sigma \in G$  tale che  $\mathbf{e} = \sigma(\mathbf{e}')$ . Sia noto che  $\sigma : G \mapsto G$  è una biiezione tale che  $\sigma$  è uniformemente casuale su  $G$ , questo garantisce che  $e'$  sia campionato in maniera casuale e uniforme da  $G$ . Inoltre, dato che  $\mathbf{u}'$  è uniformemente casuale su  $\mathbb{F}_q^n$ , il vettore di risposta  $\mathbf{y} = \mathbf{u}' + \beta\mathbf{e}'$  segue la distribuzione uniforme su  $\mathbb{F}_q^n$ . Nel dettaglio,  $\beta \in \mathbb{F}_q^*$  rappresenta il vettore della prima challenge. Un'altra differenza con lo schema CVE è la prima risposta, che in CROSS-ID risulta essere  $h = \text{Hash}(\mathbf{y})$ . Il vettore della seconda challenge è indicato con  $b$ , a valori binari. Quando  $b = 1$ , il prover deve comunicare il seed che ha utilizzato per campionare sia  $\mathbf{u}'$  sia  $\mathbf{e}'$ : ciò mostra come  $\mathbf{y}$  sia generato come la somma di un vettore mascherato ed di un vettore ristretto, moltiplicato da  $\beta$ . Questa strategia garantisce un risparmio in termini di

costi di comunicazione, in quanto inviare  $h$  richiede meno bit rispetto ad  $\mathbf{y}$ . Quando  $b = 0$ , il prover rivela  $\mathbf{y}$ , assieme a  $\sigma$  (che non essendo una trasformazione casuale, non può essere compressa usando i seed).

<p>Private Key <math>\mathbf{e} \in G</math>  Public Key <math>G \subseteq \mathbb{E}^n</math>, <math>\mathbf{H} \in \mathbb{F}_q^{(n-k) \times n}</math>, <math>\mathbf{s} = \mathbf{eH}^\top \in \mathbb{F}_q^{n-k}</math></p> <hr/> <p>PROVER</p> <p>Sample <math>\text{Seed} \xleftarrow{\\$} \{0; 1\}^\lambda</math>  Sample <math>(\text{Seed}^{(u')}, \text{Seed}^{(e')}) \xleftarrow{\text{Seed}} \{0; 1\}^{2\lambda}</math>  Sample <math>\mathbf{u}' \xleftarrow{\text{Seed}^{(u')}} \mathbb{F}_q^n</math>  Sample <math>\mathbf{e}' \xleftarrow{\text{Seed}^{(e')}} G</math>  Sample <math>\sigma \in G</math> such that <math>\sigma(\mathbf{e}') = \mathbf{e}</math>  Set <math>\mathbf{u} = \sigma(\mathbf{u}')</math>  Compute <math>\tilde{\mathbf{s}} = \mathbf{uH}^\top</math>  Set <math>c_0 = \text{Hash}(\tilde{\mathbf{s}}, \sigma)</math>  Set <math>c_1 = \text{Hash}(\mathbf{u}', \mathbf{e}')</math></p>	$\xrightarrow{(c_0, c_1)}$  $\xleftarrow{\beta}$  $\xrightarrow{h}$  $\xleftarrow{b}$  $\xrightarrow{f}$	<p>VERIFIER</p> <p>Sample <math>\beta \xleftarrow{\\$} \mathbb{F}_p^*</math></p> <p>Sample <math>b \xleftarrow{\\$} \{0; 1\}</math></p> <p>If <math>b = 0</math>:  Compute <math>\tilde{\mathbf{y}} = \sigma(\mathbf{y})</math> e <math>\tilde{\mathbf{s}} = \tilde{\mathbf{yH}}^\top - \beta\mathbf{s}</math>  Accept if:  1) <math>\text{Hash}(\mathbf{y}) = h</math>  2) <math>\text{Hash}(\tilde{\mathbf{s}}, \sigma) = c_0</math>  3) <math>\sigma \in G</math></p> <p>If <math>b = 1</math>:  Sample <math>\text{Seed}^{(u')}, \text{Seed}^{(e')} \xleftarrow{\text{Seed}} \{0; 1\}^{2\lambda}</math>  Set <math>\mathbf{y} = \mathbf{u}' + \beta\mathbf{e}'</math>  Accept if:  1) <math>\text{Hash}(\mathbf{y}) = h</math>  2) <math>\text{Hash}(\mathbf{u}', \mathbf{e}') = c_1</math></p>
--	--	---

Figura 2.1: Protocollo di identificazione Zero Knowledge CROSS-ID

Di seguito, sono approfondite le operazioni del protocollo che possono garantire migliore efficienza implementativa:

- Il gruppo  $G$  è rappresentato attraverso la base  $\mathbf{M}_G \in \mathbb{F}_z^{m \times n}$ . Quest'ultima può essere facilmente ottenuta attraverso  $\mathbf{M}_G = (\mathbf{I}_m, \mathbf{W})$ , con  $\mathbf{W} \in \mathbb{F}_z^{m \times (n-m)}$ . Per campionare in modo uniformemente casuale in  $G$ , è sufficiente seguire questi passaggi:
  1. campionare  $\mathbf{a} \stackrel{\$}{\leftarrow} \mathbb{F}_z^m$ ,
  2. ricavare l'esponente  $\mathbf{x} = \mathbf{a}\mathbf{M}_G \in \mathbb{F}_z^n$ ,
  3. ricavare il vettore ristretto/isometria come  $(g^{x_1}, \dots, g^{x_n}) \in F_q^n$ .

Si noti che  $\mathbf{a}$  è la rappresentazione  $\ell_G$  dell'oggetto ristretto che è stato campionato. Usando  $\mathbf{M}_G$  nella forma sistematica, si ottiene un vantaggio computazionale in quanto  $\mathbf{x} = (\mathbf{a}, \mathbf{a}\mathbf{W})$  ed inoltre, il calcolo di  $\mathbf{a}\mathbf{W}$  richiede solamente  $O(m(n-m))$  operazioni sul campo  $\mathbb{F}_z$ .

- La rappresentazione  $\ell_G$  di  $\sigma$  può essere calcolata facilmente come  $\ell_G(\sigma) = (a_1, \dots, a_m) = \ell_G(\mathbf{e}) - \ell_G(\mathbf{e}')$ . Il verifier dovrà solamente verificare che  $\ell_G(\sigma) \in \mathbb{F}_z^m$  e ricalcolerà localmente  $\sigma$  passando prima per i coefficienti  $\ell_G(\sigma)\mathbf{M}_G \in \mathbb{F}_z^n$ , per poi utilizzarli come esponenti per  $g$ .
- La matrice  $\mathbf{W}$ , similmente alla parity-check matrix  $\mathbf{H}$ , può essere campionata a partire da un seed univoco  $\text{Seed}_{pk} \in \{0; 1\}^\lambda$ , il quale è incluso all'interno della chiave pubblica. In questo modo, quest'ultima sarà composta dalla coppia  $\{\mathbf{s}, \text{Seed}_{pk}\}$  ed avrà dimensione pari a  $(n-k)\log_2(q) + \lambda$ . In questo caso, si utilizzerà un  $\text{Seed}_{pk}$  di  $\lambda$  bit.
- Se ci si riferisce al problema R-SDP, non c'è bisogno di usare  $G$ . Il seed  $\text{Seed}_{pk}$  viene utilizzato solo per campionare  $\mathbf{H}$ . Gli esponenti di  $\sigma$  possono essere ottenuti da  $\ell(\mathbf{e}) - \ell(\mathbf{e}')$ .

### 2.1.2 Proprietà di CROSS-ID

Sulla base di quanto introdotto precedentemente, c'è la necessità di dimostrare come il protocollo CROSS-ID garantisca le caratteristiche di: zero knowledge, completeness e  $(2,2)$ -out-of- $(p-1,2)$  special soundness. In questo modo sarà possibile affermare il raggiungimento della forma  $q2$ , con  $q = p-1$  e soundness error pari a  $\frac{p}{2(p-1)}$ .

#### Proposizione 1. (Completeness)

Il protocollo in Fig.2.1 è completo.

*Dimostrazione.* Bisogna dimostrare come un prover onesto venga sempre accettato. Quando  $b = 0$ , si avrà:

$$\tilde{\mathbf{y}} = \sigma(\mathbf{y}) = \sigma(\mathbf{u}') + \beta\sigma(\mathbf{e}') = \mathbf{u} + \beta\mathbf{e}.$$

Da ciò, si osserva che:

$$\tilde{\mathbf{y}}\mathbf{H}^\top - \beta\mathbf{s} = \mathbf{u}\mathbf{H}^\top + \beta\mathbf{e}\mathbf{H}^\top - \beta\mathbf{s} = \tilde{\mathbf{s}} + \beta\mathbf{s} - \beta\mathbf{s} = \mathbf{u}\mathbf{H}^\top.$$

Questo risultato corrisponde alla sindrome utilizzata per generare il commitment  $c_0$ , considerando  $\sigma \in G$ . Quando  $b = 1$ , il prover invia solamente i seed  $e$ , dato che i PRNG sono deterministici, il verifier otterrà sempre le stesse identiche quantità che sono state utilizzate per generare i commitment.

**Proposizione 2. (Zero Knowledge)**

Il protocollo in Fig.2.1 garantisce Zero-Knowledge.

*Dimostrazione.* Deve essere dimostrato che un simulatore  $S$ , il quale è a conoscenza delle challenge, riesca facilmente a simulare le interazioni tra il prover e il verifier. Formalmente, bisogna mostrare come  $S$  debba produrre un transcript  $T^*$  che sia indistinguibile da un transcript  $T$ , risultante dall'interazione  $\langle P, V \rangle$ . A partire da qui, è possibile definire due strategie per  $S$ , le quali dipenderanno unicamente dai valori di  $b$  (vettore della seconda challenge):

- *Strategia per  $b = 0$ .* Il simulatore  $S$  cerca, mediante calcoli di algebra lineare, un vettore  $\mathbf{e}^* \in \mathbb{F}_q^n$  con sindrome  $\mathbf{s}$  tale che  $\mathbf{e}^* \mathbf{H}^\top = \mathbf{s}$ . Poi,  $S$  sceglie un  $\sigma^* \in G$  ed un vettore  $\mathbf{u}^* \in \mathbb{F}_q^n$  per poi comporre  $\mathbf{u}^{*' } = \sigma^{*-1}(\mathbf{e}^*)$ . Infine, esso calcola  $\tilde{\mathbf{s}}^* = \mathbf{u}^* \mathbf{H}^\top$  e il commitment  $c_0 = \text{Hash}(\tilde{\mathbf{s}}^*, \sigma^*)$ . Poi,  $S$  otterrà il vettore di risposta  $\mathbf{y}^* = \mathbf{u}^{*' } + \beta \mathbf{e}^{*' }$ . Risulta, dunque, facile da verificare come il transcript prodotto da  $S$  risulti la medesima distribuzione statistica di un transcript prodotto da un prover onesto (considerando i valori di  $\mathbf{y}^* \mathbf{e}$  di  $\sigma^*$ ). Di certo, durante un'esecuzione onesta,  $\mathbf{y}$  risulta uniformemente casuale rispetto al campo  $\mathbb{F}_q$ , in quanto  $\mathbf{u}'$  è uniformemente casuale rispetto a  $\mathbb{F}_q^n$ . Ciò garantisce che  $\mathbf{u}' + \beta \mathbf{e}'$  è uniformemente casuale su  $\mathbb{F}_q^n$  e lo stesso ragionamento è applicabile alla trasformazione  $\sigma$ . Dunque, in un'esecuzione onesta del protocollo, risulta che  $\sigma$  è uniformemente distribuito su  $G$ . Si osserva cioè che, per ogni  $\mathbf{e}' \in G$ , esiste un unico  $\sigma \in G$  tale che  $\sigma(\mathbf{e}') = \mathbf{e}$ . Se  $\mathbf{e}'$  è uniformemente casuale su  $G$ , allora  $\sigma$  segue la medesima distribuzione. Il commitment, il quale non viene verificato, può essere scelto come una stringa binaria di lunghezza  $2\lambda$ . Sotto l'ipotesi di Random Oracle Model, si avrà la stessa distribuzione statistica di un commitment  $c_1$  calcolato onestamente.
- *Strategia per  $b = 1$ .* In questo caso, il simulatore deve semplicemente eseguire il protocollo campionando i seed e calcolando  $c_0$ , analogamente a quello che farebbe un prover onesto. Per quanto concerne l'altro commitment, è sufficiente utilizzare una stringa binaria casuale come nel caso precedente.

**Proposizione 3. (Soundness)**

Il protocollo in Fig.2.1 garantisce soundness, con errore  $\varepsilon = \frac{p}{2(p-1)}$ .

*Dimostrazione.* Si prende in considerazione un avversario  $A$  che prova ad imitare il prover. Il suo obiettivo è di replicare correttamente le risposte, in relazione alle challenge del verifier. Verranno mostrate due strategie di attacco che raggiungono una probabilità di successo pari a  $\varepsilon = \frac{p}{2(p-1)}$ . Successivamente si osserverà il motivo per il quale queste strategie risultano ad oggi ottimali, ossia che la probabilità di successo è massima e corrisponde all'errore di soundness. Per poter dimostrare queste affermazioni, bisognerà osservare che il protocollo garantisce la caratteristica (2,2)-out-of- $(p-1,2)$  special sound, per poi calcolare l'errore attraverso le formule definite in [7, 8].

*Strategia 0:* L'avversario  $A$  mira a rispondere correttamente sempre, per il caso  $b = 0$ , ma cerca comunque di indovinare i valori di  $\beta^*$  quando  $b = 1$ . Perciò, l'avversario decide in primis il valore per  $\beta^* \in \mathbb{F}_p^*$  e un seed **Seed**, il quale sarà utilizzato per campionare  $\mathbf{u}' \in \mathbb{F}_p^n$



ed  $\mathbf{e}' \in G$ . L'avversario, inoltre, sceglie un  $\sigma \in G$  casuale e compone  $\mathbf{y}^* = \mathbf{u}' + \beta^* \mathbf{e}'$ . Il commitment  $c_1$  si ottiene mediante  $c_1 = \text{Hash}(\mathbf{u}', \mathbf{e}')$ . Successivamente, l'avversario compone  $\tilde{\mathbf{s}} = \sigma(\mathbf{y}^*)\mathbf{H}^\top$  ed imposta  $c_0 = \text{Hash}(\tilde{\mathbf{s}} - \beta^* \mathbf{s}, \sigma)$ . Infine, l'avversario sceglie un vettore  $\tilde{\mathbf{e}} \in \mathbb{F}_p^n$  tale che  $\tilde{\mathbf{e}}\mathbf{H}^\top = \mathbf{s}$  e un vettore  $\tilde{\mathbf{u}} \in \mathbb{F}_p^n$  tale che  $\tilde{\mathbf{u}}\mathbf{H}^\top = \sigma(\mathbf{y}^*)\mathbf{H}^\top - \beta^* \mathbf{s}$ . L'avversario invia  $c_0$  e  $c_1$  al verifier e riceve  $\beta$ . Se  $\beta = \beta^*$ , l'avversario risponde con  $h = \text{Hash}(\mathbf{y}^*) = h$  con  $\sigma \in G$  e

$$c_0 = \text{Hash}(\sigma(\mathbf{y}^*)\mathbf{H}^\top - \beta^* \mathbf{s}, \sigma) = \text{Hash}(\tilde{\mathbf{s}} - \beta^* \mathbf{s}, \sigma).$$

Se  $b = 1$ , l'avversario risponde con un seed per comporre  $\mathbf{e}'$  e  $\mathbf{u}'$ . Inoltre, l'avversario viene accettato come  $h = \text{Hash}(\mathbf{u}' + \beta^* \mathbf{e}')$  e  $c_1 = \text{Hash}(\mathbf{u}', \mathbf{e}')$ . Se  $\beta \neq \beta^*$ , l'avversario invia un  $h$  diverso. Formalmente, l'avversario compone  $\mathbf{y} = \sigma^{-1}(\tilde{\mathbf{u}}) + \beta\sigma^{-1}(\tilde{\mathbf{e}})$  e invia  $h = \text{Hash}(\mathbf{y})$ . Se il verifier domanda  $b = 0$ , l'avversario invia la coppia  $(\mathbf{y}, \sigma)$  e viene accettato in quanto  $h = \text{Hash}(\mathbf{y})$ ,  $\sigma \in G$ , e

$$c_0 = \text{Hash}(\sigma(\mathbf{y})\mathbf{H}^\top - \beta \mathbf{s}, \sigma) = \text{Hash}(\tilde{\mathbf{u}}\mathbf{H}^\top, \sigma) = \text{Hash}(\sigma(\mathbf{y}^*)\mathbf{H}^\top - \beta^* \mathbf{s}, \sigma).$$

Se il verifier invia  $b = 1$ , l'avversario non ha modo di essere accettato. Di conseguenza, tale strategia ha una probabilità di successo pari a

$$\Pr[b = 0] + \Pr[(b = 1) \wedge (\beta = \beta^*)] = \frac{1}{2} + \frac{1}{2(p-1)} = \frac{p}{2(p-1)}.$$

*Strategia 1:* L'avversario spera di ricevere la challenge  $b = 1$  ma, nuovamente, si prepara a rispondere anche se ottiene  $b = 0$ , indovinando il valore di  $\beta$ . L'avversario inizialmente sceglie un valore  $\beta^* \in \mathbb{F}_p^*$ . L'avversario seleziona un seed dal quale vengono generati  $\mathbf{u}' \in \mathbb{F}_p^n$  e  $\mathbf{e}' \in G$ . L'avversario sceglie anche  $\sigma \in G$  e calcola  $\mathbf{u} = \sigma(\mathbf{u}')$ ,  $\tilde{\mathbf{e}} = \sigma(\mathbf{e}') \in G$ . L'avversario calcola  $\tilde{\mathbf{s}} = \mathbf{u}\mathbf{H}^\top + \beta^* \tilde{\mathbf{e}}\mathbf{H}^\top - \beta^* \mathbf{s}$ . L'avversario invierà i commitment  $c_0 = \text{Hash}(\tilde{\mathbf{s}}, \sigma)$  e  $c_1 = \text{Hash}(\mathbf{u}' + \mathbf{e}')$ . Quando l'avversario riceve  $\beta \in \mathbb{F}_p^*$ , calcola  $\mathbf{y} = \mathbf{u}' + \mathbf{e}'\beta$  ed invia l'Hash  $h$ .

Se l'avversario riceve  $b = 1$ , invia i seed per calcolare  $\mathbf{u}'$  e  $\mathbf{e}'$ , e sarà accettato sicuramente. Questo poichè il verifier usa i seed per ricostruire  $\mathbf{u}'$  e  $\mathbf{e}'$ , i quali servono per calcolare e controllare i valori di  $h = \text{Hash}(\mathbf{u}' + \beta \mathbf{e}')$  e  $c_1 = \text{Hash}(\mathbf{u}', \mathbf{e}')$ .

Comunque, se l'avversario riceve la challenge  $b = 0$ , allora invierà la coppia  $(\mathbf{y}, \sigma)$  e verrà accettato solamente se  $\beta = \beta^*$ , dato che

$$\sigma(\mathbf{y})\mathbf{H}^\top - \beta \mathbf{s} = \mathbf{u}\mathbf{H}^\top + \beta \tilde{\mathbf{e}}\mathbf{H}^\top - \beta \mathbf{s} = \tilde{\mathbf{s}}.$$

Così, nel caso in cui  $c_0 = \text{Hash}(\sigma(\mathbf{y})\mathbf{H}^\top) - \beta \mathbf{s}, \sigma$  e  $h = \text{Hash}(\mathbf{y})$ , con  $\sigma \in G$ . Quindi, questa strategia ha una probabilità di successo

$$\Pr[b = 1] + \Pr[(b = 0) \wedge (\beta = \beta^*)] = \frac{1}{2} + \frac{1}{2(p-1)} = \frac{p}{2(p-1)}.$$

## (2,2)-out-of-(p-1,2) special soundness

Si considerano quattro transcript  $T_1, T_2, T_3, T_4$ , tutti associati alle stesse coppie di commitments  $c_0, c_1$ . Il commitment  $c_0$  permette di fissare  $(\tilde{\mathbf{s}}, \sigma)$ , mentre il commitment  $c_1$  fissa la coppia  $(\mathbf{u}', \mathbf{e}')$ . Di seguito si identificano i transcript sulla base dei valori delle challenge, che sono caratterizzati come  $(\beta, 0)$ ,  $(\beta, 1)$ ,  $(\beta^*, 0)$  e  $(\beta^*, 1)$ . Prendendo a riferimento le risposte del prover, le strutture dei transcript sono le seguenti:

$$T_1 : (c_0, c_1, \beta, h, \mathbf{y}, \sigma);$$

$$T_2 : (c_0, c_1, \beta, h, \mathbf{Seed});$$

$$T_3 : (c_0, c_1, \beta^*, h^*, \mathbf{y}^*, \sigma^*);$$

$$T_4 : (c_0, c_1, \beta^*, h^*, \mathbf{Seed}^*).$$

Successivamente si mostra, sulla base della conoscenza di quattro transcript, una soluzione per un'istanza di R-SDP(G) con  $\{\mathbf{s}, \mathbf{H}\}$  che può essere facilmente calcolata in tempo polinomiale. Ci si concentra inizialmente su  $T_2$  e  $T_4$ . Siano  $\mathbf{u}'$ ,  $\mathbf{e}'$  i vettori generati a partire da  $\mathbf{Seed}$  e siano  $\mathbf{u}^*$ ,  $\mathbf{e}^*$  generati invece da  $\mathbf{Seed}^*$ . Dato che  $c_1$  viene verificato in entrambi i casi, bisogna porre attenzione verso le collisioni delle funzioni  $\text{Hash}(\mathbf{u}', \mathbf{e}') = \text{Hash}(\mathbf{u}^*, \mathbf{e}^*)$  con  $\mathbf{u}' \neq \mathbf{u}^*$  ed  $\mathbf{e}' \neq \mathbf{e}^*$ , oppure  $\mathbf{u}' = \mathbf{u}^*$  ed  $\mathbf{e}' = \mathbf{e}^*$ . Dato che  $h$  e  $h^*$  sono controllati e che non si rilevano collisioni nelle funzioni hash, si ottiene  $h = \text{Hash}(\mathbf{y})$ , con  $\mathbf{y} = \mathbf{u}' + \beta\mathbf{e}'$  ed  $h^* = \text{Hash}(\mathbf{y}^*)$ , con  $\mathbf{y}^* = \mathbf{u}^* + \beta^*\mathbf{e}^* = \mathbf{u}' + \beta^*\mathbf{e}'$ . Questo implica che  $\mathbf{y} - \mathbf{y}^* = \mathbf{e}'(\beta - \beta^*)$ .

Infine, ci si concentra sulla coppia di transcript  $T_1$  e  $T_3$ . Se non vengono rilevate collisioni, considerando  $\sigma = \sigma^*$ , si ottiene:

$$\sigma(\mathbf{y})\mathbf{H}^\top - \beta\mathbf{s} = \tilde{\mathbf{s}}, \quad \sigma(\mathbf{y}^*)\mathbf{H}^\top - \beta^*\mathbf{s} = \tilde{\mathbf{s}},$$

dal quale segue che

$$\sigma(\mathbf{y} - \mathbf{y}^*)\mathbf{H}^\top = (\beta - \beta^*)\mathbf{s}.$$

Analizzando le relazioni che derivano dalla coppia  $(T_2, T_4)$ , si calcola  $\mathbf{y} - \mathbf{y}^* = (\beta - \beta^*)\mathbf{e}'$ , dove  $\mathbf{e}'$  è un vettore ristretto tale che

$$(\beta - \beta^*)\sigma(\mathbf{e}')\mathbf{H}^\top = (\beta - \beta^*)\mathbf{s} \Rightarrow \sigma(\mathbf{e}')\mathbf{H}^\top = \mathbf{s}.$$

Dato che  $\sigma$  ed  $\mathbf{e}'$  sono stati verificati, in quanto  $\sigma, \mathbf{e}' \in G$ , allora  $\sigma(\mathbf{e}') \in G$ . Questo risultato permette di affermare che  $\sigma(\mathbf{e}')$  risolve il problema R-SDP(G) per l'istanza  $\{\mathbf{s}, \mathbf{H}\}$ .

### 2.1.3 Trasformazione di Fiat-Shamir

Dato che il protocollo in Fig.2.1 è classificato  $q2$ , come specificato nella documentazione [2], se vengono prese in considerazione  $t$  esecuzioni parallele dell'algoritmo applicando la trasformazione di Fiat-Shamir, ciò che si ricava è uno schema di firma che garantisce sicurezza EUF-CMA.

#### Teorema

CROSS, lo schema di firma risultante dall'applicazione della trasformata di Fiat-Shamir su  $t$  esecuzioni parallele del protocollo di identificazione Zero Knowledge  $q2$  CROSS-ID, garantisce sicurezza EUF-CMA.

### 2.1.4 Ottimizzazioni del Protocollo

Tutti i messaggi scambiati nell'  $i$ -esimo round saranno indicati con gli apici  $(i)$ . Per ottenere una notazione chiara e compatta, si raggruppano i messaggi scambiati nella seguente rappresentazione:

$$\begin{array}{rcccc}
 & \mathbf{Round\ 1} & \mathbf{Round\ 2} & \dots & \mathbf{Round\ t} \\
 \mathit{Commitment} = & c_0^{(1)} & c_1^{(1)} & c_0^{(2)} & c_1^{(2)} & \dots & c_0^{(t)} & c_1^{(t)} \\
 \mathit{First\ Challenge} = & \beta^{(1)} & & \beta^{(2)} & & \dots & \beta^{(t)} & \\
 \mathit{First\ Response} = & h^{(1)} & & h^{(2)} & & \dots & h^{(t)} & \\
 \mathit{Second\ Challenge} = & b^{(1)} & & b^{(2)} & & \dots & b^{(t)} & \\
 \mathit{Second\ Response} = & f^{(1)} & & f^{(2)} & & \dots & f^{(t)} & 
 \end{array}$$

Per quanto concerne invece un'ottica di sicurezza, al fine di prevenire attacchi basati sulle collisioni delle funzioni hash, vengono introdotti  $2\lambda$  bit di **Salt**, come suggerito nella documentazione [9]. Successivamente, ci si concentra sull'approfondimento delle configurazioni impiegate al fine di garantire migliorie allo schema, sia in termini di efficienza che di sicurezza.

#### Ottimizzazione: Peso Fisso nella Seconda Challenge

Considerando la seconda challenge, composta da  $(b^{(1)}, \dots, b^{(t)})$ , essa avrà sempre peso fissato pari a  $w$ . Tale valore rappresenta il numero di round nei quali il verifier richiede i valori associati a  $b = 1$ , mentre  $t - w$  sono i round nei quali  $b = 0$ .

Nel primo caso, il prover è tenuto ad inviare solamente un seed di lunghezza  $\lambda$  e non deve rivelare  $\mathbf{y}$  (dato che il verifier può ricalcolarlo autonomamente). Una scelta valida risulta essere basata su un valore di  $w$  vicino a quello di  $t$ . Dunque, l'obiettivo è garantire un minor costo di comunicazione possibile, per il maggior numero di round. Tale intervento, però, modifica il costo degli attacchi di falsificazione, in quanto un avversario può trarre vantaggio dalla predominanza dei round a valore  $b = 1$ .

#### Ottimizzazione: Impiego di Seed Tree

Per ogni esecuzione dell'algoritmo di firma, vengono generati  $t$  seed  $\mathbf{Seed}^{(1)}, \dots, \mathbf{Seed}^{(t)}$ , i quali saranno impiegati per campionare, ad ogni round,  $\mathbf{u}^{(i)}$  e  $\mathbf{e}^{(i)}$ . Tali seed sono ottenuti attraverso una struttura dati ad albero, composta a partire dalla radice  $\mathbf{MSeed} \parallel \mathbf{Salt}$ , con  $\mathbf{MSeed} \stackrel{\$}{\leftarrow} \{0; 1\}^\lambda$ . Questo elenco di seed  $\mathbf{Seed}^{(1)}, \dots, \mathbf{Seed}^{(t)}$  rappresenta le foglie dell'albero, in quanto ne caratterizza il livello più basso.

Sia noto che al prover è richiesto un seed in  $w$  round, mentre nei restanti  $t - w$  è obbligato a rivelare tutti i dati. In conclusione, il massimo numero di nodi da rivelare è pari a  $(t - w) \log_2(\frac{t}{t - w})$ . Dunque, inviare tutti i seed ha un costo di comunicazione pari a

$$|\mathbf{SeedPath}| = \lambda(t - w) \log_2\left(\frac{t}{t - w}\right).$$

### Ottimizzazione: Posticipare la Verifica della Prima Risposta

La verifica della prima challenge può essere rimandata alla fine dell'algoritmo di controllo.

Difatti, ad ogni round, il verifier entra in possesso di  $\mathbf{y}^{(i)}$  (sia che l'abbia ricevuto dal prover, sia che l'abbia ricalcolato localmente a partire dal  $\mathbf{Seed}^{(i)}$ ).

Invece di rispondere con  $(h^{(1)}, \dots, h^{(t)})$ , il prover convenientemente può inviare

$$h = \text{Hash}(\mathbf{y}^{(1)}, \mathbf{y}^{(2)}, \dots, \mathbf{y}^{(t)}).$$

Per generare la seconda challenge, il prover utilizza  $h$  (in quanto questo valore è incluso nella firma). Dopo aver eseguito tutti i round, il verifier può ricomporre localmente  $h$ . Se il ricalcolo del verifier coincide con il valore dato di  $h$ , allora è stata trovata una collisione nella funzione hash oppure i  $t$  vettori  $\mathbf{y}^{(1)}, \mathbf{y}^{(2)}, \dots, \mathbf{y}^{(t)}$  sono con certezza validi.

### Ottimizzazione: Riduzione della dimensione dei Commitment

In ogni round il verifier può sempre ricomporre localmente uno dei due commitment. Dato che il vettore della seconda challenge ha peso fisso  $w$  vicino a  $t$ , il verifier ricalcolerà la maggior parte dei commitment  $c_1^{(i)}$  e solamente pochi commitment  $c_0^{(i)}$ . Per quanto riguarda i commitment  $c_1^{(i)}$ , il prover può convenientemente associarsi ad un unico hash digest

$$c_1 = \text{Hash}(c_1^{(i)}, \dots, c_1^{(t)}).$$

Sia  $J \subseteq \{1, \dots, t\}$  il supporto di  $(b^{(1)}, \dots, b^{(t)})$  (ossia l'insieme di indici  $i$  tali per cui  $b^{(j)} = 1$ ): il verifier conoscerà tutti i  $c_1^{(i)}$  con  $i \in J$  e non conoscerà quelli per cui  $i \notin J$ . Per ognuno di questi ultimi indici, il prover dovrà includere  $c_1^{(i)}$  nella seconda risposta. In questo modo, il costo complessivo associato ai commitment  $c_1^{(i)}, \dots, c_1^{(t)}$  sarà

$$|\text{Com}(1)| = \underbrace{2\lambda}_{c_1} + \underbrace{2(t-w)\lambda}_{c_1^{(i)}, i \notin J} = 2\lambda(t-w-1).$$

Per i commitment  $c_0^{(i)}$ , il prover può realizzare un albero di Merkle  $T$ , usando  $c_0^{(1)}, \dots, c_0^{(t)}$  come foglie, con  $d_0$  come radice. Il verifier potrà ricomporre tutti i  $c_0^{(i)}$  con  $i \notin J$ ; inoltre, per certificare che il prover si è legato a valori corretti, il verifier richiederà una Merkle Proof per tutti i restanti  $c_0^{(i)}$ .

Sia noto che  $t-w$  round sono caratterizzati da una seconda challenge a valore zero. Di norma, inviare tutte le prove richiederebbe  $(t-w) \log_2(t)$  hash digest (essendoci  $\log_2(t)$  digest per ognuna delle  $t-w$  foglie per le quali è richiesta la prova). In maniera più conveniente, è possibile considerare come queste prove hanno dei path in comune: il numero di hash differenti che sono necessari non è maggiore di  $(t-w) \log_2(\frac{t}{t-w})$ .

Così facendo, il costo complessivo associato ai commitment  $c_0^{(1)}, \dots, c_0^{(t)}$  sarà limitato superiormente da

$$|\text{Com}(0)| = \underbrace{2\lambda}_{c_0} + \underbrace{2\lambda \log_2(\frac{t}{t-w})}_{\text{Proof di } c_0^{(i)}, i \notin J} = 2\lambda(1 + (t-w) \log_2(\frac{t}{t-w})).$$

## 2.2 Schema di firma CROSS

Dopo aver attentamente valutato tutte le ottimizzazioni precedentemente suggerite, lo schema di firma effettivo si articola nei seguenti passaggi (Fig. 2.2, 2.3).

### Signing:

1. campiona un  $\mathbf{Salt} \stackrel{\$}{\leftarrow} \{0;1\}^{2\lambda}$ ;
2. scampiona un  $\mathbf{MSeed} \stackrel{\$}{\leftarrow} \{0;1\}^\lambda$  e crea un albero di seed, il quale ha come  $t$  foglie gli elementi  $\mathbf{Seed}^{(1)}, \dots, \mathbf{Seed}^{(t)}$ . Il singolo  $\mathbf{Seed}^{(i)}$  è necessario per campionare  $\mathbf{u}^{(i)}$  e  $\mathbf{e}^{(i)}$ , impiegati di fatto nel round  $i$ ;
3. per i round  $i = 1, \dots, t$  calcola la trasformazione ristretta  $\sigma^{(i)}$  ed i commitment  $c_0^{(i)}$  e  $c_1^{(i)}$ , come definito in CROSS-ID. Inoltre, utilizza il  $\mathbf{Salt}$  e l'indice di round  $i$  all'interno delle funzioni hash per aggiungere sicurezza;
4. costruisce l'albero di Merkle  $T$  con i commitment  $c_0^{(1)}, \dots, c_0^{(t)}$ ;
5. genera il vettore della prima challenge  $(\beta^{(1)}, \dots, \beta^{(t)})$  utilizzando: il messaggio, il  $\mathbf{Salt}$  ed i commitment;
6. calcola  $(\mathbf{y}^{(1)}, \dots, \mathbf{y}^{(t)})$  come descritto in CROSS-ID, per poi generare  $h$  mediante hash;
7. genera il vettore della seconda challenge  $\mathbf{b} = (b^{(1)}, \dots, b^{(t)}) \in \{0;1\}^t$  a partire dall'hash di: messaggio,  $\mathbf{Salt}$ , commitment, risposte ed  $h$ . Tale vettore ha peso di Hamming fisso, pari a  $w$ . Inoltre, viene definito l'insieme  $J$  come supporto di  $b$ , caratterizzante gli indici  $i$  tali per cui  $b^{(i)} = 1$ ;
8. calcola  $\mathbf{SeedPath}$  come l'insieme dei nodi intermedi dell'albero di seed, i quali sono necessari a ricomporre i  $\mathbf{Seed}^{(i)}$ , per  $i \in J$ ;
9. configura  $\mathbf{MerkleProof}$  come una struttura contenente le prove per le foglie  $\{c_0^{(i)}\}_{i \notin J}$ , al fine di ricalcolare la radice dell'albero di Merkle;
10. la firma ottenuta sarà

$$\mathbf{Signature} = \{\mathbf{Salt}, c_0, c_1, h, \mathbf{SeedPath}, \mathbf{MerkleProof}(T_0), \{\mathbf{y}^{(i)}, \sigma^{(i)}, c_1^{(i)}\}_{i \notin J}\}.$$

<p>Private Key <math>\mathbf{e} \in G</math></p> <p>Public Key <math>G \subseteq \mathbb{E}^n</math>, <math>\mathbf{H} \in \mathbb{F}_q^{(n-k) \times n}</math>, <math>\mathbf{s} = \mathbf{e}\mathbf{H}^\top \in \mathbb{F}_q^{n-k}</math></p> <p>Input Message <math>\text{Msg}</math></p> <p>Output Signature <b>Signature</b></p> <hr/> <p><b>SIGNER</b></p> <p>Sample <math>\text{MSeed} \xleftarrow{\\$} \{0;1\}^\lambda</math>, <math>\text{Salt} \xleftarrow{\\$} \{0;1\}^{2\lambda}</math></p> <p>Generate <math>(\text{Seed}^{(1)}, \dots, \text{Seed}^{(t)}) = \text{SeedTree}(\text{MSeed}, \text{Salt})</math></p> <p><b>For</b> <math>i = 1, \dots, t</math>:</p> <p style="padding-left: 2em;">Sample <math>(\text{Seed}^{(u')}, \text{Seed}^{(e')}) \xleftarrow{\text{Seed}^{(i)}} \{0;1\}^{2\lambda}</math></p> <p style="padding-left: 2em;">Sample <math>\mathbf{u}'^{(i)} \xleftarrow{\text{Seed}^{(u')}} \mathbb{F}_q^n</math>, <math>\mathbf{e}'^{(i)} \xleftarrow{\text{Seed}^{(e')}} G</math></p> <p style="padding-left: 2em;">Compute <math>\sigma^{(i)} \in G</math> such that <math>\sigma^{(i)}(\mathbf{e}'^{(i)}) = \mathbf{e}</math></p> <p style="padding-left: 2em;">Set <math>\mathbf{u}^{(i)} = \sigma^{(i)}(\mathbf{u}'^{(i)})</math></p> <p style="padding-left: 2em;">Compute <math>\tilde{\mathbf{s}}^{(i)} = \mathbf{u}^{(i)}\mathbf{H}^\top</math></p> <p style="padding-left: 2em;">Set <math>c_0^{(i)} = \text{Hash}(\tilde{\mathbf{s}}^{(i)}, \sigma^{(i)}, \text{Salt}, i)</math></p> <p style="padding-left: 2em;">Set <math>c_1^{(i)} = \text{Hash}(\mathbf{u}'^{(i)}, \mathbf{e}'^{(i)}, \text{Salt}, i)</math></p> <p>Set <math>T = \text{MerkleTree}(\text{MerkleTree}(c_0^{(1)}, \dots, c_0^{(t)}))</math></p> <p>Compute <math>c_o = T.\text{Root}()</math></p> <p>Compute <math>c_1 = \text{Hash}(c_1^{(1)}, \dots, c_1^{(t)})</math></p> <p>Generate <math>(\beta^{(1)}, \dots, \beta^{(t)}) = \text{GenCh}_1(c_o, c_1, \text{Msg}, \text{Salt})</math></p> <p><b>For</b> <math>i = 1, \dots, t</math>:</p> <p style="padding-left: 2em;">Compute <math>\mathbf{y}^{(i)} = \mathbf{u}'^{(i)} + \beta^{(i)}\mathbf{e}'^{(i)}</math></p> <p style="padding-left: 2em;">Compute <math>h^{(i)} = \text{Hash}(\mathbf{y}^{(i)})</math></p> <p>Compute <math>h = \text{Hash}(h^{(1)}, \dots, h^{(t)})</math></p> <p>Generate <math>(b^{(1)}, \dots, b^{(t)}) = \text{GenCh}_2(c_o, c_1, \beta^{(1)}, \dots, \beta^{(t)}, h, \text{Msg}, \text{Salt})</math></p> <p>Set <math>J = \{i   b^{(i)} = 1\}</math></p> <p>Set <math>\text{SeedPath} = \text{SeedPath}(\text{MSeed}, \text{Salt}, J)</math></p> <p><b>For</b> <math>i \notin J</math>:</p> <p style="padding-left: 2em;">Set <math>f^{(i)} := (\mathbf{y}^{(i)}, \sigma^{(i)}, c_1^{(i)})</math></p> <p>Compute <math>\text{MerkleProofs} = T.\text{Proofs}(\{1, \dots, t\} \setminus J)</math></p> <p>Set <math>\text{Signature} = \{\text{Salt}, c_o, c_1, h, \text{SeedPath}, \text{MerkleProofs}, \{f^{(i)}\}_{i \notin J}\}</math></p>	<p><b>VERIFIER</b></p> <hr/> <p style="text-align: right;"><u>Signature</u> <math>\rightarrow</math></p>
---	--

Figura 2.2: Lo schema di firma CROSS: generazione della firma

**Verification:**

1. genera il vettore della prima challenge  $(\beta^{(1)}, \dots, \beta^{(t)})$  a partire da  $\text{Msg}$ ,  $\text{Salt}$ ,  $c_0$  e  $c_1$ ;
2. genera il vettore della seconda challenge  $(b^{(1)}, \dots, b^{(t)})$  a partire da  $\text{Msg}$ ,  $\text{Salt}$ ,  $c_0$ ,  $c_1$ ,  $\beta^{(1)}, \dots, \beta^{(t)}$  e  $h$ ;
3. usando  $\text{SeedPath}$ , genera i seed  $\{\text{Seed}^{(i)}\}_{i \in J}$ ;
4. per  $i \in J$ , ricalcola  $c_1^{(i)}$ ,  $\mathbf{y}^{(i)}$  e  $h^{(i)}$ ;

5. per  $i \notin J$ , calcola  $h^{(i)} = \text{Hash}(\mathbf{y}^{(i)})$  e  $c_1^{(i)}$ ;
6. utilizza la **MerkleProof**, assieme ai  $\{c_0^{(i)}\}_{i \notin J}$ , per ricalcolare e verificare la radice  $c_0$ ;
7. verifica  $c_1 = \text{Hash}(c_1^{(1)}, \dots, c_1^{(t)})$ ;
8. verifica  $h = \text{Hash}(h^{(1)}, \dots, h^{(t)})$ .

Inoltre, le funzioni specifiche per la realizzazione delle strutture dati complesse, le quali per ora sono implicite, saranno esplicitate nella sezione successiva.

Private Key $\mathbf{e} \in G$ Public Key $G \subseteq \mathbb{E}^n$ , $\mathbf{H} \in \mathbb{F}_q^{(n-k) \times n}$ , $\mathbf{s} = \mathbf{e}\mathbf{H}^\top \in \mathbb{F}_q^{n-k}$ Input <i>Message</i> $\text{Msg}$ Output <i>Signature</i> <b>Signature</b>	<div style="display: flex; justify-content: space-between; border-bottom: 1px solid black; margin-bottom: 5px;"> <span>PROVER</span> <span>VERIFIER</span> </div> <div style="margin-bottom: 10px;"> <math>\xrightarrow{\text{Signature}}</math> </div> <p>           Generate <math>(\beta^{(1)}, \dots, \beta^{(t)}) = \text{GenCh}_1(c_0, c_1, \text{Msg}, \text{Salt})</math>            Generate <math>(b^{(1)}, \dots, b^{(t)}) = \text{GenCh}_2(c_0, c_1, \beta^{(1)}, \beta^{(t)}, h, \text{Msg}, \text{Salt})</math>            Set <math>J = \{i   b^{(i)} = 1\}</math>            Generate <math>\{\text{Seed}_{i \in J}^{(i)} = \text{GetSeeds}(\text{SeedPath}, \text{Salt})\}</math> </p> <p><b>For</b> <math>i \in J</math> :</p> <p>           Compute <math>(\text{Seed}^{(\mathbf{u}')} , \text{Seed}^{(\mathbf{e}')} ) \xleftarrow{\text{Seed}^{(i)}} \{0; 1\}^{2\lambda}</math>            Sample <math>\mathbf{u}'^{(i)} \xleftarrow{\text{Seed}^{(\mathbf{u}')}} \mathbb{F}_q^n</math>, <math>\mathbf{e}'^{(i)} \xleftarrow{\text{Seed}^{(\mathbf{e}')}} G</math>            Set <math>c_1^{(i)} = \text{Hash}(\mathbf{u}'^{(i)}, \mathbf{e}'^{(i)}, \text{Salt}, i)</math>            Compute <math>\mathbf{y}^{(i)} = \mathbf{u}'^{(i)} + \beta^{(i)} \mathbf{e}'^{(i)}</math>            Compute <math>h^{(i)} = \text{Hash}(\mathbf{y}^{(i)})</math> </p> <p><b>For</b> <math>i \notin J</math> :</p> <p>           Set <math>h^{(i)} = \text{Hash}(\mathbf{y}^{(i)})</math>            Compute <math>\tilde{\mathbf{s}}^{(i)} = \sigma^{(i)}(\mathbf{y}^{(i)})\mathbf{H}^\top - \beta^{(i)} \mathbf{s}</math>            Set <math>c_1^{(i)} = \text{Hash}(h^{(1)}, \dots, h^{(t)})</math> </p> <p>           Verify <math>h = \text{Hash}(h^{(1)}, \dots, h^{(t)})</math>            Verify <math>c_0 = \text{VerifyMerkleRoot}(\{c_0^{(i)}\}_{i \notin J}, \text{MerkleProof})</math>            Verify <math>c_1 = \text{Hash}(c_1^{(1)}, \dots, c_1^{(t)})</math> </p>
---	---

Figura 2.3: Lo schema di firma CROSS: verifica della firma

### 2.2.1 Dimensioni notevoli

Lo schema appena descritto è caratterizzato da una chiave pubblica  $\text{pk}$  a dimensione

$$|\text{pk}| = \underbrace{(n - k) \lceil \log_2(q) \rceil}_{\mathbf{s}} + \underbrace{\lambda}_{\text{Seed}_{\text{pk}}}.$$

Allo stesso modo, la dimensione della firma è

$$\begin{aligned}
|\text{Signature}| = & \underbrace{8\lambda}_{h, c_0, c_1, \text{Salt}} + \underbrace{\lambda(t-w) \log_2 \left( \frac{t}{t-w} \right)}_{\text{SeedPath}} + \underbrace{2\lambda \left( 1 + (t-w) \log_2 \left( \frac{t}{t-w} \right) \right)}_{\text{MerkleProof}} + \\
& + (t-w) \left( \underbrace{2\lambda}_{c_1^{(i)}} + \underbrace{n \lceil \log_2(q) \rceil}_{\mathbf{y}^{(i)}} + \underbrace{m \lceil \log_2(z) \rceil}_{\sigma^{(i)}} \right). \\
& \underbrace{\hspace{15em}}_{f^{(i)}, i \notin J}
\end{aligned}$$

## 2.2.2 Descrizione procedurale

Di seguito viene mostrata una descrizione delle primitive che contraddistinguono lo schema di firma CROSS: **Keygen**, **Sign** e **Verify**. **Keygen** corrisponde all'insieme di operazioni necessarie a generare la coppia di chiavi per lo schema; le restanti due, invece, caratterizzano l'effettivo funzionamento di CROSS, in generazione e verifica della firma. Queste primitive presentano comandi ed operazioni differenti, a seconda del problema di riferimento (in  $\mathbb{E}^n$  per CROSS R-SDP ed in  $G$  sottogruppo di  $\mathbb{E}^n$  per CROSS R-SDP( $G$ )).

La rappresentazione algoritmica segue la convenzione per cui le parti di colore nero sono condivise tra le due varianti, invece quelle in **azzurro** sono riferite a CROSS R-SDP, mentre quelle in **arancione** sono uniche per CROSS R-SDP( $G$ ).

Inoltre, per garantire efficienza nella computazione si rappresenteranno, quando possibile, elementi di  $\mathbb{E}^n$  come vettori di lunghezza  $n$  sul campo finito  $\mathbb{F}_z$  e saranno identificabili attraverso le lettere greche minuscole come  $\eta$ . Tale scelta serve ad evitare ambiguità di natura lessicale. La stessa rappresentazione può essere impiegata per le trasformazioni ristrette sugli elementi di  $\mathbb{E}^n$ , come  $\sigma$ , per i quali si adotterà la medesima notazione; ciò è dato dal fatto che lavorare con  $\sigma$  permette di ottenere  $\mathbf{e} \in \mathbb{E}^n$  ma, allo stesso tempo, corrisponde ad effettuare una moltiplicazione componente per componente su  $\mathbb{F}_z$ . Perciò, si userà  $\sigma$  per denotare l'elemento  $\ell_G(\sigma)$ .

Nel caso R-SDP( $G$ ), i vettori di lunghezza  $m$  nel campo dei valori  $\mathbb{F}_z$  saranno rappresentati con le lettere greche minuscole, come  $\ell_G(\mathbf{e}^{(i)}) = \zeta$ .

Per evitare ambiguità relative ai round, è possibile passare dagli apici ai pedici, nella forma ( $\text{Seed}^{(i)} \mapsto \text{Seed}[i]$ ). Saranno anche descritte tutte le variabili temporanee che sono state impiegate.

Inoltre, le stringhe di bit saranno caratterizzate dal font **monospace**, mentre le strutture dati e gli array seguiranno un font **sans serif**. Infine, per indicare un elemento di un vettore, si utilizzeranno le parentesi quadre  $v[i]$ . La tabella 2.1 riassume le assunzioni fatte in materia di notazione tra protocollo e pseudocodice.



Tabella 2.1: Tabella degli elementi da protocollo a pseudocodice

Protocollo	Pseudocodice	Semantica
$\ell_G(\mathbf{e})$	$\zeta$	vettore in $\mathbb{F}_z^m$ per $\mathbf{e}$
$\ell(\mathbf{e})$	$\eta$	$\zeta \mathbf{M}_G = \ell_G(\mathbf{e}) \mathbf{M}_G \in \mathbb{F}_z^n$ per $\mathbf{e}$
$\ell_G(\sigma^{(i)})$	$\delta_i$	vettore in $\mathbb{F}_z^m$ for $\sigma^{(i)}$
$\ell(\mathbf{e}^{(i)})$	$\tilde{\eta}_i$	vettore in $\mathbb{F}_z^n$ per $\mathbf{e}^{(i)}$
$\ell(\sigma^{(i)})$	$\sigma_i$	vettore in $\mathbb{F}_z^n$ per $\sigma^{(i)}$
$\sigma^{(i)}$	$\mathbf{v}$	trasf. su $\mathbb{E}^n$ , risp. $G$
$\mathbf{u}^{(i)}$	$\mathbf{u}$	trasf. $\mathbf{u}^{(i)}$
$\tilde{\mathbf{s}}^{(i)}$	$\tilde{\mathbf{s}}$	sindrome di $\mathbf{u}^{(i)}$
$c_0^{(i)}$	$\text{cmt}_0[i]$	Commitment 0, round $i$
$c_1^{(i)}$	$\text{cmt}_1[i]$	Commitment 1, round $i$
$c_0 = \mathcal{T}.\text{root}()$	$d_0$	radice del Merkle tree $\mathcal{T}$ del commitment 0
$c_1$	$d_1$	Hash del commitment 1
	$d_{01}$	Hash del $d_0, d_1$
	$d_m$	Hash del messaggio
	$d_\beta$	Hash di $d_m, d_{01}, \text{Salt}$
$(\beta^{(1)}, \dots, \beta^{(t)})$	$\text{beta}$	Prima challenge
$\mathbf{e}^{(i)}$	$\tilde{\mathbf{e}}$	trasf. $\mathbf{e}$
$\mathbf{y}^{(i)}$	$\mathbf{y}_i$	Risposta alla prima challenge
$h$	$d_b$	Hash di $y^{(1)}, \dots, y^{(t)}$
$b^{(1)}, \dots, b^{(t)}$	$\mathbf{b}$	Seconda challenge
$f^{(i)}$	$\text{rsp}_0, \text{rsp}_1$	Risposta in round $i$

### Generazione delle Chiavi

La primitiva `KeyGen` ha il compito di generare in maniera uniformemente casuale una chiave segreta, basata su logica TRNG, ed una chiave pubblica, la quale è caratterizzata da un vettore ristretto  $\mathbf{e}$  appartenente ad un sottogruppo ristretto  $G \subseteq \mathbb{E}^n$  ed una parity-check matrix  $\mathbf{H}$ , per ottenere una sindrome  $\mathbf{s} = \mathbf{e}\mathbf{H}^\top$ . Nella versione CROSS-R-SDP(G), è presente una matrice aggiuntiva  $\mathbf{M}_G \in \mathbb{F}_z^{m \times n}$ , contenente le informazioni sul sottogruppo  $G$ , necessarie alla generazione di  $\mathbf{e}$ . Seguendo questa procedura si riducono i dati immagazzinati, passando da una chiave privata ed una pubblica ad un seed  $\text{Seed}_{sk}$  e un seed  $\text{Seed}_{pk}$  più la sindrome  $\mathbf{s}$ .

L'algoritmo di `KeyGen` inizia pescando un seed di  $\lambda$  bit attraverso un TRNG; questo dato risulterà essere  $\text{Seed}_{sk}$ , ossia la chiave segreta. Impiegando questo seed all'interno di un CSPRNG, otteniamo un'espansione deterministica da  $\lambda$  a  $2\lambda$  bit, dai quali origineranno gli elementi della chiave pubblica:  $\text{Seed}_e$  e  $\text{Seed}_{pk}$ .  $\text{Seed}_{pk}$  viene impiegato per generare, attraverso un'altra espansione CSPRNG, la matrice  $\mathbf{H}$  (nel caso R-SDP(G) per calcolare la matrice  $\mathbf{M}_G$ ). Per evitare il sovraccarico computazionale sui CSPRNG, si generano solamente le componenti non sistematiche di  $\mathbf{H}$  o  $\mathbf{M}_G$ . Successivamente, l'algoritmo calcola il vettore di errore ristretto  $\mathbf{e}$  nel sottogruppo  $G$ , attraverso un'espansione CSPRNG con input  $\text{Seed}_e$ . Per la versione CROSS-R-SDP, si segue un'espansione basata sulla relazione  $\eta = \ell(\mathbf{e})$ , a partire da  $\text{Seed}_e$ . Per CROSS-R-SDP(G), basta campionare un vettore casuale  $\zeta = \ell(\mathbf{e}) \in \mathbb{F}_z^m$  e comporre  $\eta = \ell(\mathbf{e}) = \ell_G(\mathbf{e}) \mathbf{M}_G \in \mathbb{F}_z^n$ . Di seguito, il vettore d'errore ristretto

---

**Algorithm 1: KEYGEN()**

---

**Data:**  $\lambda$ : security parameter,  
 $g \in \mathbb{F}_p^*$ : generator of a subgroup  $\mathbb{E}$  of  $\mathbb{F}_p^*$  with cardinality  $z$   
 $\mathbb{E}^n$ : restricted subgroup  
 $\mathbf{M}_G$ :  $m \times n$  matrix of  $\mathbb{F}_z$  elements, employed to generate vectors  $\boldsymbol{\eta} \in G \subset \mathbb{E}^n$

**Input:** None

**Output:** **pri** :  $\text{Seed}_{sk}$ : private key seed;  
**pub** : ( $\text{Seed}_{pk}, s$ ) public key:  $\text{Seed}_{pk}$  is a  $\lambda$  bit seed, to derive the non-systematic portion of a random parity-check matrix  $\mathbf{H}$  and the  $m \times n$  matrix of  $\mathbb{F}_z$  elements  $\mathbf{M}_G$ ;  
 $s \in \mathbb{F}_p^{n-k}$  is the syndrome of  $\mathbf{e}$  through  $\mathbf{H}$

```

1  $\text{Seed}_{sk} \xleftarrow{\$} \{0, 1\}^\lambda$ 
2 ( $\text{Seede}, \text{Seed}_{pk}$ )  $\leftarrow$  CSRNG ( $\text{Seed}_{sk}, \{0, 1\}^\lambda \times \{0, 1\}^\lambda$ )
   ( $\text{SeedV}, \text{SeedW}$ )  $\leftarrow$  CSRNG ( $\text{Seed}_{pk}, \{0, 1\}^\lambda \times \{0, 1\}^\lambda$ )
3  $\mathbf{V} \leftarrow$  CSRNG ( $\text{SeedV}, \mathbb{F}_p^{(n-k) \times k}$ )            $\mathbf{V} \leftarrow$  CSRNG ( $\text{Seed}_{pk}, \mathbb{F}_p^{(n-k) \times k}$ )
    $\mathbf{W} \leftarrow$  CSRNG ( $\text{SeedW}, \mathbb{F}_z^{m \times (n-m)}$ )
4  $\mathbf{H} \leftarrow [\mathbf{I}_{n-k} \mid \mathbf{V}]$ 
    $\mathbf{M}_G \leftarrow [\mathbf{I}_m \mid \mathbf{W}]$ 
    $\boldsymbol{\zeta} \leftarrow$  CSRNG ( $\text{Seede}, \mathbb{F}_z^m$ )
    $\boldsymbol{\eta} \leftarrow \boldsymbol{\zeta} \mathbf{M}_G$ 
    $\boldsymbol{\eta} \leftarrow$  CSRNG ( $\text{Seede}, \mathbb{F}_z^n$ )
5
6 for  $j \leftarrow 0$  to  $n-1$  do
7    $e[j] \leftarrow g^{\boldsymbol{\eta}[j]}$ 
8 end
9  $s \leftarrow \mathbf{e} \mathbf{H}^\top$ 
10 pri  $\leftarrow$   $\text{Seed}_{sk}$ 
11 pub  $\leftarrow$  ( $\text{Seed}_{pk}, s$ )
12 return (pri, pub);
```

---

Figura 2.4: Primitiva KeyGen di CROSS

e nel sottogruppo  $G$  si ottiene attraverso

$$\mathbf{e} = (g^{\boldsymbol{\eta}[0]}, \dots, g^{\boldsymbol{\eta}[n-1]}) = (g^{\ell(\mathbf{e})_1}, \dots, g^{\ell(\mathbf{e})_n}) \in G.$$

Infine, una volta ottenuto il valore di  $\mathbf{e}$ , si calcola la sindrome  $\mathbf{s}$  attraverso  $\mathbf{e} \mathbf{H}^\top$ . La chiave pubblica è quindi costituita da seed  $\text{Seed}_{pk}$ , richiesto per calcolare le parti non sistematiche  $\mathbf{V}$  e  $\mathbf{W}$ , e dalla sindrome  $\mathbf{s}$ . La chiave privata consiste solamente nel seed segreto  $\text{Seed}_{sk}$ , dal quale è possibile derivare tutti gli altri elementi.

### Generazione della Firma

L'algoritmo di firma realizza le operazioni descritte in Fig.2.5, ricevendo in input la chiave privata **pri** ed il messaggio da firmare **Msg**, come stringhe di bit.

Il primo passo nella procedura è di espandere, partendo da  $\text{Seed}_{sk}$ , sia il vettore di errore ristretto  $\mathbf{e}$ , sia la parity-check-matrix  $\mathbf{H}$ ; mentre, nel caso R-SDP( $G$ ), solamente la matrice  $\mathbf{M}_G$  che descrive  $G$ . Queste operazioni sono le medesime della primitiva di KeyGen. Una volta che le componenti relative alle chiavi sono state ottenute, l'algoritmo pesca da un TRNG un **MSeed** di  $\lambda$  bit e un **Salt** di  $2\lambda$  bit. Questi elementi ricoprono un ruolo cruciale nella procedura di **SeedTreeLeaves**, che compone una sequenza di  $t$  seed ( $\text{Seed}[0], \dots, \text{Seed}[t-1]$ ) (linea 4). Al suo interno la funzione costruisce un albero binario di nodi, ognuno dei quali composto

**Algorithm 2:** SIGN(pri,Msg)

---

**Data:**  $\lambda$ : security parameter,  
 $g \in \mathbb{F}_p^*$ : generator of a subgroup  $\mathbb{E}$  of  $\mathbb{F}_p^*$  with cardinality  $z$   
 $\mathbb{E}^n$ : restricted subgroup  
 $M_G$ :  $m \times n$  matrix of  $\mathbb{Z}_z$  elements, employed to generate vectors  $\eta \in G \subset \mathbb{E}^n$   
 $t$ : number of iterations of the ZKID protocol  
 $\mathcal{B}_w^t$ : set of all binary strings with length  $w$  and Hamming weight  $t$

**Input:** pri: private key constituted of  $\text{Seed}_{sk} \in \{0,1\}^\lambda$   
Msg: message to be signed  $\text{Msg} \in \{0,1\}^*$

**Output:** Signature Signature

1 **Begin**

// Key material expansion

2  $\zeta, H, M_G \leftarrow \text{EXPANDPRIVATESEED}(\text{Seed}_{sk})$  ;  $\eta, H \leftarrow \text{EXPANDPRIVATESEED}(\text{Seed}_{sk})$

// Computation of commitments

3  $\text{Mseed} \xleftarrow{\$} \{0,1\}^\lambda$ ,  $\text{Salt} \xleftarrow{\$} \{0,1\}^{2\lambda}$

4  $(\text{Seed}[0], \dots, \text{Seed}[t-1]) \leftarrow \text{SEEDTREELEAVES}(\text{Mseed}, \text{Salt})$

5 **for**  $i \leftarrow 0$  **to**  $t-1$  **do**

6  $(\text{Seed}_{u'}, \text{Seed}_{e'}) \leftarrow \text{CSPRNG}(\text{Seed}[i], \{0,1\}^\lambda \times \{0,1\}^\lambda)$

$\zeta' \leftarrow \text{CSPRNG}(\text{Seed}_{e'}, \mathbb{F}_z^m)$

7  $\delta_i \leftarrow \zeta - \zeta'$  ;  $\eta'_i \leftarrow \text{CSPRNG}(\text{Seed}_{e'}, \mathbb{F}_z^n)$

$\eta'_i \leftarrow \zeta' M_G$

8  $\sigma_i \leftarrow \eta - \eta'_i$

9 **for**  $j \leftarrow 0$  **to**  $n-1$  **do**

10  $v[j] \leftarrow g^{\sigma_i[j]}$

11 **end**

12  $u'_i \leftarrow \text{CSPRNG}(\text{Seed}_{u'}, \mathbb{F}_p^n)$

13  $u \leftarrow v * u'_i$  // \* is component-wise product

14  $\tilde{s} \leftarrow uH^T$

15  $\text{cmt}_0[i] \leftarrow \text{HASH}(\tilde{s} || \delta_i || \text{Salt} || i)$  ;  $\text{cmt}_0[i] \leftarrow \text{HASH}(\tilde{s} || \sigma_i || \text{Salt} || i)$

16  $\text{cmt}_1[i] \leftarrow \text{HASH}(\text{Seed}[i] || \text{Salt} || i)$

17 **end**

18  $d_0 \leftarrow \text{MERKLEROOT}(\text{cmt}_0[0], \dots, \text{cmt}_0[t-1])$

19  $d_1 \leftarrow \text{HASH}(\text{cmt}_1[0] || \dots || \text{cmt}_1[t-1])$

20  $d_{01} \leftarrow \text{HASH}(d_0 || d_1)$

// First challenge vector extraction

21  $d_m \leftarrow \text{HASH}(m)$

22  $d_\beta \leftarrow \text{HASH}(d_m || d_{01} || \text{Salt})$

23  $\text{beta} \leftarrow \text{CSPRNG}(d_\beta, (\mathbb{F}_p^*)^t)$

// Computation of first round of responses

24 **for**  $i \leftarrow 0$  **to**  $t-1$  **do**

25 **for**  $j \leftarrow 0$  **to**  $n-1$  **do**

26  $e'[j] \leftarrow g^{\eta'_i[j]}$

27 **end**

28  $y_i \leftarrow u'_i + \text{beta}[i]e'_i$

29 **end**

---

---

```

30
  // Second challenge vector extraction
31  $d_b \leftarrow \text{HASH}(y_0 || \dots || y_{t-1} || d_\beta)$ 
32  $b \leftarrow \text{CSPRNG}(d_b, \mathcal{B}_{(w)}^t)$ 
  // Computation of second round of responses
33  $\text{MerkleProofs} \leftarrow \text{MERKLEPROOF}(\text{cmt}_0[0], \dots, \text{cmt}_0[t-1], b)$ 
34  $\text{SeedPath} \leftarrow \text{SEEDTREEPATHS}(\text{MSeed}, b)$ 
  // Signature composition
35  $\text{rsp}_0 \leftarrow (\mathbb{F}_p^n \times \mathbb{F}_z^n)^{t-w}$  ;  $\text{rsp}_0 \leftarrow (\mathbb{F}_p^n \times \mathbb{F}_z^n)^{t-w}$ 
36  $\text{rsp}_1 \leftarrow (\{0, 1\}^\lambda)^{t-w}$  // empty array
37  $j \leftarrow 0$ 
38 for  $i \leftarrow 0$  to  $t-1$  do
39   if  $(b[i] = 0)$  then
      //  $\text{cmt}_0[i]$  is recomputed by the verifier,  $\text{cmt}_1[i]$  must be sent
40      $\text{rsp}_0[j] \leftarrow (y_i, \delta_i)$  ;  $\text{rsp}_0[j] \leftarrow (y_i, \sigma_i)$ 
41      $\text{rsp}_1[j] \leftarrow \text{cmt}_1[i]$ 
42      $j \leftarrow j + 1$ 
43   end
44 end
45  $\text{Signature} \leftarrow \text{Salt} || d_{01} || d_b || \text{MerkleProofs} || \text{SeedPath} || \text{rsp}_0 || \text{rsp}_1$ 
  // all Signature components are encoded as binary strings
46 return Signature
47 end

```

---

Figura 2.5: Primitiva Sign di CROSS

da  $\lambda$  bit pseudo-casuali, concatenati con un indice intero di posizione, calcolato tramite enumerazione a livelli dei nodi. La radice dell'albero si ottiene attraverso la concatenazione di:  $\text{MSeed}$ ,  $\text{Salt}$  e l'indice di posizione 0. Mediante logica  $\text{CSPRNG}$ , ogni figlio è ottenuto dall'output della funzione, partendo da un input formato con: la stringa binaria del padre, il  $\text{Salt}$  e l'indice di posizione (concatenati). Le prime  $t$  foglie generate sono restituite da  $\text{SeedTreeLeaves}$  come la sequenza richiesta di  $(\text{Seed}[0], \dots, \text{Seed}[t-1])$ .

La  $\text{Sign}$  prosegue nel calcolo dei commitment per i  $t$  round del protocollo, utilizzando il  $\text{Seed}[i]$  generato. L'obiettivo dei cicli for (linee 5-17) è la composizione degli elementi relativi ai commitment  $\text{cmt}_0$  e  $\text{cmt}_1$ , divisi nei valori  $c_0^{(j)}$  e  $c_1^{(j)}$  per  $1 \leq j \leq t$ . Per fare ciò, bisogna che l' $i$ -esima iterazione del ciclo espanda  $\text{Seed}[i]$  in due componenti  $\text{Seed}_{u'}$  e  $\text{Seed}_{e'}$ .  $\text{Seed}_{e'}$  è usato per calcolare il vettore di errore ristretto, rappresentato come un vettore di  $n$  elementi relativo agli esponenti del sottogruppo  $\mathbb{E}$  e denotato come  $\eta'_i \in \mathbb{F}_z^n$  (linea 7). Questo elemento è usato assieme al errore segreto  $\eta$ , per ottenere la trasformazione  $\sigma_i \in \mathbb{F}_z^n$ , tale che  $\sigma_i + \eta'_i = \eta$  (corrispondente a  $\ell_G(\sigma_i) + \ell_G(e'_i) = \ell_G(e)$  nella notazione di protocollo). Queste operazioni corrispondono ad una sottrazione componente per componente in  $\mathbb{F}_z^n$ , in quanto tutti gli elementi sono rappresentati come vettori in  $\mathbb{F}_z^n$  (linea 8). Per applicare la trasformazione ritretta  $\sigma$ , la  $\text{Sign}$  necessita di convertire la rappresentazione dei vettori di  $n$  elementi a valori nel campo finito  $\mathbb{F}_z$ , a valori in  $\mathbb{F}_q$ . Questo è possibile attraverso un calcolo componente per componente, pari a  $g^{\sigma_i[j]}$ , per tutti i  $0 \leq j < n$ ; il che permette di appoggiarsi ai valori temporanei  $v$ . La trasformazione, adesso rappresentata come un vettore valorizzato in  $\mathbb{F}_q$ , è applicata ad un vettore casuale  $u'_i$  a valori in  $\mathbb{F}_q$  (ottenuto mediante un'espansione  $\text{CSPRNG}$  con input  $\text{Seed}_{u'}$  linea 12). L'uso della trasformazione avviene me-

dianete un prodotto componente per componente su  $\mathbb{F}_q$  (linea 13). Una volta completato, la sindrome  $\tilde{\mathbf{s}}$  si ottiene calcolando  $\mathbf{u} = \mathbf{v} \star \mathbf{u}'$  e recuperando  $\mathbf{H}$  (linea 14). I commitment relativi all' $i$ -esimo round sono calcolati nelle linee 15 e 16.  $\mathbf{cmt0}[i]$  è ottenuto come hash digest di: sindrome  $\tilde{\mathbf{s}}$ , trasformazione, **Salt** e numero di round  $i$  (in byte). Inoltre, sempre per quanto concerne  $\mathbf{cmt0}[i]$ , si considera una rappresentazione compatta per la trasformazione  $\sigma_i$  nel caso R-SDP(G). Sia noto come, grazie alla linearità della moltiplicazione per  $\mathbf{M}_G$ , è possibile calcolare il valore  $\delta_i$  sulla base della relazione  $\delta_i \mathbf{M}_G = \sigma_i$ , sostituendo  $\sigma_i$  con  $\delta_i$  nel calcolo di  $\mathbf{cmt0}[i]$ . Tutto ciò è realizzabile successivamente alla generazione di  $\eta'_i$ , nel caso R-SDP(G) (linea 7), quando i valori  $\zeta$  e  $\zeta'$  (tali per cui  $\zeta_i \mathbf{M}_G = \eta_i$  e  $\zeta'_i \mathbf{M}_G = \eta'_i$ ) sono disponibili. Sostituire  $\sigma_i$  con  $\delta_i$  consente di ridurre la quantità di dati da fornire alla funzione hash, oltre che a velocizzare il calcolo di  $\mathbf{cmt0}[i]$  e  $\mathbf{cmt1}[i]$ .

Una volta che tutti i commitment sono pronti, l'algoritmo procede a comporre il digest per ottenere il primo vettore di challenge **beta**. La **Sign** ottimizza la procedura classica (basata su Fiat-Shamir), attraverso due considerazioni. La prima è che il vettore della seconda challenge deve avere peso fisso elevato, quindi gli elementi di  $\mathbf{cmt0}$ , da rivelare se la challenge fosse a valore 0, vengono scambiati raramente. Ciò, è di fondamentale importanza in quanto permette di realizzare una struttura di hash legati all'albero di Merkle, i quali rivelano una quantità di dati meno che lineare (rispetto a  $t$ ). La procedura di **Sign**, poi, calcola la radice dell'albero di Merkle  $\mathbf{d}_0$ , a partire dalle foglie, che risultano essere gli elementi di  $\mathbf{cmt0}$ . Successivamente, attraverso un hash di tutti gli elementi di  $\mathbf{cmt1}$ , viene generato il digest  $\mathbf{d}_1$ . Nell'approccio classico di Fiat-Shamir sarebbero da includere entrambi i digest nella firma, per garantire il controllo da parte del verifier. In questo caso, invece, si realizza un digest successivo  $\mathbf{d}_{01}$ , composto da un input di  $\mathbf{d}_0$  e  $\mathbf{d}_1$  (linea 20) ed includendo solamente questo all'intero della **Signature**. Il secondo aspetto notevole è relativo all'inclusione del messaggio come input della funzione hash che genera il seed, espanso successivamente in **beta**, richiedendo però che l'intero messaggio sia scambiato durante la firma. Nel caso ottimizzato, d'altra parte, si include solamente un digest del messaggio  $\mathbf{d}_m$ , al fine di permettere esecuzioni parallele nel caso in cui più componenti siano simultaneamente disponibili. Di seguito, si compone l'input della funzione hash che genera il digest  $\mathbf{d}_\beta$ , concatenando  $\mathbf{d}_m$ ,  $\mathbf{d}_{01}$  e il **Salt** (linea 22). Espandendo  $\mathbf{d}_\beta$  usando un CSPRNG, si ottiene il primo vettore di challenge  $\mathbf{beta} \in (\mathbb{F}_q^*)^t$  (linea 23). Una volta generato **beta**, la procedura compone le risposte  $\mathbf{y}_i$ ,  $0 \leq i < t$ , basandosi sulla rappresentazione  $\eta'_i$  sul campo  $\mathbb{F}_q$  (linea 25-27) e calcolando  $\mathbf{u}'_i + \mathbf{beta}[i]e'_i$ .

Per ogni round, la risposta corrispondente  $\mathbf{y}_i$  è calcolata a partire dalla challenge  $\mathbf{beta}[i]$ , dall'errore ristretto  $\mathbf{e}'_i$  e da  $\mathbf{u}'_i$ .

Il digest  $\mathbf{d}_b$ , ottenuto dall'hash di tutte le  $\mathbf{y}_i$  e da  $\mathbf{d}_\beta$ , rappresenterà la prima risposta e sarà incluso nella firma; successivamente, la sua espansione mediante CSPRNG permetterà di ottenere il secondo vettore di challenge **b**. Tale vettore deve essere campionato a partire da un insieme di stringhe binarie di lunghezza  $t$  e peso  $w$ . Si può osservare che, fin quando il digest  $\mathbf{d}_b$  è pubblico, non c'è necessità di implementare un processo di campionamento a peso costante. Ciò riduce la difficoltà di ottenere un algoritmo sicuro e corretto. Dato che il numero di zeri in **b** è molto minore rispetto al numero di uni, è possibile popolare le posizioni degli zeri nella stringa, passando per un CSPRNG che ha come input i numeri di  $\mathbf{d}_b$  nel range  $0, n - 1$ . Se una posizione pescata ha già il valore zero, si scarta il numero campionato e si passa ad uno nuovo.

Una volta che il vettore di challenge **b** è disponibile, è possibile calcolare quali nodi dell'albero di Merkle dovrebbero essere inclusi nella firma, così che il verifier possa ricomporre

la radice  $\mathbf{d}_0$  partendo da essi e dalle risposte alle challenge 0. Ciò è possibile grazie alla procedura `MerkleProof`, che riceve in input il vettore a peso fisso  $\mathbf{b}$ , assieme alla sequenza di commitment  $\mathbf{cmt}_0$ . Questa funzione include, all'interno della struttura dati `MerkleProof`, tutti i nodi dell'albero di Merkle che sono radici dei sottoalberi più elevati, tali che non contengono nodi ricalcolabili autonomamente dal verifier.

La procedura di `Sign` calcola poi il secondo set di risposte. L'approccio ottimizzato rappresenta esplicitamente le risposte ai bit di challenge 0, mantenendole nelle sequenze  $\mathbf{rsp}_0$  ed  $\mathbf{rsp}_1$ . In contrasto, dato che le risposte ai bit di challenge 1 possono essere esposte in forma compatta impiegando un seed come nelle linee 5-17, allora si rappresentano tutte quante come radici di sottoalberi binari della struttura dati ad albero di seed. La procedura `SeedTreePaths` prende in input `MSeed`, permettendo di generare l'albero di seed assieme ad una sequenza di bit che evidenzia quali foglie devono essere divulgate al verifier. Questa funzione determina i nodi da includere nella struttura dati `SeedPaths`, opzionando tutte le radici dei sottoalberi dell'albero binario tali che i loro figli sono nodi unici da divulgare (il fratello non deve essere divulgato).

La `Sign` procede popolando le sequenze  $\mathbf{rsp}_0$  ed  $\mathbf{rsp}_1$ , aventi entrambe lunghezza  $t-w$ . In particolare, il ciclo descritto nelle linee 38-44 lavora per ripetizioni del protocollo (indicizzate da  $i$ ) e, per ogni round in cui la challenge ha valore zero, si include la coppia  $(\mathbf{y}_i, \sigma_i)$  nel caso R-SDP, o quella  $(\mathbf{y}_i, \delta_i)$  nel caso R-SDP(G), nella sequenza di  $\mathbf{rsp}_0$ ; mentre memorizza in  $\mathbf{rsp}_1$  i corrispondenti commitment provenienti da  $\mathbf{cmt}_1$ .

Infine, la firma `Signature` si compone concatenando e codificando, con logica Pack Unpack [10], i seguenti elementi: un `Salt` di  $2\lambda$  bit, il digest dei commitment  $\mathbf{d}_{01}$ , il digest delle prime risposte  $\mathbf{d}_b$ , la proof relativa all'albero di Merkle `MerkleProofs` (degli elementi  $\mathbf{cmt}_0[i]$  associati ai bit di challenge  $\mathbf{b}[i] = 0$ ), il percorso dell'albero dei seed `SeedPath` (per i round in cui si ha  $\mathbf{b}[i] = 1$ ) ed i vettori di risposta  $\mathbf{rsp}_0$  ed  $\mathbf{rsp}_1$ .

### Verifica della firma

La procedura di verifica implementa le operazioni descritte in Fig.2.6. L'algoritmo prende in input la chiave pubblica `pub`, il messaggio `Msg` (sul quale andrebbe verificata la firma) e la stessa firma `Signature`. L'output della funzione è un valore booleano `True` o `False` a seconda della validità, o meno, della firma.

Il primo passaggio della procedura si basa sull'espansione del seed contenuto nella chiave pubblica, ossia `Seedpk`, nella parity-check matrix  $\mathbf{H}$  nel caso R-SDP, e nella matrice  $\mathbf{M}_G$  nel R-SDP(G) (linea 2). Una volta che questi dati sono disponibili, la `Verify` si concentra sul ricalcolo dei due vettori di challenge `beta` e `b`. Partendo dal secondo, esso viene ricomposto usando la medesima logica CSPRNG impiegata durante la fase di generazione della firma, fornendo in input il digest  $\mathbf{d}_b$ . Per generare  $\mathbf{d}_\beta$  mediante CSPRNG è necessario fornire in input  $\mathbf{d}_m$ ,  $\mathbf{d}_{01}$  ed il `Salt`. Successivamente, ricalcoliamo `beta` a partire da  $\mathbf{d}_\beta$ , a valori in  $(F_q^*)^t$  e `b` utilizzando  $\mathbf{d}_b$ , con la medesima logica della `Sign` basata su peso di Hamming fisso.

L'algoritmo, poi, rigenera i seed richiesti per ricomporre i valori di  $\mathbf{cmt}_1[i]$ , per tutte le iterazioni  $i$  del protocollo con valore di challenge  $\mathbf{b} = 1$ . Queste operazioni sono realizzate da `RebuildSeedTreeLeaves`, che riceve come input la struttura dati `SeedPath`, il vettore di challenge `b` ed il `Salt`. La procedura calcola, a partire dalle informazioni contenute in `b`, le radici dei sottoalberi più elevati che contengono solo nodi da rigenerare, per poi completare con i nodi di `SeedPath`. Si riesce poi, con logica top-down, a recuperare tutte le foglie richieste. Dopo aver generato la sequenza `Seed[0], ..., Seed[t-1]`, per la quale solamente i

**Algorithm 3: CROSS-VERIFY(pub,Msg,Signature)**


---

**Data:**  $\lambda$ : security parameter,  
 $g \in \mathbb{F}_p^*$ : generator of a subgroup  $\mathbb{E}$  of  $\mathbb{F}_p^*$  with cardinality  $z$   
 $\mathbb{E}^n$ : restricted subgroup  
 $M_G$ :  $m \times n$  matrix of  $\mathbb{F}_z$  elements, employed to generate vectors  $\eta \in G \subset \mathbb{E}^n$   
 $t$ : number of iterations of the ZKID protocol  
 $\mathcal{B}_w^t$ : set of all binary strings with length  $w$  and Hamming weight  $t$

**Input:** pub: (Seed<sub>pk</sub>, s) public key: Seed<sub>pk</sub> is a  $\lambda$  bit seed to derive the non-systematic portion of a random parity-check matrix  $\mathbf{H}$  and the  $m \times n$  matrix of  $\mathbb{F}_z$  elements  $M_G$   
Msg: message to verify the signature on;  $\text{Msg} \in \{0, 1\}^*$   
Signature: signature obtained encoding as binary the tuple  
(Salt, d<sub>01</sub>, d<sub>b</sub>, MerkleProofs, SeedPath, rsp<sub>0</sub>, rsp<sub>1</sub>)

**Output:** a Boolean value, {True, False}, indicating if the signature is verified or not

```

1 Begin
  // Key material expansion
  (SeedV, SeedW) ← CSPRNG (Seedpk, {0,1}λ × {0,1}λ)
2  V ← CSPRNG (SeedV,  $\mathbb{F}_p^{(n-k) \times k}$ )
  -----
3  H ← [In-k | V]
4  W ← CSPRNG (SeedW,  $\mathbb{F}_z^{m \times (n-m)}$ )
5  MG ← [Im | W]
  // Challenge recomputation
6  dm ← HASH(m)
7  dβ ← HASH(dm || d01 || Salt)
8  beta ← CSPRNG (dβ,  $(\mathbb{F}_p^*)^t$ )
9  b ← CSPRNG (db,  $\mathcal{B}_w^t$ )
10 (Seed[0], ..., Seed[t-1]) ← REBUILDSEEDTREELEAVES(SeedPath, b, Salt)
11 j ← 0
12 for i ← 0 to t-1 do
13   if (b[i] = 1) then
14     cmt1[i] ← HASH(Seed[i] || Salt || i)
15     (Seedu', Seede') ← CSPRNG (Seed[i], {0,1}λ × {0,1}λ)
16     ζ' ← CSPRNG (Seede',  $\mathbb{F}_z^m$ )
17     η' ← CSPRNG (Seede',  $\mathbb{F}_z^n$ )
18     η' ← ζ' MG
19     for j ← 0 to n-1 do
20       e'[j] ← gη'[j]
21     end
22     u' ← CSPRNG (Seedu',  $\mathbb{F}_p^n$ )
23     yi ← u' + beta[i] e'
24   else
25     (yi, δi) ← rsp0[j]
26     (yi, σi) ← rsp0[j]
27     verify δi ∈ G
28     σi ∈ G
29     σi ← δ MG
30   for j ← 0 to n-1 do
31     v[j] ← gσ[j]
32   end
33   y' ← v * yi
34   s̄ ← y' HT - beta[i] s
35   cmt0[i] ← HASH(s̄ || δi || Salt || i)
36   cmt0[i] ← HASH(s̄ || σi || Salt || i)
37   cmt1[i] ← rsp1[j]
38   j ← j + 1
39 end
40 end

```

---

---



---

```

35
36  $d'_0 \leftarrow \text{RECOMPUTEMERKLEROOT}(\text{cmt}_0, \text{MerkleProofs}, \mathbf{b})$ 
37  $d'_1 \leftarrow \text{HASH}(\text{cmt}_1[0] \parallel \dots \parallel \text{cmt}_1[t-1])$ 
38  $d'_{01} \leftarrow \text{HASH}(d'_0 \parallel d'_1)$ 
39  $d'_b \leftarrow \text{HASH}(y_0 \parallel \dots \parallel y_{t-1})$ 

40 if  $(d_{01} = d'_{01} \text{ and } d_b = d'_b)$  then
41     return True
42 end
43 return False
44 end

```

---

Figura 2.6: Primitiva Verify di CROSS

nodì rivelati hanno un valore effettivo, l'algoritmo compone i valori all'interno delle sequenze  $\text{cmt}_0$  e  $\text{cmt}_1$ , così come i valori delle prime risposte  $\mathbf{y}_i$ , le quali dipendono dal bit di challenge  $\mathbf{b}[i]$  (linee 12-34).

Se  $\mathbf{b}[i] = 1$  (linee 13-22), la Verify ricalcola il valore di  $\text{cmt}_1[i]$  effettuando l'hash di  $\text{Seed}[i]$  congiuntamente al  $\text{Salt}$  (linea 14). Di seguito, la procedura espande  $\text{Seed}[i]$ , ottenuto come foglia dell'albero di seed, nella coppia  $(\text{Seed}_{u'}, \text{Seed}_{e'})$  (linea 15). Partendo da questi valori, la procedura permette di ricalcolare il vettore  $\mathbf{e}'$  realizzando la stessa espansione, attraverso un CSPRNG, della  $\text{Sign}$  (linea 16), a seconda della versione di CROSS. Si nota poi, come il valore di  $\mathbf{u}'$  venga recuperato da un'espansione CSPRNG di  $\text{Seed}_{u'}$ . Di seguito, la Verify calcola il valore delle prime risposte  $\mathbf{y}_i$ , usando le prime challenge  $\text{beta}[i]$  assieme ad  $\mathbf{e}'$  e  $\mathbf{u}'$  (linea 21).

Se  $\mathbf{b}[i] = 0$ , la procedura di verifica ricomputa invece il valore di  $\text{cmt}_0[i]$ . Poi, si verifica che la trasformazione contenuta in  $\text{rsp}_0$ , rappresentata da  $n$  elementi nel campo finito  $\mathbb{F}_z$  (dentro  $\sigma$  per R-SDP) e da  $m$  elementi (dentro  $\delta$  per R-SDP( $G$ )), è un elemento valido del sottogruppo ristretto  $G$ , verificando se tutti i valori del vettore codificato (o  $\sigma$  o  $\delta$ ) sono in un intervallo appropriato  $\{0, \dots, z-1\}$  (linea 24) e, se necessario, ricostruendo  $\sigma$  a partire da  $\delta$  mediante una moltiplicazione per  $\mathbf{M}_G$ . Quindi, la trasformazione è applicata all'  $\mathbf{y}_i$  fornito, che viene successivamente impiegato per calcolare la sindrome  $\tilde{\mathbf{s}}$  (linee 25-29). Svolgere l'hash di: sindrome, trasformazione ( $\sigma$  o  $\delta$ ) e  $\text{Salt}$ , conduce al digest di  $\text{cmt}_0[i]$ . Il corrispondente valore del digest di  $\text{cmt}_1[i]$  viene recuperato a partire dalla sequenza  $\text{rsp}_1$  (linea 31).

La Verify può adesso ricomporre sia  $\mathbf{d}_0$  sia  $\mathbf{d}_1$ , i valori ricostruiti saranno chiamati  $\mathbf{d}'_0$  e  $\mathbf{d}'_1$ . Il digest  $\mathbf{d}'_0$  è ottenuto attraverso  $\text{RecomputeMerkleRoot}$ , che riceve una sequenza di commitment  $\text{cmt}_0$ , dove una parte è ricalcolata ed una parte è recuperata consultando la struttura dati  $\text{MerkleProofs}$ , presente nella  $\text{Signature}$ . La procedura effettua poi un hash gerarchico dei commitment, permettendo di generare  $\mathbf{d}'_0$  (linea 36). Il digest  $\mathbf{d}'_1$  è ottenuto performando l'hash della sequenza  $\text{cmt}_1$  (linea 37). Di seguito, questi due digest sono impiegati per generare mediante hash il digest  $\mathbf{d}'_{01}$  (linea 38), il quale dovrebbe coincidere con il  $\mathbf{d}_{01}$  presente nella  $\text{Signature}$  (se essa è valida). L'ultimo calcolo effettuato dalla procedura è la ricostruzione del digest  $\mathbf{d}'_b$ , ottenuto mediante hash delle risposte  $\mathbf{y}_i$ , seguite da  $\mathbf{d}'_\beta$ . In conclusione, l'algoritmo determina se entrambi i digest  $\mathbf{d}'_{01}$  e  $\mathbf{d}'_b$  coincidono con i corrispettivi recuperati dalla  $\text{Signature}$  (linea 40-41): se la firma è valida Verify restituisce **True**, altrimenti restituisce **False**.



### 2.2.3 Logica progettuale

Di seguito sono elencate, in maniera riassuntiva, tutte le scelte intraprese per la realizzazione dello schema di firma CROSS.

#### Codici lineari

Dall'avvio del processo di standardizzazione Quantum Resistant del NIST, già tre schemi di firma digitale sono stati considerati validi: CRYSTALS-Dilithium, FALCON e SPHINCS+. Questi sono schemi basati prevalentemente su reticoli, ragione per cui ha senso presentare un progetto che affondi le sue radici su altri principi. Nota, inoltre, l'esistenza di attacchi validi verso gli schemi basati su crittografia a logica multivariata e su isogenie, è prudente appoggiarsi a diverse primitive. Problemi difficili (dalla teoria dei codici), come SDP e sue varianti, hanno una difficoltà di risoluzione worst-case garantita, grazie alle prove di NP-completezza mostrate in [3],[4]. In aggiunta, non ci sono risolutori subesponenziali, né classici o quantistici per questi problemi, nonostante le continue ricerche [11]. Il problema di decodifica per vettori di errore ristretti è già stato identificato come NP-hard [5], dove i migliori decodificatori mostrano una complessità computazionale maggiore rispetto ai problemi classici.

#### Protocollo ZK

Impiegare una trasformazione di Fiat-Shamir su un protocollo di identificazione Zero Knowledge garantisce di ottenere uno schema di firma ad elevata sicurezza. Si può garantire sicurezza EUF-CMA attraverso un'esecuzione in parallelo di più istanze.

#### Errori ristretti

I protocolli ZK basati su codici si legano alla difficoltà del problema basato su metriche di Hamming. Comunque, questi protocolli soffrono di costi elevati a causa di molte permutazioni. L'introduzione di errori ristretti nei protocolli ZK consente di gestire i costi elevati legati alle permutazioni, mantenendo la difficoltà del problema alla base [5]. In aggiunta, la ristrettezza garantisce la possibilità di rappresentare vettori e trasformazioni in maniera compatta.

#### Scelta di $\mathbb{E}$

Si possono utilizzare anche differenti restrizioni per i vettori di errore. Nonostante ciò, per ridurre i costi di comunicazione di un protocollo ZK (e di conseguenza anche la dimensione della firma), è di fondamentale importanza la scelta di  $\mathbb{E}$ . Noto che ogni valore del vettore ristretto è dato da  $g^\ell$ , allora è richiesto di inviare solamente  $\ell$ . In altre parole, utilizzando l'isometria tra gruppi  $(\mathbb{E}^n, \star)$  in  $(\mathbb{F}_2^n, +)$ , se il gruppo  $(\mathbb{E}^n, \star)$  è transitivo, è possibile rappresentare in maniera compatta le trasformazioni; difatto, questa logica richiede solamente  $n \log_2(z)$  bit.

**Scelta di G**

Dato che le equazioni relative alla sindrome sono lineari rispetto all'addizione, avere un sottogruppo moltiplicativo di  $\mathbb{E}^n$  non arreca danno alla sicurezza del problema. Considerare il sottogruppo  $(G, \star) \subset (\mathbb{E}^n, \star)$  permette di ridurre la dimensione della firma, oltre al fatto che ogni vettore  $e$  (assieme alle trasformazioni associate) può essere rappresentato usando solo  $m \log_2(z)$  bit.

**Scelta di CROSS-ID**

Ci sono molti protocolli ZK basati su codice, anche se si riferiscono e basano su SDP con metriche di Hamming. Lavorando invece con Restricted-SDP, si ottiene una riduzione significativa della dimensione della firma. Usando il SDP con metrica di Hamming in GPS [12], è richiesta una firma di almeno 24 kB per avere una sicurezza di 128 bit. La versione corrispondente basata su R-SDP richiede solo 14 kB in dimensione della firma; mentre R-SDP(G) richiede solo 12 kB, ossia la metà della dimensione per la medesima sicurezza. Sono stati considerati molti protocolli ZK e analizzate le performance delle varianti R-SDP in termini di dimensione della firma; quest'ultima risulta il maggiore collo di bottiglia per questi schemi. Dunque, CROSS ID sembra essere il protocollo con migliori prestazioni; ciò è dato dal largo numero di hash svolti negli altri protocolli, il che conduce a vari problemi di natura computazionale.

**Scelta dello spazio**

R-SDP ed i protocolli ZK possono essere considerati su campi finiti  $\mathbb{F}_q$ , con  $q$  numero primo, in quanto si evitano vulnerabilità legate ad attacchi a sottocampi e sottospazi basati su numeri primi [13].

---

## CROSS Single Commitment

*Il terzo capitolo introduce le idee, le intuizioni e le operazioni che contraddistinguono l'innovazione dello schema CROSS. Basandosi sulla teoria ampiamente discussa, il protocollo viene rielaborato al fine di consegnare una proposta ad hoc per il contesto di riferimento.*

### 3.1 Proposta di modifica

Di seguito saranno descritti tutti i passaggi che hanno condotto alla proposta di modifica dello schema di CROSS, partendo dall'idea di fondo fino all'implementazione del codice in Python.

Attraverso un approfondito esame dell'architettura di CROSS, la quale incorpora il protocollo di identificazione omonimo, e mediante l'utilizzo della trasformazione di Fiat-Shamir, si ottiene un nuovo schema di firma che mantiene sicurezza EUF-CMA per  $t$  esecuzioni parallele. Analizzando lo schema in questione, a partire dal modello teorico di base noto come CVE [6], si è evidenziata la possibilità di eliminare la seconda sequenza di commitment.

Inoltre, è possibile osservare come due dei tre elementi utilizzati nella fase di verifica sono caratterizzati dalle medesime componenti. In particolare, nel caso in cui  $\mathbf{b} = 1$ , il verifier ricostruisce la prima risposta  $\mathbf{y}$ , facendo riferimento ai termini  $\mathbf{u}'$  ed  $\mathbf{e}'$ . Questa sorta di ridondanza deriva dall'utilizzo del secondo commitment  $c_1$ , il quale si appoggia identicamente ad  $\mathbf{u}'$  ed  $\mathbf{e}'$  (che originano dallo stesso seme di round  $\mathbf{Seed}^{(i)}$ ). Di conseguenza, aver notato come vengano controllati dei dati derivanti dalla stessa fonte, ha portato alla luce l'idea di modificare lo schema. Tuttavia, con l'avvento di questa nuova versione, è necessario riconsiderare tutti gli aspetti di robustezza relativi a CROSS. Si dimostrerà la conservazione di un adeguato livello di sicurezza, oltre al mantenimento delle proprietà fondamentali, con particolare attenzione verso la Soundness ed il relativo errore.

La struttura dello schema rimane 5-step, con uno scambio di messaggi ordinato e ben caratterizzato (commitment, prima challenge, prima risposta, seconda challenge, seconda risposta), passando per CROSS-ID, per poi essere trasformato in uno schema di firma non interattivo attraverso la logica Fiat-Shamir. All'interno di questa versione di CROSS le funzioni hash conservano le caratteristiche di robustezza hiding e binding; inoltre, sono mantenute le ottimizzazioni del caso a due commitment. Bisognerà dimostrare che il protocollo sul quale si appoggia il nuovo schema, è ancora di tipologia  $q2$ . L'aspetto degno di maggior

interesse è quello relativo al grado di sicurezza e di robustezza, garantiti dalla nuova base matematica.

A livello procedurale, è noto come questa modifica interessi precisamente le primitive di **Sign** e **Verify** dello schema precedente, con i singoli elementi  $\mathbf{cmt}_1[i]$  che erano generati attraverso l'hash di: **Seed** $[i]$ , **Salt** e l'indice di round  $i$ . Successivamente, essi venivano concatenati ed utilizzati come input per un ulteriore hash che consegnava il digest  $\mathbf{d}_1$ , il quale (nell'idea di partenza) ricopriva un ruolo cruciale sia per la generazione delle challenge (essendo uno degli elementi necessari all'ottenimento di  $\mathbf{d}_{01}$ ), sia per le operazioni di ricalcolo nella primitiva **Verify**. Inoltre lo stesso  $\mathbf{cmt}_1$ , con i suoi elementi, popolava il vettore delle seconde risposte  $\mathbf{rsp}_1$ , relative ai round con peso  $\mathbf{b} = 0$ .

Dunque, attuare un'eliminazione di commitment nello schema, può portare indicativamente ed oggettivamente a migliorie in termini di velocità d'esecuzione e di dimensione della firma a parità di parametri (proprio perchè si riduce il numero di elementi nella **Signature**, assieme alle operazioni svolte). D'altra parte, è necessario concentrarsi a fondo sull'aspetto teorico, al fine di manipolare il problema sul quale si appoggia lo schema (dovendo mantenere una certa difficoltà), passando per la modifica effettiva dello schema.

### 3.1.1 Base matematica

In primo luogo, rispetto al protocollo descritto nel capitolo precedente a Fig.2.1, è possibile introdurre una prima modifica parziale. Essa consiste nel comporre il commitment  $c_1$  a partire direttamente dal **Seed**, invece che dalla coppia  $\mathbf{u}'$  ed  $\mathbf{e}'$ . Tuttavia, questa prima modifica implica un'ulteriore assunzione di sicurezza. Di conseguenza, segue la nuova formulazione del problema, accompagnata da una dimostrazione relativa alla proprietà di soundness, passando dalla versione a due commitment a quella ad uno solo.

#### Problema

Sia  $\ell \in \mathbb{N}$  ed  $\mathbb{O}$  un Oracolo Casuale che, sulla base di input come  $\mathbf{Seed} \in \{0; 1\}^\ell$ , restituisce (in maniera uniformemente casuale) un vettore  $\mathbf{u}' \in \mathbb{F}_q^n$  ed un vettore ristretto  $\mathbf{e}' \in \mathbb{E}^n$ . Dati  $\mathbf{H} \in \mathbb{F}_q^{(n-k) \times n}$  ed  $\tilde{\mathbf{s}} \in \mathbb{F}_q^{n-k}$ , si rilevino due input  $\mathbf{Seed}, \mathbf{Seed}^* \in \{0; 1\}^\ell$ , un vettore ristretto  $\mathbf{d}$  e due scalari  $\beta, \beta' \in \mathbb{F}_q^*$  tali che

1.  $\mathbb{O}(\mathbf{Seed}) = (\mathbf{u}', \mathbf{e}')$ ;
2.  $\mathbb{O}(\mathbf{Seed}^*) = (\mathbf{u}'^*, \mathbf{e}'^*)$ ;
3.  $(\mathbf{d} \star (\mathbf{u}' - \mathbf{u}'^* + \beta \mathbf{e}' - \beta^* \mathbf{e}'^*)) \mathbf{H}^\top = (\beta - \beta^*) \mathbf{s}$ , dove  $\star$  rappresenta la moltiplicazione componente per componente.

La presunta difficoltà del problema descritto è strumentale e propedeutica al funzionamento dello schema.

#### Difficoltà del problema

Di seguito, si affronta l'ambito relativo alla difficoltà di risolvere il problema descritto. Inizialmente si osserva come il problema possa essere considerato banale se si confronta ad altri problemi difficili. Ad esempio, considerando la metrica di Hamming (non potendo usare in questo caso l'operatore  $\star$ ), un modo semplice di risolvere il problema sarebbe:

1. scegliere casualmente due seed ed ottenere  $\mathbf{u}'$ ,  $\mathbf{u}'^*$ ,  $\mathbf{e}'$  e  $\mathbf{e}'^*$ ;
2. scegliere  $\beta$  e  $\beta^*$  casuali;
3. impostare  $\mathbf{x} = \mathbf{u}' - \mathbf{u}'^* + \beta\mathbf{e}' - \beta^*\mathbf{e}'^*$  e comporlo con peso di Hamming  $w$ ;
4. trovare un vettore  $\tilde{\mathbf{x}} \in \mathbb{F}_q^n$  con peso di Hamming  $w$  tale che  $\tilde{\mathbf{x}}\mathbf{H}^\top = (\beta - \beta^*)\mathbf{s}$ ;
5. impostare  $\sigma$  come una trasformazione monomiale che trasforma  $\mathbf{x}$  in  $\tilde{\mathbf{x}}$ .

Questa procedura è banale se  $w$  non è sufficientemente piccolo. Allo stesso modo, si nota come  $\mathbf{x}$  ha un peso di Hamming stimato  $n(1 - \frac{1}{q})$ . Tale valore corrisponde a quello ottenibile risolvendo lo step 4 con semplice algebra lineare (indovinando casualmente gli elementi di  $\tilde{\mathbf{x}}$  attraverso un insieme di dati). Dunque, è possibile risolvere il problema con poche chiamate verso l'oracolo e attraverso un numero basso di tentativi per trovare  $\tilde{\mathbf{x}}$ .

### Intuizione sulla difficoltà

Con l'introduzione dei vettori ristretti, invece, il problema risulta meno banale. Sia  $\mathbf{x} = \mathbf{u}' - \mathbf{u}'^* + \beta\mathbf{u}' - \beta^*\mathbf{e}'^*$  e considerando che  $\sigma(\mathbf{x})$  può essere scritto come  $\mathbf{d} \star \mathbf{x}$ , dove  $\mathbf{d}$  è una rappresentazione vettoriale di  $\sigma$ , si nota come

$$\sigma(\mathbf{x})\mathbf{H}^\top = \mathbf{s} \mapsto \tilde{\mathbf{H}}^\top = \mathbf{s}, \quad (3.1)$$

dove  $\tilde{\mathbf{H}} = \mathbf{H} \star \mathbf{x}$  è una matrice ottenuta moltiplicando ogni colonna di  $\mathbf{H}$  con il corrispondente scalare dentro  $\mathbf{x}$ . Si può discutere sul fatto che, per qualsiasi scelta di **Seed** e **Seed\***,  $\mathbf{x}$  non è molto differente da un vettore casuale. Sia noto come  $\mathbf{u}'$ ,  $\mathbf{u}'^*$ ,  $\mathbf{e}'$  ed  $\mathbf{e}'^*$  sono campionati da un oracolo (modellato come un PRNG). Si assuma di mantenere fisso **Seed** e provare valori differenti di **Seed\***: ogni volta si ottiene una differente coppia  $(\mathbf{u}'^*, \mathbf{e}'^*)$ , la quale, quando sommata con altri termini, garantisce la randomizzazione di  $\mathbf{x}$ . A meno che l'avversario non abbia qualche maniera di rompere o attaccare il PRNG, non si nota la differenza tra  $\mathbf{x}$  ed un vettore causale.

Osservando la formula precedente 3.1, i termini cruciali appaiono come un'istanza casuale di R-SDP. Inoltre,  $\mathbf{H}$  è una parity-check matrix casuale,  $\mathbf{s}$  è una sindrome e  $\mathbf{d}$  è un vettore ristretto. Si ottiene, di conseguenza,  $\tilde{\mathbf{H}} = \mathbf{H} \star \mathbf{x}$  con  $\mathbf{x}$  casuale. Quindi, risolvere 3.1 sembrerebbe difficile come un'istanza causale di R-SDP, catturando la difficoltà del problema a cui si fa riferimento con la modifica.

Di seguito, si studia la special soundness del possibile schema modificato ad un singolo commitment.

### Proposizione 1. (Special Soundness)

Successivamente, si elabora la medesima dimostrazione nel caso in cui viene considerata la possibilità di rimuovere il secondo commitment dalla procedura. Sotto l'assunzione che il precedente problema sia difficile, il nuovo protocollo garantisce (2,2)-out-of-( $q,2$ ) special sound.

*Dimostrazione.* Si considerano quattro transcript  $T_1, T_2, T_3, T_4$  i quali, in questo caso, sono strutturati nella seguente maniera:

$$T_1 : (c_0, c_1, \beta, h, \mathbf{y}, \sigma);$$

$$T_2 : (c_0, c_1, \beta, h, \mathbf{Seed});$$

$$T_3 : (c_0, c_1, \beta^*, h^*, \mathbf{y}^*, \sigma^*);$$

$$T_4 : (c_0, c_1, \beta^*, h^*, \mathbf{Seed}^*).$$

Siano  $\mathbf{u}'$  ed  $\mathbf{e}'$  i vettori generati a partire da  $\mathbf{Seed}$ , mentre  $\mathbf{u}^*$  ed  $\mathbf{e}^*$  quelli generati da  $\mathbf{Seed}^*$ . A partire da  $T_2$  e  $T_4$ , è possibile ottenere  $\mathbf{Hash}(\mathbf{Seed}) = c_1 = \mathbf{Hash}(\mathbf{Seed}^*)$ , il che implica (a meno di collisioni)

$$\mathbf{Seed} = \mathbf{Seed}^*.$$

Adesso,  $\mathbf{Seed}$  è usato per generare  $\mathbf{u}'$  ed  $\mathbf{e}'$ ; notando che  $h = \mathbf{Hash}(\mathbf{y})$ , con  $\mathbf{y} = \mathbf{u}' + \mathbf{e}'$ . Sia  $\mathbf{x} = \mathbf{u}' + \beta\mathbf{e}'$ : sia  $T_2$  un transcript accettato/valido, si avrà che  $h = \mathbf{Hash}(\mathbf{x})$ . Allo stesso modo se  $T_1$  è un transcript valido e ciò sottolinea come  $\mathbf{y}$  e  $\mathbf{x}$  sono differenti e formano una collisione hash, oppure sono uguali e dunque  $\mathbf{y} = \mathbf{u}' + \beta'\mathbf{e}'$ . Secondo un analogo ragionamento, otteniamo  $\mathbf{y}^* = \mathbf{u}^* + \beta^*\mathbf{e}^*$ . Si nota anche, a differenza della prova relativa al protocollo precedente, che rimuovendo  $c_1$  non si riesce a garantire che  $\mathbf{u}' = \mathbf{u}^*$  ed  $\mathbf{e}' = \mathbf{e}^*$ ; quindi, si considereranno queste coppie come distinte. Adesso, si considerano  $T_1$  e  $T_3$ . Inizialmente, dato che  $c_0$  è derivato legandosi a  $\sigma$  e  $\sigma^*$ , si può garantire come  $\sigma = \sigma^*$ . Di seguito, si ottengono queste coppie di relazioni:

$$\sigma(\mathbf{y})\mathbf{H}^\top - \beta\mathbf{s} = \sigma(\mathbf{u}' + \beta\mathbf{e}')\mathbf{H}^\top - \beta\mathbf{s} = \tilde{\mathbf{s}},$$

$$\sigma(\mathbf{y}^*)\mathbf{H}^\top - \beta^*\mathbf{s} = \sigma(\mathbf{u}^* + \beta^*\mathbf{e}^*)\mathbf{H}^\top - \beta^*\mathbf{s} = \tilde{\mathbf{s}},$$

dalle quali origina

$$\sigma(\mathbf{u}' - \mathbf{u}^* + \beta\mathbf{e}' - \beta^*\mathbf{e}^*)\mathbf{H}^\top = (\beta - \beta^*)\mathbf{s}.$$

Sotto l'assunzione che  $\mathbf{u}' = \mathbf{u}^*$  ed  $\mathbf{e}' = \mathbf{e}^*$ , si conclude con una prova o dimostrazione simile se non identica a quella proposta per il protocollo precedente. Dunque, bisogna osservare che o vale quanto detto, oppure l'avversario è capace di risolvere un problema difficile. Si tenga a mente come  $\sigma$  debba essere un'isometria ristretta: questa proprietà garantisce la difficoltà del problema.

### Proposizione 2. (Special Soundness)

Sotto l'assunzione che il precedente problema sia difficile, il protocollo in Fig.3.1 garantisce (2,2)-out-of-( $q,2$ ) special sound.

*Dimostrazione.* Si considerano quattro transcript  $T_1, T_2, T_3, T_4$  i quali, in questo caso, sono strutturati nella seguente maniera:

$$T_1 : (c, \beta, h, \mathbf{y}, \sigma);$$

$$T_2 : (c, \beta, h, \mathbf{Seed});$$

$$T_3 : (c, \beta^*, h^*, \mathbf{y}^*, \sigma^*);$$

$$T_4 : (c, \beta^*, h^*, \mathbf{Seed}^*).$$

Siano  $\mathbf{u}'$  ed  $\mathbf{e}'$  i vettori generati a partire da  $\mathbf{Seed}$ , mentre  $\mathbf{u}^*$  ed  $\mathbf{e}^*$  quelli generati da  $\mathbf{Seed}^*$ . Sia  $\mathbf{x} = \mathbf{u}' + \beta\mathbf{e}'$ : dato che  $T_2$  è un transcript accettato/valido, si avrà che  $h = \mathbf{Hash}(\mathbf{x})$ . Allo stesso modo  $T_1$  è un transcript valido e ciò sottolinea come  $\mathbf{y}$  e  $\mathbf{x}$  sono differenti e formano una

collisione hash, oppure sono uguali e dunque  $\mathbf{y} = \mathbf{u}' + \beta' \mathbf{e}'$ . Secondo un analogo ragionamento, otteniamo  $\mathbf{y}^* = \mathbf{u}'^* + \beta^* \mathbf{e}'^*$ . Si nota anche, a differenza della prova relativa al protocollo precedente, che rimuovendo  $c_1$  non si riesce a garantire che  $\mathbf{u}' = \mathbf{u}'^*$  ed  $\mathbf{e}' = \mathbf{e}'^*$ ; quindi, si considereranno queste coppie come distinte. Adesso, si considerano  $T_1$  e  $T_3$ . Inizialmente, dato che  $c$  è derivato legandosi a  $\sigma$  e  $\sigma^*$ , si può garantire come  $\sigma = \sigma^*$ . Di seguito, si ottengono queste coppie di relazioni:

$$\begin{aligned}\sigma(\mathbf{y})\mathbf{H}^\top - \beta\mathbf{s} &= \sigma(\mathbf{u}' + \beta\mathbf{e}')\mathbf{H}^\top - \beta\mathbf{s} = \tilde{\mathbf{s}}, \\ \sigma(\mathbf{y}^*)\mathbf{H}^\top - \beta^*\mathbf{s} &= \sigma(\mathbf{u}'^* + \beta^*\mathbf{e}'^*)\mathbf{H}^\top - \beta^*\mathbf{s} = \tilde{\mathbf{s}},\end{aligned}$$

dalle quali origina

$$\sigma(\mathbf{u}' - \mathbf{u}'^* + \beta\mathbf{e}' - \beta^*\mathbf{e}'^*)\mathbf{H}^\top = (\beta - \beta^*)\mathbf{s}.$$

Sotto l'assunzione, infatti, che  $\mathbf{u}' = \mathbf{u}'^*$  ed  $\mathbf{e}' = \mathbf{e}'^*$ , si conclude con una prova o dimostrazione simile se non identica a quella proposta per il protocollo precedente. Dunque, bisogna osservare che o vale quanto detto, oppure l'avversario è capace di risolvere un problema difficile. Si tenga a mente come  $\sigma$  debba essere un'isometria ristretta: questa proprietà garantisce la difficoltà del problema, anche per la versione ad un commitment.

Assunto che il problema introdotto sia sufficientemente difficile, senza variare di molto i parametri (dei quali si discuterà nel capitolo successivo), le performance aumentano e tutto ciò offre un miglioramento significativo allo schema.

### 3.1.2 Confronto tra CROSS e CROSS Single Commitment

#### Dimensione della firma

Come già descritto precedentemente, il principale collo di bottiglia prestazionale dello schema CROSS concerne la dimensione della firma digitale; di conseguenza, è di primaria importanza verificare se, difatto, la nuova versione dell'algorithmo garantisce migliori rispetto all'originale. Il passaggio da SDP all'alternativa ristretta di per se garantisce una miglioria da 24 kB a 14 kB, per avere una sicurezza di 128 bit; allo stesso modo, una riduzione ulteriore si ottiene con R-SDP(G) con 12 kB.

L'attuale versione di CROSS che ottimizza il tempo d'esecuzione, trascurando in parte la dimensione della firma, non fa riferimento a strutture dati ad albero come Merkle e Seed. La dimensione delle firma relativa alla versione di CROSS SPEED è pari a:

$$|\text{Signature}| = \underbrace{8\lambda}_{\text{Salt}, c_0, c_1, h} + w \cdot \underbrace{3\lambda}_{\text{Risposte per } b[i]=1} + (t-w) \underbrace{(2\lambda + n\lceil \log_2(q) \rceil + m\lceil \log_2(z) \rceil)}_{\text{Risposte per } b[i]=0} \quad (3.2)$$

Impiegando CROSS Single Commitment la nuova dimensione sarà:

$$|\text{Signature}| = \underbrace{6\lambda}_{\text{Salt}, c, h} + w \cdot \underbrace{3\lambda}_{\text{Risposte per } b[i]=1} + (t-w) \underbrace{(n\lceil \log_2(q) \rceil + m\lceil \log_2(z) \rceil)}_{\text{Risposte per } b[i]=0} \quad (3.3)$$

Sia noto come la differenza è data dal fatto che con  $b[i] = 0$  non c'è più necessità di inviare il commitment  $c_1$ .

La versione di CROSS che ottimizza la dimensione della firma, anche chiamata SIG\_SIZE, utilizza strutture dati ad albero e rinuncia ad un'esecuzione rapida al fine di ottenere un output assai ridotto. La dimensione nell'originale è:

$$\begin{aligned}
|\text{Signature}| = & \underbrace{8\lambda}_{h, c_0, c_1, \text{Salt}} + \underbrace{\lambda(t-w) \log_2 \left( \frac{t}{t-w} \right)}_{\text{SeedPath}} + \underbrace{2\lambda \left( 1 + (t-w) \log_2 \left( \frac{t}{t-w} \right) \right)}_{\text{MerkleProof}} + \\
& + (t-w) \underbrace{\left( \underbrace{2\lambda}_{c_1^{(i)}} + \underbrace{n \lceil \log_2(q) \rceil}_{\mathbf{y}^{(i)}} + \underbrace{m \lceil \log_2(z) \rceil}_{\sigma^{(i)}} \right)}_{f^{(i)}, i \notin J}. \quad (3.4)
\end{aligned}$$

Usando il nuovo protocollo, la firma diventa pari a:

$$\begin{aligned}
|\text{Signature}| = & \underbrace{6\lambda}_{h, c, \text{Salt}} + \underbrace{\lambda(t-w) \log_2 \left( \frac{t}{t-w} \right)}_{\text{SeedPath}} + \underbrace{2\lambda \left( 1 + (t-w) \log_2 \left( \frac{t}{t-w} \right) \right)}_{\text{MerkleProof}} + \\
& + (t-w) \underbrace{\left( \underbrace{n \lceil \log_2(q) \rceil}_{\mathbf{y}^{(i)}} + \underbrace{m \lceil \log_2(z) \rceil}_{\sigma^{(i)}} \right)}_{f^{(i)}, i \notin J}. \quad (3.5)
\end{aligned}$$

Dunque, il guadagno della firma è identico in entrambe le versioni, in quanto interessa solamente i termini  $2\lambda + (t-w)2\lambda$ . Di conseguenza, questa modifica impatta in percentuali differenti sui due output. Considerando un parametro di sicurezza pari a  $\lambda = 128, t = 243, w = 206, q = 509, m = 24$  e  $z = 127$  l'effettivo guadagno, derivante dalla rimozione del secondo commitment, risulta pari a 9728 bit complessivi. Nel caso SPEED, a parametri fissi, da una firma complessiva di 109802 bit si ottiene una riduzione a 100074, pari al 8,86%; d'altra parte, la versione SIG\_SIZE passa da 69528 bit a 59800, ossia il 13,99%. La quantità di bit rimossa è fissa per entrambe le versioni, il che ha un impatto percentuale differente sulle due ottimizzazioni.

### Tempo d'esecuzione

Sul tempo d'esecuzione non è possibile concludere nulla in materia di riduzioni. Nonostante ciò, il tempo d'esecuzione per le versioni SIG\_SIZE e SPEED a parità di parametri impiegati dovrà risultare ridotto o al massimo mantenersi identico al caso precedente, in quanto le operazioni da svolgere sono ridotte. Di conseguenza, il discorso sul tempo d'esecuzione è da rimandare al capitolo successivo, dove ci si concentrerà sulla profilazione del codice C. Per quanto concerne la teoria, il tempo d'esecuzione è strettamente legato sia al parametro  $t$  sia al peso di Hamming  $w$ ; nello specifico, a rigor di logica, più  $t$  è piccolo e meno esecuzioni parallele del protocollo vengono realizzate. D'altra parte, gioca un ruolo cruciale anche il peso, il quale identifica i round della procedura nei quali il prover è tenuto a scambiare solamente un seed oppure tutte le informazioni relative alla trasformazione e alle risposte; quindi, più grande è l'intervallo  $t-w$  e maggiore è l'onerosità di ogni round. Bisogna, dunque, tenere conto di entrambe queste grandezze per lo studio delle prestazioni dell'algoritmo, congiuntamente alla valutazione delle istanze più promettenti per le versioni di CROSS.



### 3.1.3 Considerazioni crittografiche

Quindi, la proposta di modifica allo schema CROSS garantisce teoricamente una migioria in termini di dimensione della firma, sulla base dei calcoli condotti precedentemente; inoltre, offrire anche un tempo d'esecuzione migliore o al massimo uguale (quest'ultimo aspetto dipenderà molto dalla scelta dei parametri utilizzati, come spiegato prima) evidenzerebbe ulteriormente questa alternativa come valida. Il nuovo schema si appoggia ad un problema riconducibile ad un'istanza di R-SDP, problema che risulta NP-hard e, allo stesso tempo, è basato su uno protocollo di identificazione  $q_2$  che rispetta le proprietà di Zero Knowledge, Completeness e Soundness (stessa dimostrazione del Capitolo 2). Applicando, come ampiamente discusso, la trasformazione di Fiat-Shamir su  $t$  esecuzioni parallele della nuova procedura si ottiene ancora una volta uno schema di firma con sicurezza EUF-CMA; il che rafforza l'ipotesi relativa alla robustezza.

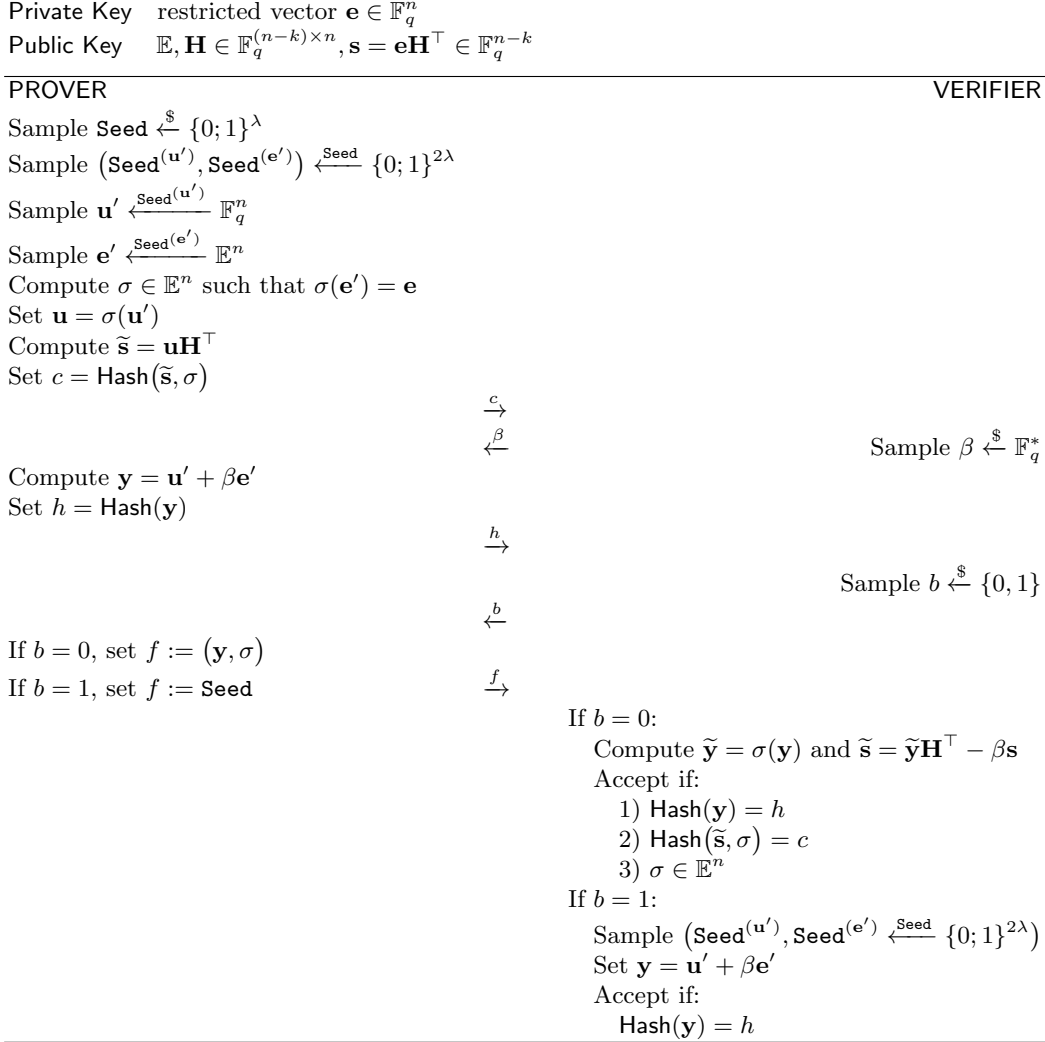


Figura 3.1: Schema di CROSS-ID ottimizzato ad un singolo commitment (R-SDP)

## 3.2 Fiat Shamir e lo schema di firma CROSS SC

Facendo riferimento alle proposizioni ed alle dimostrazioni delle sezioni precedenti è possibile confermare come, mediante la trasformazione di Fiat-Shamir sul nuovo protocollo di identificazione CROSS-ID, per  $t$  esecuzioni parallele, si ottiene uno schema di firma EUF-CMA [2].

Di netto, nonostante le modifiche introdotte, c'è ancora la necessità di discutere le principali differenze che interessano il nuovo schema rispetto a quello originale.

Tali divergenze sono le seguenti:

- **Eliminazione del secondo commitment**, eliminando la ridondanza di cui si è discusso;

- **Riduzione delle operazioni di firma**, evitando l'hash del seed di round, del `Salt` e dell'indice  $i$ , che compone la sequenza `cmt1`;
- **Riduzione della firma**, all'interno della `Signature` non è più presente la seconda risposta `rsp1`.

D'altra parte, si mantengono molte assunzioni relative alla versione precedente, come l'utilizzo di un `Salt` di  $2\lambda$  bit per evitare collisioni hash. Inoltre, le ottimizzazioni volte a ridurre i costi complessivi di comunicazione sono ancora adottati nel nuovo schema:

- **Seconda challenge a peso di Hamming fisso**, volta a monitorare i costi e la sicurezza dello schema;
- **Impiego di Seed e Merkle tree**, finalizzati a realizzare sequenze più compatte;
- **Posticipare la Verifica della Prima Risposta**, per evitare eventuali colli di bottiglia nel centro dello schema;
- **Riduzione della Dimensione dei Commitment**, in ogni round il verifier ricomponne il commitment solamente se garantisce la presenza di un  $\mathbf{b} = 0$  all'interno del vettore, per aver accesso all'elemento  $c_0^{(i)}$ . Non si hanno più i  $c_1^{(i)}$ , motivo per il quale non si ha la caratteristica per la quale ad ogni round il verifier ottiene o ricalcola sicuramente uno dei due commitment. Successivamente, si prepara ancora il Merkle Tree  $T$  usando come foglie  $c_0^{(1)}, \dots, c_0^{(t)}$ . L'elemento di fondamentale interesse è ancora  $c_0$ , ossia la radice di  $T$ . Il verifier, attraverso gli elementi noti quando  $\mathbf{b} = 0$  ed i restanti ottenuti mediante struttura dati `Merkle Proof`, ricomponne l'albero e la radice. Il limite superiore del costo totale associato al commitment si mantiene identico al caso precedente.

### 3.2.1 Schema di firma risultante

Lo schema, comprensivo delle primitive di generazione e verifica della firma, subisce alcune modifiche conseguenti all'eliminazione del commitment. Considerate tutte le ottimizzazioni proposte, lo schema finale segue le Fig.3.2 e 3.3.

#### Signing:

1. campiona un `Salt`  $\stackrel{\$}{\leftarrow} \{0;1\}^{2\lambda}$ ;
2. campiona un `MSeed`  $\stackrel{\$}{\leftarrow} \{0;1\}^\lambda$  e crea un albero di seed che ha come  $t$  foglie gli elementi `Seed(1), ..., Seed(t)`. Il singolo `Seed(i)` è necessario per comporre  $\mathbf{u}^{(i)}$  e  $\mathbf{e}^{(i)}$ , i quali sono impiegati nel round  $i$ ;
3. per i round  $i = 1, \dots, t$  calcola la trasformazione ristretta  $\sigma^{(i)}$  ed i commitment  $c_0^{(i)}$ , come definiti precedentemente. Inoltre, utilizza il `Salt` e l'indice di round  $i$  all'interno delle funzioni hash;
4. costruisce l'albero di Merkle  $T$  con i commitment  $c_0^{(1)}, \dots, c_0^{(t)}$ ;
5. genera il vettore della prima challenge  $(\beta^{(1)}, \dots, \beta^{(t)})$  usando il messaggio, il salt ed i commitment;

6. calcola  $(\mathbf{y}^{(1)}, \dots, \mathbf{y}^{(t)})$  come descritto in CROSS-ID, per poi generare  $h$  attraverso il loro hash:
7. genera il vettore della seconda challenge  $\mathbf{b} = (b^{(1)}, \dots, b^{(t)}) \in \{0; 1\}^t$  a partire dall'hash di messaggio, **Salt**, commitment, risposte ed  $h$ . Questo vettore ha un peso di Hamming  $w$  fisso. Inoltre, definisce l'insieme  $J$  come il supporto di  $b$ , che caratterizza gli indici  $i$  tali per cui  $b^{(i)} = 1$ ;
8. calcola **SeedPath** come l'insieme dei nodi intermedi dell'albero di seed, necessari per ricomporre tutti i  $\mathbf{Seed}^{(i)}$ , per  $i \in J$ ;
9. imposta **MerkleProof** come la prova per le foglie  $\{c_0^{(i)}\}_{i \notin J}$ , al fine di ricalcolare la radice dell'albero di Merkle;
10. la firma ottenuta è

$$\text{Signature} = \{\text{Salt}, c_0, h, \text{SeedPath}, \text{MerkleProof}(T_0), \{\mathbf{y}^{(i)}, \sigma^{(i)}\}_{i \notin J}\}.$$

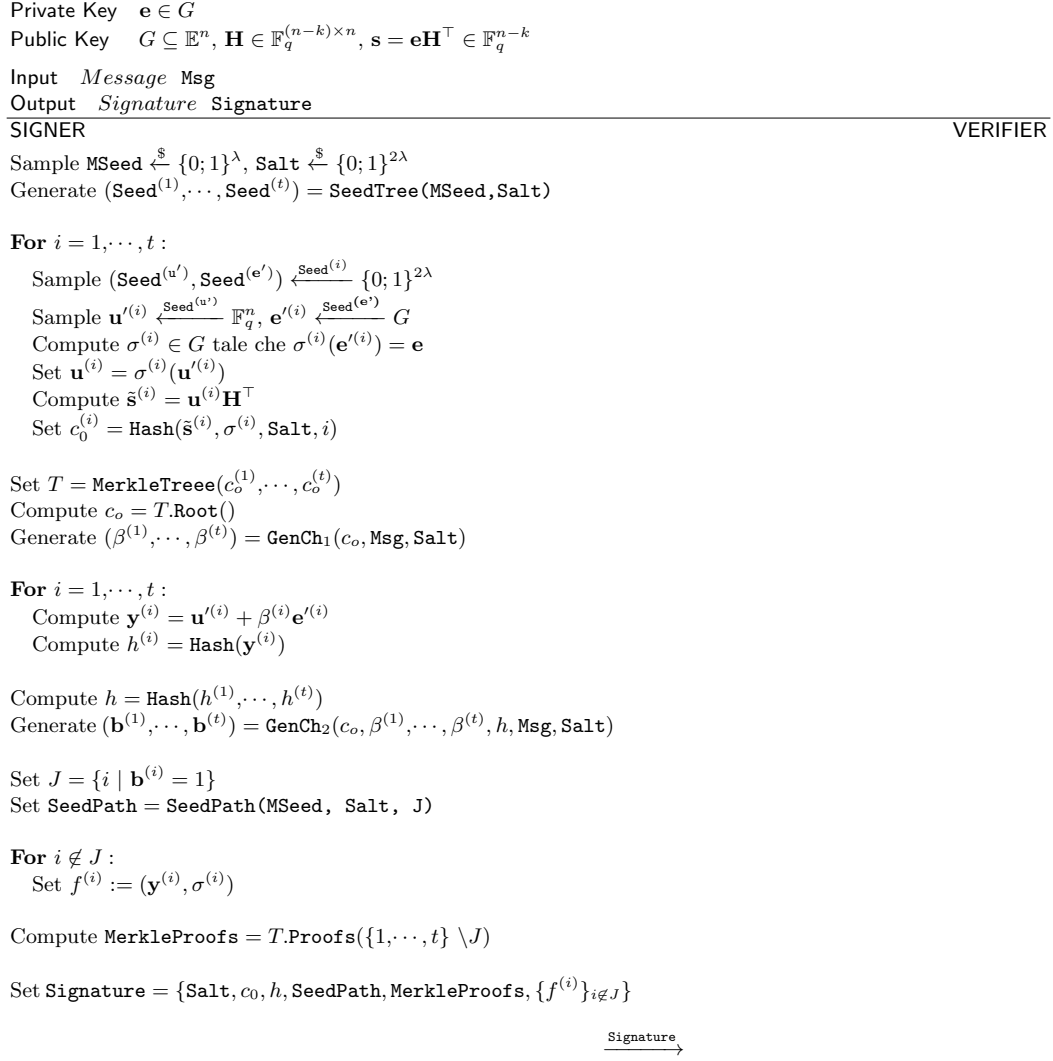


Figura 3.2: Lo schema di firma CROSS SC: generazione della firma

### Verification:

1. genera il vettore della prima challenge  $(\beta^{(1)}, \dots, \beta^{(t)})$  a partire da  $\text{Msg}$ ,  $\text{Salt}$  e  $c_0$ ;
2. genera il vettore della seconda challenge  $(b^{(1)}, \dots, b^{(t)})$  a partire da  $\text{Msg}$ ,  $\text{Salt}$ ,  $c_0$ ,  $\beta^{(1)}, \dots, \beta^{(t)}$  e  $h$ ;
3. usando  $\text{SeedPath}$ , genera i seed  $\{\text{Seed}^{(i)}\}_{i \in J}$ ;

4. per  $i \in J$ , ricalcola  $\mathbf{y}^{(1)}$  e  $h^{(1)}$ ;
5. per  $i \notin J$ , calcola  $h^{(i)} = \text{Hash}(\mathbf{y}^{(i)})$ ;
6. utilizza la **MerkleProof** e  $\{c_0^{(i)}\}_{i \notin J}$  per ricalcolare e verificare la radice  $c_0$ ;
7. verifica  $h = \text{Hash}(h^{(1)}, \dots, h^{(t)})$ .

Private Key  $\mathbf{e} \in G$

Public Key  $G \subseteq \mathbb{E}^n$ ,  $\mathbf{H} \in \mathbb{F}_q^{(n-k) \times n}$ ,  $\mathbf{s} = \mathbf{e}\mathbf{H}^\top \in \mathbb{F}_q^{n-k}$

Input *Message* **Msg**

Output *Signature* **Signature**

PROVER

VERIFIER

Signature →

Generate  $(\beta^{(1)}, \dots, \beta^{(t)}) = \text{GenCh}_1(c_0, \text{Msg}, \text{Salt})$

Generate  $(b^{(1)}, \dots, b^{(t)}) = \text{GenCh}_2(c_0, \beta^{(1)}, \beta^{(t)}, h, \text{Msg}, \text{Salt})$

Set  $J = \{i \mid b^{(i)} = 1\}$

Generate  $\{\text{Seed}_{i \in J}^{(i)} = \text{GetSeeds}(\text{SeedPath}, \text{Salt})\}$

**For**  $i \in J$  :

Set  $(\text{Seed}^{(\mathbf{u}^i)}, \text{Seed}^{(\mathbf{e}^i)}) \xleftarrow{\text{Seed}^{(i)}} \{0; 1\}^{2\lambda}$

Compute  $\mathbf{u}'^{(i)} \xleftarrow{\text{Seed}^{(\mathbf{u}^i)}} \mathbb{F}_q^n$ ,  $\mathbf{e}'^{(i)} \xleftarrow{\text{Seed}^{(\mathbf{e}^i)}} G$

Compute  $\mathbf{y}^{(i)} = \mathbf{u}'^{(i)} + \beta^{(i)} \mathbf{e}'^{(i)}$

Compute  $h^{(i)} = \text{Hash}(\mathbf{y}^{(i)})$

**For**  $i \notin J$  :

Set  $h^{(i)} = \text{Hash}(\mathbf{y}^{(i)})$

Compute  $\tilde{\mathbf{s}}^{(i)} = \sigma^{(i)}(\mathbf{y}^{(i)})\mathbf{H}^\top - \beta^{(i)}\mathbf{s}$

Verify  $h = \text{Hash}(h^{(1)}, \dots, h^{(t)})$

Verify  $c_0 = \text{Hash}(c_0^{(1)}, \dots, c_0^{(t)})$

Figura 3.3: Lo schema di firma CROSS SC: verifica della firma

Inoltre, le funzioni per la costruzioni degli alberi e la generazione delle challenge sono, come nel caso precedente, implicite e saranno approfondite nella sezione implementativa. La dimensione della chiave pubblica  $\text{pk}$  è

$$|\text{pk}| = (n - k)\lceil \log_2(q) \rceil + \lambda.$$

La dimensione della firma è già stata calcolata e stimata nell'equazione 3.5.

### 3.2.2 Descrizione procedurale di CROSS SC

La descrizione del flusso di operazioni svolte dal protocollo si suddivide ancora una volta nelle tre primitive, viste nel caso classico: **KeyGen**, **Sign** e **Verify**. Anche in questo caso è

Tabella 3.1: Tabella degli elementi da protocollo a pseudocodice

Protocollo	Pseudocodice	Semantica
$\ell_G(\mathbf{e})$	$\zeta$	Vettore in $\mathbb{F}_z^m$ per $\mathbf{e}$
$\ell(\mathbf{e})$	$\eta$	$\zeta \mathbf{M}_G = \ell_G(\mathbf{e}) \mathbf{M}_G \in \mathbb{F}_z^n$ per $\mathbf{e}$
$\ell_G(\sigma^{(i)})$	$\delta_i$	Vettore in $\mathbb{F}_z^m$ for $\sigma^{(i)}$
$\ell(\mathbf{e}'^{(i)})$	$\tilde{\eta}_i$	Vettore in $\mathbb{F}_z^n$ per $\mathbf{e}'^{(i)}$
$\ell(\sigma^{(i)})$	$\sigma_i$	Vettore in $\mathbb{F}_z^n$ per $\sigma^{(i)}$
$\sigma^{(i)}$	$\mathbf{v}$	Trasf. su $\mathbb{E}^n$ , risp. $G$
$\mathbf{u}^{(i)}$	$\mathbf{u}$	Trasf. $\mathbf{u}'^{(i)}$
$\tilde{\mathbf{s}}^{(i)}$	$\tilde{\mathbf{s}}$	Sindrome di $\mathbf{u}^{(i)}$
$c_0^{(i)}$	$\text{cmt}_0[i]$	Commitment 0 del round $i$
$c_0 = \mathcal{T}.\text{root}()$	$d_0$	Radice del Merkle tree
		$\mathcal{T}$ del commitment 0
	$d_m$	Hash del messaggio
	$d_\beta$	Hash di $d_m, d_0, \text{Salt}$
$(\beta^{(1)}, \dots, \beta^{(t)})$	<b>beta</b>	Prima challenge
$\mathbf{e}'^{(i)}$	$\tilde{\mathbf{e}}$	Trasf. $\mathbf{e}$
$\mathbf{y}^{(i)}$	$\mathbf{y}_i$	Risposta alla prima challenge
$h$	$d_b$	Hash di $y^{(1)}, \dots, y^{(t)}$
$b^{(1)}, \dots, b^{(t)}$	<b>b</b>	Seconda challenge
$f^{(i)}$	<b>rsp</b> <sub>0</sub>	Risposta del round $i$

possibile analizzare il problema sia nel caso R-SDP (a vettori ristretti in  $\mathbb{E}^n$ ) sia nel caso R-SDP( $G$ ) (a vettori ristretti nel sottogruppo  $G$ ). Viene mantenuta la medesima notazione del capitolo precedente, relativa all'utilizzo dei caratteri.

### Generazione delle chiavi

La primitiva di KeyGen sfrutta le medesime operazioni del caso classico. Non è presente alcun tipo di modifica.

---

**Algorithm 1: KEYGEN()**

---

**Data:**  $\lambda$ : security parameter,  
 $g \in \mathbb{F}_p^*$ : generator of a subgroup  $\mathbb{E}$  of  $\mathbb{F}_p^*$  with cardinality  $z$   
 $\mathbb{E}^n$ : restricted subgroup  
 $\mathbf{M}_G$ :  $m \times n$  matrix of  $\mathbb{F}_z$  elements, employed to generate vectors  $\boldsymbol{\eta} \in G \subset \mathbb{E}^n$

**Input:** None

**Output:** **pri** :  $\text{Seed}_{\text{sk}}$ : private key seed;  
**pub** :  $(\text{Seed}_{\text{pk}}, s)$  public key:  $\text{Seed}_{\text{pk}}$  is a  $\lambda$  bit seed, to derive the non-systematic portion of a random parity-check matrix  $\mathbf{H}$  and the  $m \times n$  matrix of  $\mathbb{F}_z$  elements  $\mathbf{M}_G$ ;  
 $s \in \mathbb{F}_p^{n-k}$  is the syndrome of  $\mathbf{e}$  through  $\mathbf{H}$

- 1  $\text{Seed}_{\text{sk}} \xleftarrow{\$} \{0, 1\}^\lambda$
- 2  $(\text{Seede}, \text{Seed}_{\text{pk}}) \leftarrow \text{CSRNG}(\text{Seed}_{\text{sk}}, \{0, 1\}^\lambda \times \{0, 1\}^\lambda)$   
 $(\text{SeedV}, \text{SeedW}) \leftarrow \text{CSRNG}(\text{Seed}_{\text{pk}}, \{0, 1\}^\lambda \times \{0, 1\}^\lambda)$
- 3  $\mathbf{V} \leftarrow \text{CSRNG}(\text{SeedV}, \mathbb{F}_p^{(n-k) \times k})$        $\mathbf{V} \leftarrow \text{CSRNG}(\text{Seed}_{\text{pk}}, \mathbb{F}_p^{(n-k) \times k})$
- 4  $\mathbf{H} \leftarrow [\mathbf{I}_{n-k} \mid \mathbf{V}]$   
 $\mathbf{W} \leftarrow \text{CSRNG}(\text{SeedW}, \mathbb{F}_z^{m \times (n-m)})$
- 5  $\mathbf{M}_G \leftarrow [\mathbf{I}_m \mid \mathbf{W}]$        $\boldsymbol{\eta} \leftarrow \text{CSRNG}(\text{Seede}, \mathbb{F}_z^n)$   
 $\boldsymbol{\zeta} \leftarrow \text{CSRNG}(\text{Seede}, \mathbb{F}_z^m)$   
 $\boldsymbol{\eta} \leftarrow \boldsymbol{\zeta} \mathbf{M}_G$
- 6 for  $j \leftarrow 0$  to  $n - 1$  do
- 7     $e[j] \leftarrow g^{\boldsymbol{\eta}[j]}$
- 8 end
- 9  $s \leftarrow \mathbf{e} \mathbf{H}^\top$
- 10 **pri**  $\leftarrow \text{Seed}_{\text{sk}}$
- 11 **pub**  $\leftarrow (\text{Seed}_{\text{pk}}, s)$
- 12 return (**pri**, **pub**);

---

Figura 3.4: Primitiva KeyGen di CROSS SC

### Generazione della firma

La struttura risulta simile al caso classico. L'eliminazione del secondo commitment riduce il numero di chiamate alla funzione hash, evitando di eseguire l'hashing di  $\text{Seed}[i]$ ,  $\text{Salt}$  e l'indice di round  $i$ . Successivamente, non si realizza il calcolo di  $\mathbf{d}_1$  per generare  $\mathbf{d}_{01}$  e di seguito  $\mathbf{d}_\beta$ , ma solamente  $\mathbf{d}_0$ . L'ultima differenza, da questo punto di vista, sta nella rimozione del vettore  $\text{rsp}_1$  relativo alla seconda risposta, il quale non deve essere utilizzato ne definito; da questo concetto origina il principale risultato in termini di dimensione della firma.



---

**Algorithm 2:** SIGN(pri,Msg)

---

**Data:**  $\lambda$ : security parameter,  
 $g \in \mathbb{F}_p^*$ : generator of a subgroup  $\mathbb{E}$  of  $\mathbb{F}_p^*$  with cardinality  $z$   
 $\mathbb{E}^n$ : restricted subgroup  
 $M_G$ :  $m \times n$  matrix of  $\mathbb{Z}_z$  elements, employed to generate vectors  $\eta \in G \subset \mathbb{E}^n$   
 $t$ : number of iterations of the ZKID protocol  
 $\mathcal{B}_w^t$ : set of all binary strings with length  $w$  and Hamming weight  $t$

**Input:** pri: private key constituted of  $\text{Seed}_{sk} \in \{0,1\}^\lambda$   
Msg: message to be signed  $\text{Msg} \in \{0,1\}^*$

**Output:** Signature Signature

1 **Begin**

// Key material expansion

2  $\zeta, H, M_G \leftarrow \text{EXPANDPRIVATESEED}(\text{Seed}_{sk})$  ;  $\eta, H \leftarrow \text{EXPANDPRIVATESEED}(\text{Seed}_{sk})$

// Computation of commitments

3  $\text{Mseed} \xleftarrow{\$} \{0,1\}^\lambda$ ,  $\text{Salt} \xleftarrow{\$} \{0,1\}^{2\lambda}$

4  $(\text{Seed}[0], \dots, \text{Seed}[t-1]) \leftarrow \text{SEEDTREELEAVES}(\text{Mseed}, \text{Salt})$

5 **for**  $i \leftarrow 0$  **to**  $t-1$  **do**

6  $(\text{Seed}_{ur}, \text{Seed}_{er}) \leftarrow \text{CSRNG}(\text{Seed}[i], \{0,1\}^\lambda \times \{0,1\}^\lambda)$

$\zeta' \leftarrow \text{CSRNG}(\text{Seed}_{er}, \mathbb{F}_z^m)$

7  $\delta_i \leftarrow \zeta - \zeta'$  ;  $\eta'_i \leftarrow \text{CSRNG}(\text{Seed}_{er}, \mathbb{F}_z^n)$

$\eta'_i \leftarrow \zeta' M_G$

8  $\sigma_i \leftarrow \eta - \eta'_i$

9 **for**  $j \leftarrow 0$  **to**  $n-1$  **do**

10  $v[j] \leftarrow g^{\sigma_i[j]}$

11 **end**

12  $u'_i \leftarrow \text{CSRNG}(\text{Seed}_{ur}, \mathbb{F}_p^n)$

13  $u \leftarrow v * u'_i$  // \* is component-wise product

14  $\tilde{s} \leftarrow uH^T$

15  $\text{cmt}_0[i] \leftarrow \text{HASH}(\tilde{s} || \delta_i || \text{Salt} || i)$  ;  $\text{cmt}_0[i] \leftarrow \text{HASH}(\tilde{s} || \sigma_i || \text{Salt} || i)$

16 **end**

17  $d_0 \leftarrow \text{MERKLEROOT}(\text{cmt}_0[0], \dots, \text{cmt}_0[t-1])$

18 // First challenge vector extraction

19  $d_m \leftarrow \text{HASH}(m)$

20  $d_\beta \leftarrow \text{HASH}(d_m || d_0 || \text{Salt})$

21  $\text{beta} \leftarrow \text{CSRNG}(d_\beta, (\mathbb{F}_p^*)^t)$

22 // Computation of first round of responses

23 **for**  $i \leftarrow 0$  **to**  $t-1$  **do**

24 **for**  $j \leftarrow 0$  **to**  $n-1$  **do**

25  $e'[j] \leftarrow g^{\eta'_i[j]}$

26 **end**

27  $y_i \leftarrow u'_i + \text{beta}[i]e'_i$

28 **end**

---

### Verifica della firma

Anche la primitiva di verifica segue la maggioranza delle operazioni già viste. Le modifiche fondamentali sono conseguenze della rimozione del commitment. Non viene rieseguito l'hash di:  $\text{Seed}[i]$ ,  $\text{Salt}$  e l'indice di round  $i$ . Non si recuperano i valori dal vettore di risposta per  $i = t - w$  round con  $b[i] = 0$ , non avendo più il commitment  $\text{cmt}_1$ . In aggiunta si ricalcola  $d'_0$ , evitando  $d'_1$  e  $d'_{0,1}$ . Il controllo finale della verifica avviene sui digest  $d'_0$  e  $d'_b$ , i quali devono essere entrambi uguali per garantire una corretta autenticazione della firma.

---



---

```

30
  // Second challenge vector extraction
31  $d_b \leftarrow \text{HASH}(y_0 || \dots || y_{t-1} || d_\beta)$ 
32  $b \leftarrow \text{CSPRNG}(d_b, \mathcal{B}_{(w)}^t)$ 
  // Computation of second round of responses
33  $\text{MerkleProofs} \leftarrow \text{MERKLEPROOF}(\text{cmt}_0[0], \dots, \text{cmt}_0[t-1], b)$ 
34  $\text{SeedPath} \leftarrow \text{SEEDTREEPATHS}(\text{Mseed}, b)$ 
  // Signature composition
35  $\text{rsp}_0 \leftarrow (\mathbb{F}_p^n \times \mathbb{F}_z^m)^{t-w}$  ;  $\text{rsp}_0 \leftarrow (\mathbb{F}_p^n \times \mathbb{F}_z^n)^{t-w}$ 
36  $j \leftarrow 0$ 
37 for  $i \leftarrow 0$  to  $t-1$  do
38   if  $(b[i] = 0)$  then
39     //  $\text{cmt}_0[i]$  is recomputed by the verifier
40      $\text{rsp}_0[j] \leftarrow (y_i, \delta_i)$  ;  $\text{rsp}_0[j] \leftarrow (y_i, \sigma_i)$ 
41      $j \leftarrow j + 1$ 
42   end
43 end
44  $\text{Signature} \leftarrow \text{Salt} || d_0 || d_b || \text{MerkleProofs} || \text{SeedPath} || \text{rsp}_0$ 
45 // all Signature components are encoded as binary strings
46 return Signature
47 end

```

---



---

Figura 3.5: Primitiva Sign di CROSS SC

### 3.3 Implementazione Python

Dopo aver proposto la modifica dello schema, è fondamentale procedere con la sua realizzazione. All'inizio è stato necessario associare un'implementazione Python di riferimento ad una già esistente in linguaggio C. Questa nuova versione è stata progettata per riflettere la struttura della controparte, migliorandone così la fruibilità e la comprensibilità dal punto di vista tecnico.

I risultati e le componenti di interesse sono approfonditi per consentire l'analisi delle caratteristiche e per verificare la coerenza dell'implementazione rispetto alle logiche concepite. Basandosi sulla teoria esaminata nella sezione precedente, relativa al protocollo di identificazione  $q2$  fino al raggiungimento dello schema di firma con sicurezza EUF-CMA, è stata sviluppata una versione in Python tramite Jupyter Notebook. L'implementazione è relativa sia alla versione classica che a quella con un solo commitment.

Dato che le differenze tra le due varianti sono ridotte, verranno prima esaminate le funzioni comuni, per poi concentrarsi sulle modifiche e le differenze specifiche.

#### 3.3.1 Packages e Struttura

Per lo sviluppo è stato impiegato l'IDE Visual Studio Code, nel quale è stato necessario installare delle estensioni. In primo luogo sono state aggiunte le versioni aggiornate di Python, SageMath e Jupyter. Successivamente, dal terminale di VSCODE è stato possibile installare le estensioni di Python, Jupiter e quelle relative ai pacchetti crittografici (come pycryptodome).

Algorithm 3: CROSS-VERIFY(pub,Msg,Signature)

---

**Data:**  $\lambda$ : security parameter,  
 $g \in \mathbb{F}_p^*$ : generator of a subgroup  $E$  of  $\mathbb{F}_p^*$  with cardinality  $z$   
 $E^n$ : restricted subgroup  
 $M_G$ :  $m \times n$  matrix of  $\mathbb{F}_z$  elements, employed to generate vectors  $\eta \in G \subseteq \mathbb{E}^n$   
 $t$ : number of iterations of the ZKID protocol  
 $\mathcal{B}_w^t$ : set of all binary strings with length  $w$  and Hamming weight  $t$

**Input:** pub: (Seed<sub>pk</sub>,s) public key; Seed<sub>pk</sub> is a  $\lambda$  bit seed to derive the non-systematic portion of a random parity-check matrix  $H$  and the  $m \times n$  matrix of  $\mathbb{F}_z$  elements  $M_G$   
Msg: message to verify the signature on;  $\text{Msg} \in \{0,1\}^*$   
Signature: signature obtained encoding as binary the tuple  
(Salt, d<sub>01</sub>, d<sub>b</sub>, MerkleProofs, SeedPath, rsp<sub>0</sub>)

**Output:** a Boolean value, {True, False}, indicating if the signature is verified or not

```

1 Begin
  // Key material expansion
  (SeedV, SeedW) ← CSPRNG (Seedpk, {0,1}λ × {0,1}λ)
2  V ← CSPRNG (SeedV,  $\mathbb{F}_p^{(n-k) \times k}$ )
  V ← CSPRNG (Seedpk,  $\mathbb{F}_p^{(n-k) \times k}$ )
  -----
3  H ← [In-k | V]
4  W ← CSPRNG (SeedW,  $\mathbb{F}_z^{m \times (n-m)}$ )
5  MG ← [Im | W]
  // Challenge recomputation
6  dm ← HASH(m)
7  dβ ← HASH(dm || d01 || Salt)
8  beta ← CSPRNG (dβ,  $(\mathbb{F}_p^*)^t$ )
9  b ← CSPRNG (db,  $\mathcal{B}_w^t$ )
10 (Seed[0], ..., Seed[t-1]) ← REBUILDSEEDTREELEAVES(SeedPath, b, Salt)
11 j ← 0
12 for i ← 0 to t-1 do
13   if (b[i] = 1) then
14     (Seedu', Seede') ← CSPRNG (Seed[i], {0,1}λ × {0,1}λ)
15     ζ' ← CSPRNG (Seede',  $\mathbb{F}_z^m$ )
16     η' ← CSPRNG (Seede',  $\mathbb{F}_z^n$ )
17     η' ← ζ' MG
18     for j ← 0 to n-1 do
19       e'[j] ← gη'[j]
20     end
21     u' ← CSPRNG (Seedu',  $\mathbb{F}_p^n$ )
22     yi ← u' + beta[i]e'
23   else
24     (yi, δi) ← rsp0[j]
25     verify δi ∈ G
26     σi ← δi MG
27     verify σi ∈ G
28     for j ← 0 to n-1 do
29       v[j] ← gσ[j]
30     end
31     y' ← v * yi
32     s̄ ← y' HT - beta[i]s
33     cmt0[i] ← HASH(s̄ || δi || Salt || i)
34     cmt0[i] ← HASH(s̄ || σi || Salt || i)
35     j ← j + 1
36   end
37 end
38 end

```

---

---



---

```

35
36  $d'_0 \leftarrow \text{RECOMPUTEMERKLEROOT}(cmt_0, \text{MerkleProofs}, b)$ 
37  $d'_b \leftarrow \text{HASH}(y_0 || \dots || y_{t-1})$ 
38
39 if  $(d_0 = d'_0 \text{ and } d_b = d'_b)$  then  $\square, \square$ 
    return True
40 end
41 return False
42 end

```

---

Figura 3.6: Primitiva Verify di CROSS SC

Per costruire un progetto valido e comprensibile c'è, inoltre, la necessità di avviare un notebook Sagemath a cui collegare un kernel Jupyter attraverso indirizzo IPv4. Una volta effettuata la connessione, bisogna caricare i file ed i moduli ausiliari (da includere nel codice principale .ipynb) sul server Jupyter. Infine, è sufficiente lanciare il codice per verificarne il corretto funzionamento.

La struttura del programma è la seguente:

- **CROSS e CROSS Single Commitment:** sono i file che fanno da riferimento, in maniera molto fedele agli schemi teorici, al codice principale;
- **parameters.json:** è una stringa di codice JSON contenente i parametri valorizzati in base agli studi condotti ed allo standard NIST;
- **CSPRNG:** è una cartella contenente tutti i file relativi alle funzioni CSPRNG impiegate, in questo caso le primitive crittografiche adoperate si basano su AES-CTR e SHAKE128, 256 (a seconda della categoria);
- **HASH:** è la cartella caratterizzante le funzioni hash crittografiche, nello specifico le versioni SHA3 256, 384 e 512 (dipendente nuovamente dalla categoria);
- **UTILS:** è la cartella più varia, in quanto contiene i riferimenti alle funzioni per la costruzione degli alberi (Seed e Merkle Tree), nonché le funzioni di utilità generica.

### 3.3.2 CROSS.ipynb

Per quanto riguarda il codice principale, in prima istanza vanno aggiunte le librerie per le inclusioni:

- **json**, per la lettura dei file, tra cui quello dei parametri;
- **os**, per includere comandi legati al sistema operativo, che permettono anche di implementare logiche TRNG;
- **pack & unpack**, per la gestione della firma in termini di scambio tra prover e verifier;
- **math**, in relazione ai campi finiti e le relative logiche di calcolo;
- **file**, per l'importazione di moduli e file esterni che aggiungano funzionalità al progetto.

Inizialmente si ha la sottosezione di configurazione, dove vengono recuperati i valori dei parametri dal file **parameters.json** e sono definite le categorie relative allo schema (problema R-SDP o R-SDPG, categoria delle variabili NIST 1 3 5 e livello di ottimizzazione FIRMA o TEMPO).

Le funzioni di utilità fondamentali non sono state incluse in un modulo esterno, in quanto sono immediate e vengono richiamate molteplici volte dentro le primitive; oltre al fatto che tale inclusione può essere sempre effettuata in un secondo momento. Questa procedura serve ad integrare le logiche TRNG e CSPRNG per i seed dello schema (nel dettaglio per la generazione e l'espansione); nonché le operazioni di addizione, sottrazione e moltiplicazione componente per componente su campi finiti e sui sottogruppi moltiplicativi. Infine, sono anche considerate e relizzate funzioni che implementano il prodotto vettore-matrice ed il controllo dell'appartenenza dei valori ad un certo insieme.<sup>1</sup>

### Primitiva: KeyGen

La primitiva di generazione delle chiavi integra le operazioni descritte nello schema teorico. Essa si concentra sulla generazione di  $\text{Seed}_{sk}$  e  $\text{Seed}_{pk}$ , rispettivamente attraverso l'espansione tramite TRNG e CSPRNG. A seconda della tipologia di problema, tra R-SDP ed R-SDP(G), avviene il calcolo della componente non sistematica  $\mathbf{V}$ , della matrice  $\mathbf{H}$ . Successivamente l'enfasi si sposta sulla generazione di  $\eta$ , i quali valori sono usati come esponenti del generatore  $g$ , al fine di popolare il vettore di errore ristretto  $\mathbf{e}$ . Si passa infine per il calcolo della sindrome  $\mathbf{s}$  mediante prodotto vettore-matrice, per concludere restituendo la coppia di chiavi  $\text{pri}$ ,  $\text{pub}$  generata.

### Primitiva: Sign

La primitiva di firma integra una prima parte relativa al ricalcolo delle strutture dati d'interesse, ossia  $\zeta$ ,  $\mathbf{H}$  e  $\mathbf{M}_G$  per R-SDP(G) e solamente  $\eta$  e  $\mathbf{H}$  per R-SDP. Il calcolo dei commitment si basa sulla generazione del Master Seed  $\text{MSeed}$ , a partire dal TRNG; conseguentemente con la funzione `SeedTreeLeaves`, che riceve in input  $\text{MSeed}$  ed il `Salt`, genera la lista di  $t$  seed  $\text{Seed}[0], \dots, \text{Seed}[t-1]$ . Segue lo sviluppo di un ciclo `for`, in entrambi i problemi, relativo alla creazione degli elementi  $i$ -esimi di  $\eta'$ ; inoltre, con una sottrazione componente per componente si ottengono i valori di  $\sigma'$ . Questi ultimi saranno gli esponenti del generatore  $g$ , necessari a comporre il vettore temporaneo  $v$ , che occorre per realizzare la moltiplicazione componente per componente finalizzata ad ottenere  $u$  e calcolare la sindrome  $\bar{\mathbf{s}}$ . Il ciclo si conclude con il calcolo degli elementi delle sequenze relative ai commitment  $\text{cmt}_0$  e  $\text{cmt}_1$ , mediante hash di: sindrome,  $\delta_i$  o  $\sigma_i$  a seconda del problema, `Salt` ed indice  $i$  di round.

Di seguito ci si concentra, con i dati ottenuti dal ciclo, sull'ottenimento dei digest per lo sviluppo delle challenge. Dai valori di  $\text{cmt}_0$ , usati come foglie, si realizza l'albero di Merkle, con radice  $\mathbf{d}_0$  ottenuta da hash consecutivi.  $\mathbf{d}_1$  è invece un digest ottenuto dall'hash dei valori di  $\text{cmt}_1$  concatenati. Un successivo hash di  $\mathbf{d}_0$  e  $\mathbf{d}_1$  congiunti consegna  $\mathbf{d}_{01}$ . Infine, l'ultimo digest cruciale è quello relativo all'hash del messaggio da firmare  $\mathbf{d}_m$ , al fine di ridurre il costo di comunicazione.

Il primo vettore di challenge  $\mathbf{beta}$  è ottenuto a partire dal digest  $\mathbf{d}_\beta$  (come hash di  $\mathbf{d}_m$ ,  $\mathbf{d}_{01}$  e del `Salt`), a valori in  $\mathbb{F}_q^*$ .

<sup>1</sup> Tutto il codice relativo alle due diverse implementazioni è consultabile nell'Appendice.

La generazione della prima risposta avviene mediante ricostruzione del nuovo vettore di errore ristretto  $e'$ , usando gli elementi di  $\eta'$  come esponenti del generatore  $g$ . Poi, mediante addizione componente per componente di  $\mathbf{u}'$  e del prodotto scalare  $\mathbf{beta}e'$  si ottengono le risposte in  $y$ .

Si passa all'estrazione della seconda challenge, a partire dal digest  $\mathbf{d}_b$  (come hash delle risposte concatenato a  $\mathbf{d}_\beta$ ) e il successivo calcolo del vettore di challenge  $\mathbf{b}$  da un CSPRNG binario a peso di Hamming  $w$  fissato, che riceve in input  $\mathbf{d}_b$  come seed.

Le seconde risposte  $\mathbf{rsp}_0$  ed  $\mathbf{rsp}_1$  sono relative ai  $t - w$  round nei quali  $\mathbf{b}$  assume valore zero. In primis ci si concentra sul calcolo della `MerkleProof`, necessaria al verifier per la ricostruzione di  $\mathbf{d}_0$ , mediante la funzione `MerkleProof` che riceve in input gli elementi di `cmt0` ed il vettore  $\mathbf{b}$ . Attraverso `MSeed` e  $\mathbf{b}$ , nella funzione `SeedTreePaths`, viene generato il `SeedPath`, per far sì che il verifier ricomponga la lista di seed. Infine, mediante ciclo for, si popolano le strutture  $\mathbf{rsp}_0$  ed  $\mathbf{rsp}_1$ , fondamentali per comporre la firma `Signature` la quale sarà caratterizzata da: `Salt`,  $\mathbf{d}_{01}$ ,  $\mathbf{d}_b$ , `MerkleProof`, `SeedPath`,  $\mathbf{rsp}_0$  ed  $\mathbf{rsp}_1$ .

### Primitiva: Verify

La primitiva di verifica si concentra (ricevendo in input la coppia pubblica `pub`, il messaggio da verificare `Msg` e la firma da controllare `Signature`), a seconda del problema, sulla ricostruzione della componente non sistematica  $\mathbf{V}$ , della matrice  $\mathbf{H}$ . Nel caso R-SDP( $G$ ), invece, c'è necessità di ricalcolare  $\mathbf{W}$  e  $\mathbf{M}_G$ . Il ricalcolo delle challenge si basa sulla ricostruzione dei digest  $\mathbf{d}_m$ ,  $\mathbf{d}_\beta$ ,  $\mathbf{beta}$  e  $\mathbf{b}$  della primitiva di generazione della firma.

Di seguito, mediante la funzione `RebuildSeedTreeLeaves` con input `SeedPath`,  $\mathbf{b}$  e `Salt`, si ricostruisce la lista dei seed `Seed[0], ..., Seed[t - 1]`.

Il ciclo for scandisce la casistica  $b[i] = 1$  da quella  $b[i] = 0$ . Nel primo caso si ricostruiscono gli elementi di `cmt1` e la coppia di seed `Seede'` ed `Seedu'` (per ricalcolare il vettore di prime risposte  $\mathbf{y}$ ). Il procedimento che ricalcola i valori di  $\eta'$  e li usa come esponenti di  $g$  è identico a quello della primitiva di firma. La differenza cruciale sta nel caso  $b[i] = 0$ , dove si fa riferimento alle sequenze  $\mathbf{rsp}_0$  ed  $\mathbf{rsp}_1$ , recuperandone gli elementi e verificandone l'appartenenza al sottogruppo  $G$ .

Segue il ricalcolo della sindrome  $\tilde{\mathbf{s}}$ , attraverso una sottrazione componente per componente, la quale comprende l'uso del vettore di risposte  $\mathbf{y}'$  (ottenuto dal prodotto componente per componente tra il vettore temporaneo  $\mathbf{v}$  e le risposte già note  $\mathbf{y}_i$ ), la matrice  $\mathbf{H}$ , il vettore di challenge  $\mathbf{beta}$  e la sindrome pubblica  $\mathbf{s}$ . Successivamente, si ricalcolano gli elementi di `cmt0`, i quali sono recuperabili mediante hash di: sindrome  $\tilde{\mathbf{s}}$ ,  $\delta_i$  o  $\sigma_i$  a seconda del problema, `Salt` ed indice  $i$ ; poi si recuperano da  $\mathbf{rsp}_1$  gli elementi di `cmt1`.

Conseguentemente, è possibile riottenere il digest  $\mathbf{d}'_0$  attraverso la funzione `RecomputeMerkleRoot` che riceve come input `cmt0`, `MerkleProof` e  $\mathbf{b}$ . Eseguendo un hash degli elementi di `cmt1` si ottiene il digest  $\mathbf{d}'_1$ ; inoltre, il successivo hash produrrà  $\mathbf{d}'_{01}$ . Componendo un ulteriore hash delle risposte  $\mathbf{y}$  concatenate con  $\mathbf{d}_\beta$  si ottiene  $\mathbf{d}'_b$ .

Infine, il controllo avviene su  $\mathbf{d}_{01} = \mathbf{d}'_{01}$  e su  $\mathbf{d}_b = \mathbf{d}'_b$ . Se entrambe le verifiche sono positive, allora l'algoritmo restituisce `True` e dunque la firma è autentica. Nel caso opposto, invece, la firma è compromessa e non valida.

### Differenze tra CROSS e CROSS\_ONE

Nel caso della versione ad un singolo commitment sia noto, come già affermato, che molte operazioni si mantengono identiche, mentre altre subiscono delle modifiche che sono sostan-

ziali non tanto in termini di struttura ma di risultati ottenuti (sia velocità sia dimensione della firma). La primitiva di generazione della coppia di chiavi è identica e produce ancora la coppia `pub, pri`.

Nella primitiva di generazione della firma si evita l'hash che produce `cmt1`, nonché il calcolo del digest `d1` e di `d01`. Il digest per la generazione di `beta` utilizza `d0` al posto di `d01`. Infine, non si costruisce la struttura dati `rsp1` che è completamente omessa, garantendo velocizzazione dell'algoritmo e riduzione della dimensione della firma.

La primitiva di verifica ricalcola alla stessa maniera i digest d'interesse, evita il ricalcolo di `cmt1` mediante hash e recuperando i valori da `rsp1`. Ovviamente non si compone mediante hash `d'1` e tanto meno `d'01`. Il controllo finale avviene sempre su una coppia, ma questa volta risulta essere `d0 = d'0` e `db = d'b`, per verificare se la firma è valida o meno.

### 3.3.3 CSPRGN

Il modulo esterno relativo ai CSPRNG, integrati direttamente nel file principale mediante importazione, contiene tutte le funzioni relative alle primitive crittografiche di generazione di numeri casuali. La libreria a cui si fa riferimento è `pycryptodome`, che fornisce classi preconfigurate relative alle primitive. Vengono istanziate le funzioni relative ad AES-CTR ed alle versioni SHAKE128, 256. Di quest'ultime, sono state implementate versioni che generano sequenze di numeri in un sottogruppo moltiplicativo, ossia in assenza di zero, o alternative che producono stringhe casuali binaria a peso di Hamming fissato.

### 3.3.4 HASH

Nel modulo relativo alle funzioni HASH sono integrate le informazioni di `pycryptodome` relative a questa tipologia di primitiva. Nel progetto si è fatto riferimento solamente alle tre versioni di SHA3 256, 384 e 512, a seconda della categoria di riferimento del NIST.

### 3.3.5 UTILS

Risulta il modulo maggiormente popolato in quanto contiene i file relativi alla costruzione e manipolazione degli alberi (Seed e Merkle), nonché funzioni di utilità generiche secondarie.

#### `merkle.py`

Questo file contiene le funzioni per lo sviluppo dell'albero di Merkle, a partire dai  $t$  commitment `cmt[0], \dots, cmt[t - 1]` come foglie. La funzione costruisce l'albero come una lista di liste, dove ogni lista rappresenta un livello della struttura ed il singolo elemento è un nodo. Inizialmente vengono lette le foglie a coppie e viene eseguito l'hash; il risultato dell'operazione viene salvato nella casella relativa al padre della lista del livello più alto. Il tutto viene ripercorso attraverso ciclo fintanto che ci sono coppie da considerare. Nel caso in cui il numero di elementi da considerare è dispari, l'ultimo di essi viene semplicemente copiato al livello successivo. Ciò che si ottiene al termine della funzione è una struttura dati albero completa come lista di liste ed un singolo elemento `d0` che rappresenta la radice dell'albero di Merkle. All'interno della funzione sono anche presenti micro estensioni che permettono, ad esempio, di contare i nodi ad ogni livello per verificare la coerenza strutturale.

La seconda funzione di interesse cruciale è quella che realizza la prove di Merkle per i nodi che il verifier deve ricostruire. Questa funzione elabora, sulla base del vettore di challenge  $b$  i nodi che non vengono passati durante l'esecuzione del protocollo; ragione per la quale, al fine di garantire uno schema corretto, c'è necessità di fornire all'entità che verifica, una struttura dati che contiene tutti questi nodi. La funzione analizza a coppie i nodi di ogni livello (a partire dalle foglie) e verifica, sulla base di una struttura dati temporanea artificiosa, che i due nodi non abbiano valore associato pari a 1 o che abbiano due valori opposti. Il livello delle foglie della nuova struttura viene valorizzato sulla base dei valori del vettore  $b$  all'opposto (il valore di 1 con 0 e viceversa); a partire da ciò, se due nodi in coppia hanno entrambi valore 1 allora il valore del padre sarà impostato ad 1. Dal momento in cui una coppia ha valore discordante, si imposta il valore del padre da 1 e si inserisce nella prova di Merkle il nodo associato al figlio con valore 1. Nel caso in cui una coppia manifesti entrambi i valori nulli, si passa alla coppia successiva. La radice non viene mai raggiunta, in quanto non avrebbe senso costruire una struttura nella quale viene salvato il dato da ricostruire in fase di verifica; dunque, esso viene impostato a 0. La struttura dati comprendente i nodi di interesse che non saranno ricomposti viene prodotta in output e sarà integrata alla **Signature**.

Infine, l'ultima funzione d'interesse realizza la ricostruzione dell'albero di Merkle, durante la fase di verifica. Essa fa riferimento ai commitment  $\text{cmt}[i]$ , per i round in cui  $b = 1$ , ed i restanti nodi di interesse dentro la struttura **MerkleProof**. Mediante interfacciamento a queste due macro componenti, la funzione ricostruisce (recuperando coerentemente i dati mancanti dalla Proof) l'albero di Merkle e garantisce l'ottenimento della radice di Merkle ricalcolata. Mediante logica basata su contatori, viene letto l'albero (e quindi i nodi) ed ogni volta che la coppia appoggiata ad una struttura dati provvisoria artificiosa a valori binari ha delle caratteristiche specifiche, allora viene ricalcolato l'albero. Se la coppia di nodi ha entrambi valori 1, allora vuol dire che il verifier li possiede già entrambi, ragione per la quale può ricalcolare il valore del padre facilmente mediante hash. Nel caso in cui uno dei due valori della coppia è 0, c'è la necessità di recuperare quello nodo dalla prova, per effettuare poi l'hash dei valori. Il tutto avviene iterativamente fino a ricomporre la radice dell'albero.

### **seed\_tree.py**

Questo file contiene invece tutte le funzioni relative all'albero di seed. In primis la funzione che costruisce i  $t$  seed a partire dal **MSeed** e dal **Salt** come radice. La logica è opposta a quella dell'albero di Merkle, in quanto si ragiona top-down, a differenza del precedente bottom-up. A partire dalla radice, si realizza una logica basata su CSPRNG che consegna un albero di seed come lista di liste. Ogni nodo padre genera i figli mediante espansione CSPRNG di  $2\lambda$  bit, separati poi nella metà sinistra e quella destra (a  $\lambda$  bit ciascuno). Il tutto viene realizzato fino a che non si ottiene una struttura che all'ultimo livello, ossia quello delle foglie, non ha  $t$  nodi popolati, che saranno poi utilizzati per le operazioni successive.

La funzione che costruisce la struttura **SeedPath** serve, analogamente al caso di Merkle, a comporre una sequenza per i dati che non possono essere ricalcolati dal verifier e dunque c'è la necessità di integrarli nella **Signature**. Si fa sempre riferimento al secondo vettore di challenge  $b$  che detta le condizioni per le quali un dato è da salvare o meno. Viene implementata una struttura dati ausiliaria che lavora in maniera complementare a quella realizzata per Merkle, leggendo l'albero nell'ordine opposto. Seguendo le medesime considerazioni sulle coppie di nodi, relazionando questa volta i nodi padre ai figli e non viceversa, si riesce a popolare questa lista di elementi.



L'ultima funzione, invece, è necessaria a ricalcolare i Seed di round, che occorrono al verifier per le operazioni di composizione della sindrome e delle risposte. Questa logica parte dalla struttura `SeedPath`, dal secondo vettore di challenge  $b$  e dal numero di round  $t$ . Alla base di ciò ripopola la struttura dati artificiale vista precedentemente e recupera, con logica complementare a quella usata in Merkle, i Seed relativi ai round del protocollo.

#### **utils.py**

Questo file contiene invece tutte le funzionalità per creare e definire matrici casuali, generatori per il problema, l'inizializzazione di alcune strutture dati; nonché alcune operazioni nei campi finiti e la misurazione del peso delle strutture dati di interesse.



## Profilazione del codice e risultati

*Nel seguente capitolo l'attenzione sarà rivolta verso l'analisi del codice  $C$  relativo allo schema CROSS, caratterizzata dal confronto tra le versioni, lo studio dei parametri e la profilazione. Successivamente seguirà l'esposizione dei risultati ottenuti, al fine di mostrare i vantaggi e le eventuali criticità legate alla proposta di modifica.*

### 4.1 Analisi parametrica

In primo luogo l'attenzione viene focalizzata sull'analisi dei parametri, ricercando nuove possibili istanze per la proposta di modifica. Bisogna inoltre tenere conto del fatto che, tra le due versioni di CROSS, potrebbero presentarsi alternative potenzialmente simili, come altre diametralmente opposte.

Questo processo di ricerca è reso possibile attraverso l'impiego di script Python, appositamente realizzati per esplorare il campo dei possibili valori. In questo modo, quindi, saranno evidenziate alcune istanze che risultano particolarmente interessanti (attraverso specifiche funzioni di ottimo).

L'analisi parametrica è di cruciale importanza per comprendere i concetti di ottimizzazione ed efficienza dello schema. I principali dati caratterizzanti dello schema vengono recuperati per completezza:

- **n**, la lunghezza del codice lineare;
- **k**, la dimensione del codice;
- **q**, lo spazio dei valori della prima challenge;
- **t**, il numero di round o il numero di esecuzioni parallele (volte a garantire sicurezza EUF-CMA);
- **w**, il peso fissato di Hamming per la seconda challenge, a valori binari;
- **m**, il parametro relativo al numero di generatori **a** del problema ristretto, nel sottogruppo  $G$ ;
- $\lambda$ , il parametro di sicurezza dello schema;
- **seed length**, il numero in byte delle principali strutture dello schema, tra cui seed e digest.

L'obiettivo è quello di rilevare, sulla base dei parametri fissati mediante ipotesi, valori differenti che offrano (se possibile) migliori in termini di prestazioni. Il risultato atteso è quello

di offrire, con la proposta di modifica e con le analisi condotte, possibilità di miglioramento in termini di dimensione della firma e velocità d'esecuzione.

Per quanto riguarda un'ulteriore caratterizzazione dei parametri d'interesse, sono identificate tre discriminanti nel protocollo relative ai seguenti ambiti:

- **Versione del problema**, R-SDP o R-SDP(G);
- **Categoria delle variabili basate sul NIST**, 1, 3 o 5;
- **Ottimizzazione dello schema**, dimensione della firma (SIG\_SIZE) o velocità di esecuzione (SPEED).

#### 4.1.1 Script per i parametri

L'hardware sul quale sono state lanciate le versioni di CROSS è stato uniforme e caratterizzato dalle seguenti componenti d'interesse:

- Processore, **i7-10700K**;
- RAM, **32GB DDR4**;
- Memoria, **SSD 1TB**.

Lo script e le relative funzioni sono indirizzate verso l'analisi dello spazio dei possibili valori per determinati parametri d'interesse. Specificando, nella chiamata a terminale, il file desiderato di destinazione dell'output, ciò che si ottiene è un file .csv contenente una lista di possibili istanze.

Nel caso specifico, i parametri sui quali si focalizza l'ottimizzazione sono il numero di round  $t$  ed il peso di Hamming  $w$  della seconda challenge. La ragione legata alla scelta è basata sulla loro crucialità, ossia l'impatto che essi hanno sulle prestazioni dello schema, rispetto ai restanti. Una spiegazione intuitiva a questo fenomeno è identificabile dal fatto che tali grandezze definiscono il numero di esecuzioni parallele del protocollo da realizzare, nonché la manipolazione dei dati scambiati nel protocollo.

Sulla base delle analisi teoriche condotte nei capitoli precedenti, è già noto come i migliori valori di  $w$  siano quelli relativamente vicini a  $t$  i quali, variando, influenzano l'interesse del protocollo.

Gli algoritmi di analisi, in termini pratici, si caratterizzano in due script Python:

- **CROSS\_fixed\_weight\_finder\_trange.py**, il quale ha l'obiettivo di scandagliare uno o più intervalli di  $t$  (tra un massimo ed un minimo definiti), al fine di rilevare una coppia  $(t, w)$  valida in termini di dimensione della firma e velocità di esecuzione;
- **CROSS\_code\_round\_parameters\_combiner.py**, il quale effettua un accoppiamento adeguato della coppia rilevata precedentemente, rispetto ai restanti parametri fissati.

Dunque, la coppia di script garantisce di rilevare, a seconda delle specifiche ed al termine dell'esecuzione, istanze valide che permettano un'esecuzione molto efficiente di CROSS.

#### **CROSS\_fixed\_weight\_finder\_trange.py**

Nel dettaglio, questo script è caratterizzato inizialmente dall'importazione delle librerie necessarie al funzionamento, tra cui le estensioni: per gestire file CSV, per l'esecuzione multi-processore in parallelo e per la definizione del numero di core disponibili al processamento parallelo. Le funzioni dello script sono le seguenti:

- **find\_number\_of\_random\_chall\_rounds(sec\_parameter, q)**, ha l'obiettivo di calcolare il numero equivalente di round per raggiungere una certa sicurezza specificata rispetto agli attacchi d'interesse;
- **soundness\_error\_2(param\_list)**, effettua i calcoli relativi all'errore di soundness (ampiamente discussi nella sezione teorica);
- **\_\_main\_\_**, il quale verifica che il livello di sicurezza fornito è valido; successivamente, fornendo il file .CSV di destinazione assieme alla lista di parametri da ottimizzare (comprensivi dell'intervallo di  $t$ ), viene richiamata la funzione **find\_fixed\_weight\_options**;
- **find\_fixed\_weight\_options**, è il cuore del processo di ottimizzazione, il quale itera sull'intervallo  $t$  alla ricerca dei parametri ottimali (passando per la funzione **soundness\_error\_2**); inoltre, nei suoi calcoli, tiene conto dei valori di peso e dell'uso degli alberi di Merkle/Seed.

### CROSS\_code\_round\_parameters\_combiner.py

Il secondo script è caratterizzato dall'analisi, in termini di dimensione delle chiavi e della firma, del protocollo CROSS, in relazione alle versioni del problema.

Inizialmente, vi è l'importazione delle librerie matematiche e di lettura dei file CSV. In seguito, le funzioni cruciali risultano essere:

- **worst\_case\_tree\_nodes(num\_rounds\_t, seeds\_to\_hide)**, che calcola il numero massimo di nodi per un albero di Merkle, considerando una sfida a peso costante (quindi con determinati seed nascosti);
- **bitpacked\_vector\_size\_B(vect\_len, max\_to\_repr)**, che calcola la dimensione in byte di un vettore contenente elementi d'interesse;
- **public\_key\_size\_B(n, k, q, prng\_seed\_size)**, calcola la dimensione della chiave pubblica in byte;
- **private\_key\_size\_B(n, k, q, prng\_seed\_size)**, calcola la dimensione della chiave privata in byte;
- **signature\_size\_B(q, z, n, t, m, seeds\_to\_hide, prng\_seed\_size\_b, hash\_digest\_size\_b)**, calcola la dimensione della firma digitale in byte;
- **\_\_main\_\_**, come funzione che legge i parametri d'interesse dai due file di riferimento (l'output del precedente script ed un altro file preimpostato). Successivamente, vengono calcolate le dimensioni relative alle chiavi ed alle firme, per tutte le combinazioni di parametri. Infine, vengono memorizzati su un nuovo file di output i valori adeguati risultanti l'esecuzione.

### 4.1.2 Valori Parametrici per CROSS

Di seguito sono mostrati i risultati relativi all'esecuzione dei due script, sulla base di un set di parametri predefinito a seconda della categoria del NIST. Nello specifico, il set da ottimizzare è il seguente:

Parametri Base		
CAT_1	CAT_3	CAT_5
$[\lambda, q, n, z, m, t_{low}, t_{high}]$	$[\lambda, q, n, z, m, t_{low}, t_{high}]$	$[\lambda, q, n, z, m, t_{low}, t_{high}]$
[128, 509, 42, 127, 24, 230, 1000]	[256, 509, 63, 127, 36, 230, 1000]	[512, 509, 87, 127, 48, 230, 1000]

Tabella 4.1: Set di parametri degli script

I risultati derivanti dall'esecuzione del primo script, sulla base delle tre categorie del NIST, offrono i seguenti valori, i quali sono stati utilizzati per studiare l'andamento della versione originale di CROSS (Tab. 4.2):

R-SDP		
$q = 127$	$z = 7$	$g = 2$
CAT_1	CAT_3	CAT_5
seed_len = 16	seed_len = 24	seed_len = 32
$n = 127$	$n = 187$	$n = 251$
$k = 76$	$k = 111$	$k = 150$
SIG_SIZE		
$t = 871$	$t = 1024$	$t = 1024$
$w = 848$	$w = 987$	$w = 968$
SPEED		
$t = 256$	$t = 256$	$t = 512$
$w = 216$	$w = 160$	$w = 432$
R-SDP(G)		
$q = 509$	$z = 127$	$g = 16$
CAT_1	CAT_3	CAT_5
seed_len = 16	seed_len = 24	seed_len = 32
$n = 42$	$n = 63$	$n = 87$
$k = 23$	$k = 35$	$k = 47$
$m = 24$	$m = 36$	$m = 48$
SIG_SIZE		
$t = 871$	$t = 949$	$t = 949$
$w = 850$	$w = 914$	$w = 897$
SPEED		
$t = 243$	$t = 255$	$t = 356$
$w = 206$	$w = 176$	$w = 257$

Tabella 4.2: Parametri attuali di CROSS

### 4.1.3 Valori Parametrici per CROSS SC

Dopo aver focalizzato l'attenzione sulla versione classica di CROSS, l'enfasi è stata posta sull'analisi e l'ottimizzazione dei parametri per CROSS Single Commitment. Dunque, è stato necessario intervenire per modificare le componenti dello script relative alla caratterizzazione della firma digitale (la quale manca del vettore  $\mathbf{rsp}_1$ ) e, conseguentemente, dello schema. Quest'ultimo non dovrà più generare il vettore di commitment  $\mathbf{cmt}_1$ , né tantomeno effettuare l'hash per ottenere il digest  $d_1$ .

Tenendo in considerazione queste modifiche, che interessano prevalentemente lo script `CROSS_code_round_parameters_combiner.py` (nella funzione `signature_size_B(q, z, n, t, m, seeds_to_hide, prng_seed_size_b, hash_digest_size_b)`), è valutare possibili nuovi set di parametri per CROSS Single Commitment.

La funzione che ha senso mostrare, in relazione alle differenze tra le versioni, è quella che concerne la firma digitale. Essa semplicemente integra e definisce tutte le componenti d'interesse; inoltre, pone l'attenzione sugli aspetti critici del protocollo, per i quali si ottengono istanze valide.

```

1 def signature_size_B(q,z,n,t,m,seeds_to_hide,prng_seed_size_b,
2   hash_digest_size_b):
3     # salt + d_01 + d_b
4     cost = prng_seed_size_b/8 + 2*hash_digest_size_b/8
5
6     # Seed tree cost where t-w (b=1) seeds are revealed, w are
7     # not (b=0)
8     cost += (prng_seed_size_b * worst_case_tree_nodes(t,
9     seeds_to_hide))/8
10    # Cost of revealing the missing w = seeds_to_hide commitment
11    # hashes
12    cost += (hash_digest_size_b * worst_case_tree_nodes(t,
13    seeds_to_hide))/8 # Merkle tree non revealed
14    cost += (seeds_to_hide * hash_digest_size_b)/8 # random
15    # reveals leaves as raw hashes
16    if (m == 0): # RSDP case
17        cost += seeds_to_hide * (bitpacked_vector_size_B(n,q-1)+
18        bitpacked_vector_size_B(n,z-1)) # size of actual
19        # reveals (y,sigma)
20    else :
21        cost += seeds_to_hide * (bitpacked_vector_size_B(n,q-1)+
22        bitpacked_vector_size_B(m,z-1)) # size of actual
23        # reveals (y,sigma)
24    return cost

```

Listato 4.1: Codice relativo al calcolo della firma in CROSS CS

Per quanto riguarda i risultati che sono stati evidenziati rispetto alla versione classica (prendendo in considerazione, per semplicità, solamente il caso R-SDP(G)), le istanze più interessanti che sono state ottenute a seguito dell'esecuzione degli algoritmi, sono le seguenti:

<b>R-SDP(G)</b>		
$q = 509$	$z = 127$	$g = 16$
<b>CAT_1</b>		
seed_len = 16		
$n = 42$	$k = 23$	$m = 24$
<b>SIG_SIZE</b>		
$t = 1026$	$w = 1006$	$t - w = 20$
<b>SPEED</b>		
$t = 225$	$w = 186$	$t - w = 39$

Tabella 4.3: Parametri Alternativi per CROSS Single Commitment

Prima di passare alla profilazione vera e propria del codice, impiegando i parametri precedentemente identificati, è necessario discutere su come quest'ultimi possano influenzare gli aspetti di ottimizzazione sui quali si è focalizzata l'attenzione. Per quanto concerne il tempo d'esecuzione, si cerca una combinazione di valori  $t$  e  $w$  piccola, dove il peso di Hamming deve essere abbastanza vicino al numero di round; così facendo, la maggior parte delle esecuzioni saranno caratterizzate da  $b = 1$  e la quantità di dati scambiati sarà ridotta. L'istanza alternativa a quella classica, per la versione di CROSS Single Commitment, ha valori che non si discostano molto dai precedenti per le ragioni descritte precedentemente. D'altra parte, se avessimo un  $t$  grande, il conseguente algoritmo risulterebbe pesante dal punto di vista computazionale; se si lavorasse invece con un  $w$  piccolo, si avrebbero molte esecuzioni con costo elevato nello scambio di informazione.

Nel contesto relativo alla riduzione della dimensione della firma, l'interesse si pone sulla differenza  $t - w$ , ma con una differente chiave di lettura. C'è bisogno che  $t$  sia abbastanza grande da garantire allo schema di elaborare efficientemente la firma e, allo stesso tempo, che tale differenza sia più piccola possibile entro un certo limite di sicurezza, per offrire una marcatura compatta e robusta.

Dunque, sulla base di quanto è stato osservato e proposto, sarà necessario confrontare le nuove istanze rilevate rispetto alla nuova versione, tenendo conto del fatto di valutare anche l'algoritmo a parità di parametri. In questo modo, sarà possibile confrontare e valutare se questo adattamento consegna migliorie relative agli aspetti d'interesse evidenziati, oppure non raggiunge un risultato sperato, a causa di una non conformità nelle scelte fatte (tenendo in considerazione che la modifica proposta non rivoluziona totalmente lo schema, ma riduce le operazioni ed i calcoli eseguiti).<sup>1</sup>

## 4.2 Profilazione degli schemi

L'ultimo argomento trattato concerne l'analisi delle prestazioni relative alle implementazioni di basso livello (codice C). Si farà riferimento al progetto realizzato in [10], il quale rappresenta una base solida sulla quale si è appoggiato lo studio condotto, nonché il successivo

<sup>1</sup> Il codice completo relativo agli script di ottimizzazione è allegato in Appendice.



sviluppo in Python. Modificando le operazioni per introdurre la modifica, si ottengono due versioni che, se confrontate tra loro, risulta come abbiano una struttura molto simile ma vengano ridotte le operazioni. Un futuro sviluppo potrà invece riguardare la realizzazione delle versioni ottimizzate in linguaggio C, con l'impiego di logiche AVX AVX2. L'obiettivo è quello di valutare il comportamento e l'efficienza del codice relativo alla versione classica di CROSS e monitorare come le modifiche effettuate abbiano portato a migliorie o peggioramenti, per poi considerare le nuove istanze parametriche.

L'iter di sviluppo di CROSS (parallelo agli studi condotti in questo lavoro di tesi) ha portato, a partire dalla versione originale che è stata considerata, ad una versione aggiornata di CROSS a due commitment, nella quale sono state ridotte sensibilmente le chiamate ai CSPRNG e le cui prestazioni saranno discusse in seguito. Successivamente, gli studi hanno fatto emergere la possibilità di lavorare ad un'alternativa a singolo commitment al fine di valutare, al variare dei parametri, l'efficienza della nuova versione rispetto alle precedenti; avendo, dunque, a disposizione tre alternative da studiare.

Per la profilazione sono state prese in considerazione tutte le alternative di CROSS, concentrando l'interesse sul problema R-SDP(G), con categoria di variabili CAT\_1, in entrambe le ottimizzazioni SIG\_SIZE e SPEED.

### 4.2.1 Struttura del progetto C

Più nel dettaglio, la struttura del progetto si divide nelle seguenti directory:

- **Reference Implementation**, contenente tutti i file .c ed i relativi header .h, specifici dell'implementazione classica, anche nota come Proof of Concept;
- **Optimized Implementation**, contenente invece la versione ottimizzata con logica AVX, AVX2, al fine di garantire una versione ad elevate prestazioni (che non è stata presa in analisi per questo lavoro);
- **Additional Implementation**, contenente le logiche di compilazione delle varie versioni del codice, divise per Known Answer Tests e Benchmarking;
- **Supporting Implementation**, con i dati relativi alle proprietà intellettuali;
- **CMake**, sottocartella dell'Additional, contenente tutte le informazioni di compilazione, di debug e di profilazione.

Le componenti di maggior interesse sono quelle relative all'implementazione di riferimento, congiuntamente alle specifiche addizionali per testare le versioni.

### 4.2.2 Profilazione Gprof

Tale struttura di progetto garantisce una configurazione basata su determinate specifiche. Ogni volta che, attraverso i comandi descritti nel README si svolge la compilazione dei KAT o del Benchmarking, vengono prodotti tutti gli eseguibili relativi alle possibili combinazioni di:

- **R-SDP** o **R-SDP(G)**;
- **CAT\_1**, **CAT\_3** e **CAT\_5**;
- **SIG\_SPEED** o **SPEED**.

Ne derivano, dunque, dodici eseguibili .ELF sui quali è possibile lavorare. Oltre a ciò, è necessario sottolineare una caratterizzazione del file CMakeLists, nel quale è stato possibile modificare una riga di codice per poter definire: il grado di ottimizzazione del codice basato sulla macchina (01 grado minimo 02 grado intermedio e 03 grado massimo), l'inserimento di dati di debug negli eseguibili (g0 per non includere, g per includerli) e l'impostazione per creare informazioni per la profilazione del codice mediante il software Gprof (attraverso il comando pg).

```
1 set(CMAKE_C_FLAGS "${CMAKE_C_FLAGS}-Wall-pedantic-Wuninitialized-
    march=native-03-g0-pg")
```

Listato 4.2: Codice C per la configurazione delle specifiche di compilazione

In seguito alla compilazione, è sufficiente eseguire i singoli file, per generare un output composto da:

- **File d'esecuzione**, relativi ai dati forniti in input allo schema ed i dati prodotti dall'esecuzione effettiva, come la firma digitale ed i seed;
- **gmon.out**, contenente i dati di profilazione in formato acerbo.

Mediante un comando specifico è possibile convertire i file di profilazione gmon in un formato .txt di facile interpretazione e lettura.

```
1 gprof nome_eseguibile gmon.out > report.txt
```

Listato 4.3: Codice Shell Linux per la conversione dei file di profilazione

In questa maniera è possibile analizzare i risultati ottenuti in maniera chiara. Da ciò è stato possibile realizzare grafici immediati per valutare quanto fatto.

Nel dettaglio della profilazione saranno investigate le misure ed i valori che, tenendo conto della rilevanza statistica, danno informazioni sul valore della modifica proposta. Si terrà conto principalmente di: dimensione della firma, dimensione delle chiavi ed il tempo d'esecuzione delle fasi dello schema.

### 4.2.3 Script per il Benchmarking

Mediante uno script realizzato nel progetto CROSS in linguaggio C, sarà possibile monitorare gli aspetti d'interesse sopracitati, utilizzando i cicli come unità di misura del tempo d'esecuzione (in valor medio e deviazione standard) ed i byte per le sequenze di dati d'interesse. Attraverso l'uso dei cicli si ottiene il primario vantaggio di trascurare, in parte, l'hardware sul quali si eseguono le analisi; difatto, nota la frequenza di clock del processore utilizzato, questa logica consente una sorta di normalizzazione della misura. Nel dettaglio, l'algoritmo considera il tempo d'esecuzione relativo alle primitive di: generazione delle chiavi, firma e verifica. Dunque si hanno informazioni complete sulla versione, basandosi su un numero medio di esecuzioni che dia rilevanza statistica.

## 4.3 Risultati e Confronti

Le analisi sono state condotte sulla versione R-SDP(G) con CAT.1 del NIST, relativamente ai valori dei parametri utilizzati, considerando le due ottimizzazioni basate sulla dimensione della firma SIG\_SIZE e sulla velocità SPEED. Per garantire una significatività statistica dei risultati, è stata valutata una media di mille esecuzioni del medesimo algoritmo.

### Prestazioni di CROSS

La versione originale di CROSS, basata su una logica a due commitment (con istanza SPEED  $t = 243$ ,  $w = 206$  e SIG\_SIZE  $t = 871$ ,  $w = 850$ ), ha le seguenti caratteristiche e prestazioni:

Parametri ( $q, z, n, k, m$ )	Versione	Sign.Size (kB)	KeyGen	Sign	Verify
			MCycles	MCycles	MCycles
509, 127, 42, 23, 24	SPEED	8.665	0.03	3.08	2.11
	SIG_SIZE	7.625	0.03	11.04	7.81

Figura 4.1: Tabella relativa al tempo d'esecuzione di CROSS

Ciò che si aspetta di ottenere con la nuova versione, sulla base delle modifiche effettuate, è una riduzione importante relativa alla dimensione della firma e una che concerne il tempo d'esecuzione relativo alle primitive dell'algoritmo.

### Prestazioni di CROSS Single Commitment

Mantenendo inizialmente gli stessi parametri della versione originale, i valori ottenuti dal benchmark della nuova versione sono i seguenti: Di conseguenza, il miglioramento è osser-

Parametri ( $q, z, n, k, m$ )	Versione	Sign.Size (kB)	KeyGen	Sign	Verify
			MCycles	MCycles	MCycles
509, 127, 42, 23, 24	SPEED	7.497	0.07	2.10	1.43
	SIG_SIZE	6.969	0.05	7.71	5.47

Figura 4.2: Tabella relativa alle prestazioni di CROSS SC a parametri invariati

vabile in entrambe le direzioni, in quanto, si ha una firma ridotta di circa 1.168kB per la versione SPEED ed una riduzione di 0.656kB per SIG\_SIZE. Allo stesso modo, si ha un'oggettiva miglioria anche relativamente al tempo d'esecuzione. C'è un minimo peggioramento riguardo alla generazione della firma, giustificabile dai piccoli valori in gioco che la rendono una variazione trascurabile; d'altra parte sia la primitiva di firma sia di verifica, in entrambe le configurazioni, vengono ridotte di molto. In SPEED, si passa da una fase di firma a 3.08 MCycles ad una a 2.10 MCycles, mentre la verifica decresce da 2.11 ad 1.43 MCycles. Per SIG\_SIZE il miglioramento nella firma va da 11.04 a 7.71 MCycles e per la verifica da 7.81 a 5.47 MCycles.

Come si può intuire, laddove il tempo d'esecuzione è minore generalmente, le migliorie sono minori appunto perchè c'è l'avvicinamento verso un valore sempre più ottimale. Nella SIG\_SIZE le riduzioni di tempo sono molto più sensibili rispetto a quelle della SPEED per questa ragione.

### Osservazione Parametrica

Quindi, mantenendo fissi i parametri, si ottengono oggettive migliorie negli ambiti di interesse, che risultano anche come i principali colli di bottiglia dello schema (dimensione della firma e tempo d'esecuzione).

Successivamente, è stata testata la nuova proposta CROSS rispetto alle nuove istanze parametriche, rilevate attraverso gli script Python. Ciò che è stato identificato è come queste nuove alternative garantiscano migliorie negli aspetti d'interesse, ma includano anche peggioramenti importanti sul restante contesto; per esempio, la nuova istanza per SPEED offre una diminuzione del tempo d'esecuzione per le primitive dello schema, ma d'altra parte peggiora abbastanza la dimensione della firma. Con una logica simile, la versione SIG\_SIZE, mediante i nuovi parametri, consegna una firma di dimensione ridotta ma con tempi d'esecuzione più lunghi.

Di conseguenza, è possibile concludere, come non valga la pena impiegare queste nuove configurazioni allo schema in quanto, mantenendo i medesimi della versione originale, si ottengono migliorie valide e sensibili che sono sufficienti per il nostro studio.

#### 4.3.1 Confronti con lo stato dell'arte

Dunque, il primis ci si concentra sul confronto diretto tra le due versioni di CROSS, relativamente agli aspetti più interessanti. La dimensione della coppia di chiavi (privata e pubblica) si mantiene identica in entrambe, in quanto non vi sono modifiche che interessano tale fase del protocollo. D'altra parte, l'eliminazione del secondo commitment, con tutte le relative conseguenze, conduce ad una diminuzione della dimensione della firma (in media) del 8,6% per SIG\_SIZE e del 13,5% per SPEED. Il tempo d'esecuzione complessivo, che dunque comprende le tre fasi di generazione chiavi, firma e verifica, subisce una riduzione del 29,9% per SIG\_SIZE e del 31,03% per SPEED. Risultati che quindi mostrano, su una media di mille esecuzioni, un valore effettivo della proposta rispetto alla precedente.

Il confronto, sia sul tempo d'esecuzione delle singole fasi dell'algoritmo e sia nel complesso, mostrano un miglioramento netto nelle prestazioni di CROSS adottando la versione ad un commitment.

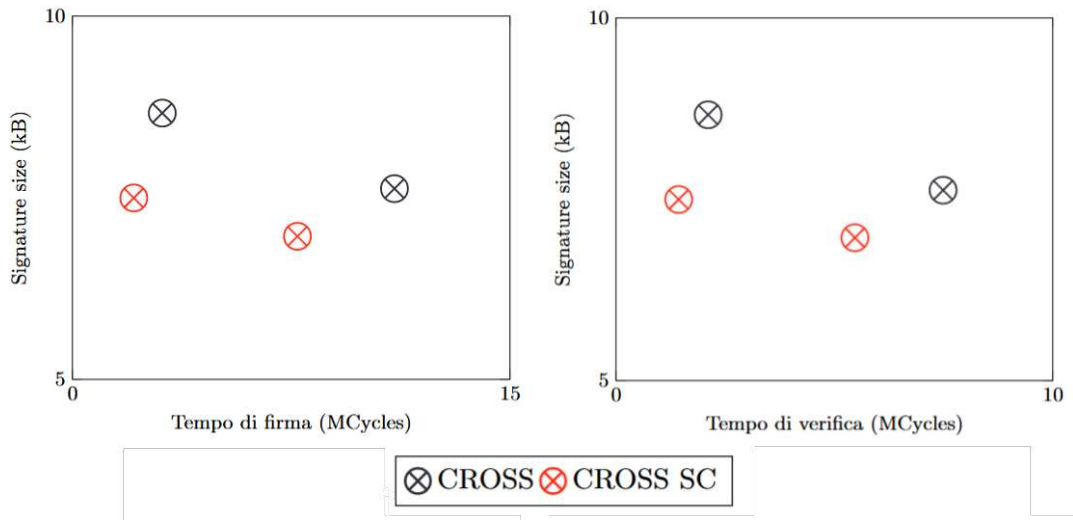


Figura 4.3: Confronto tra le versioni di CROSS basato su firma e tempo d’esecuzione delle fasi

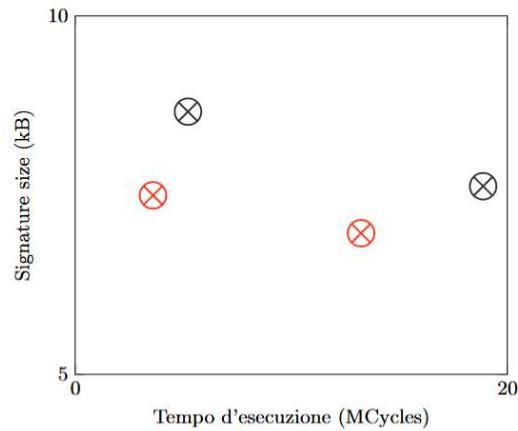


Figura 4.4: Confronto tra le versioni di CROSS basato su firma e tempo d’esecuzione complessivo

**Confronto con schemi di firma basati su codici**

Per quanto concerne, invece, il panorama complessivo degli schemi di firma digitale della competizione Post-Quantum, è possibile confrontare quanto prodotto rispetto agli altri schemi basati su codici lineari, così da rimarcare il valore di CROSS. Successivamente, è possibile confrontare CROSS con tutti i restanti schemi di firma, legati a primitive e logiche differenti, per offrire una valutazione completa di quanto realizzato.

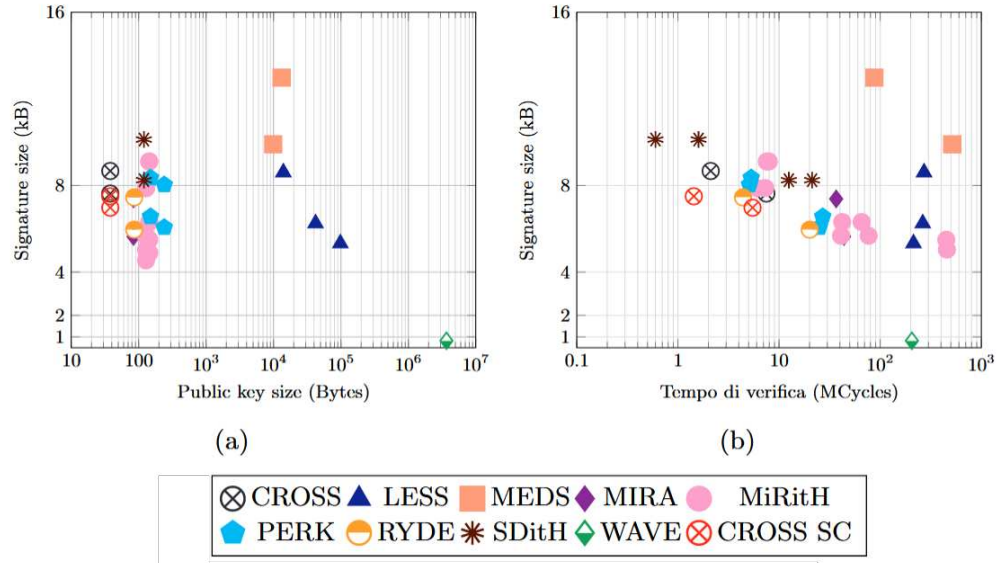


Figura 4.5: Confronto tra CROSS e lo stato dell'arte relativo agli schemi basati su codici

Relativamente al panorama degli schemi basati su codici lineari, CROSS e la sua versione SC si dimostrano schemi molto performanti dal punto di vista della dimensione della chiave pubblica, nonché nel tempo d'esecuzione, osservando dei tempi di verifica (in entrambe le versioni) molto validi e migliori rispetto alla restante popolazione. Quindi, si può osservare come CROSS e CROSS SC possono essere considerati come due degli schemi più performanti e validi nel panorama dei codici lineari, grazie ad una firma con dimensione nella media, che è stata ulteriormente ridotta con l'ultima modifica effettuata, ed una velocità d'esecuzione tra le migliori.

#### Confronto con i restanti schemi di firma

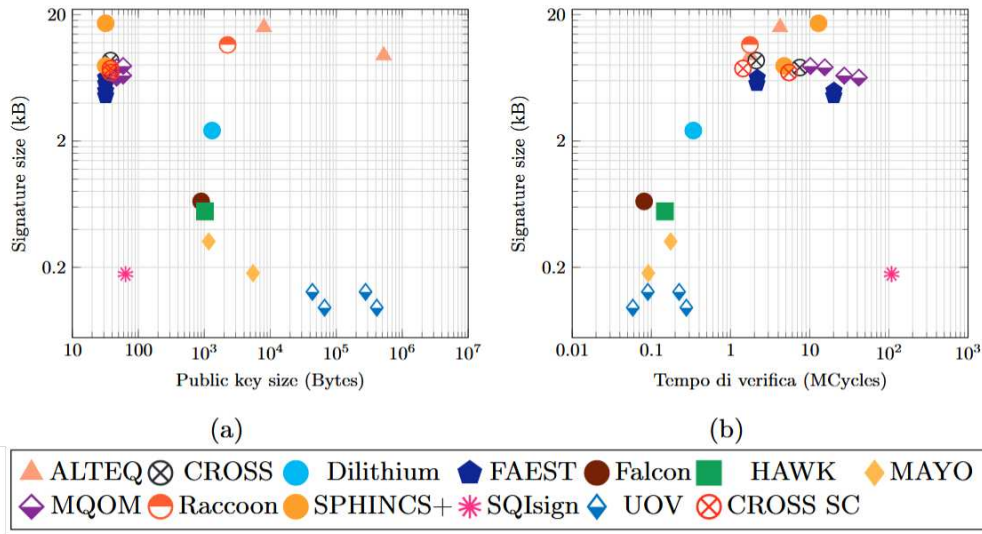


Figura 4.6: Confronto tra CROSS e lo stato dell’arte relativo al resto degli schemi di firma

Differente è il discorso rispetto al panorama complessivo degli schemi di firma. Sia noto come sono presenti schemi che hanno già vinto i primi round della competizione NIST, ossia Falcon, Dilithium e SPHINCS+. Si può notare come questi ultimi risultino vincenti in quanto garantiscono tempi di verifica eccellenti, legati ad una chiave pubblica piccola ed una firma che ha dimensione molto ridotta, ad eccezione di SPHINCS+, il quale ha vinto la competizione seppur offrendo firme di dimensione elevata e tempi di verifica peggiori della media. Questo discorso, che colloca CROSS nel contesto come uno schema con una chiave pubblica ottima, una firma di dimensione relativamente elevata ed un tempo d’esecuzione nella media, come uno schema meritevole di attenzione.

### 4.3.2 Analisi delle funzioni di CROSS

Un’ulteriore analisi che viene realizzata si lega allo studio delle singole funzioni comprese all’interno dello schema, al fine di definire i metodi più onerosi e che possono condurre a fenomeni di collo di bottiglia. Nel confronto saranno prese in considerazioni le due versioni di CROSS, tenendo conto delle due possibili ottimizzazioni.

#### Versione 1. CROSS

La versione originale di CROSS, sulla base delle analisi di profilazione mediante Gprof, mostra i seguenti contributi delle funzioni:

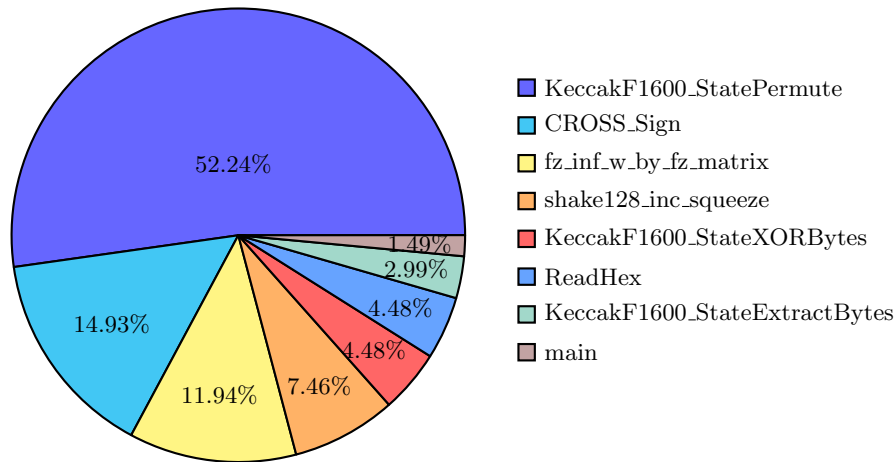


Figura 4.7: Contributo percentuale delle funzioni di CROSS SIG\_SIZE

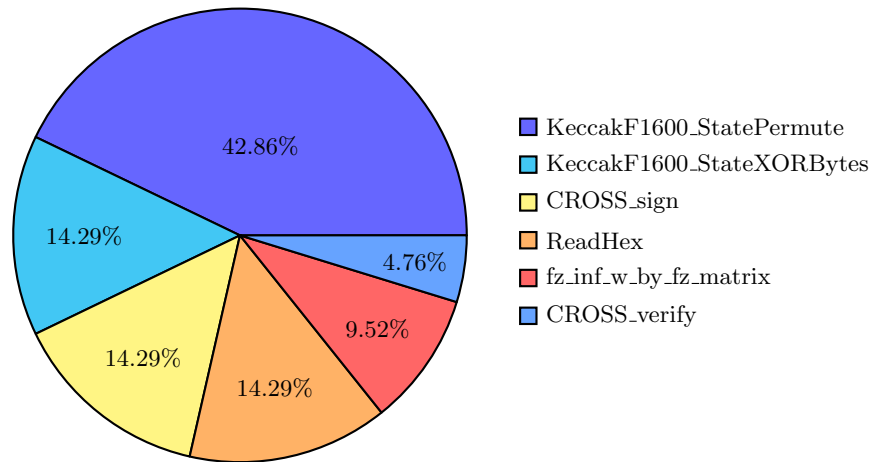


Figura 4.8: Contributo percentuale delle funzioni di CROSS SPEED

Si nota, quindi, come entrambe le ottimizzazioni coinvolgano più metodi, che offrono contributi differenti. Nel caso dell'ottimizzazione SIG\_SIZE (Fig.4.7), le permutazioni di Keccak occupano oltre la metà del tempo complessivo di esecuzione, seguite dalla funzione di generazione della firma e dalle conversioni di matrice nei campi finiti. Nella versione SPEED (Fig.4.8) si osserva una riduzione del collo di bottiglia sulle permutazioni, caratterizzata da una diminuzione percentuale circa del 10%. Oltre a ciò, ad occupare la maggior parte del tempo risulta essere la funzione XOR di Keccak, seguita dalla generazione della firma e dalla lettura e traduzione dell'esadecimale.



**Versione 2. CROSS SC**

Di seguito si prende in considerazione come il nuovo schema, ottenuto mediante rimozione del secondo commitment, offra migliori anche dal punto di vista della distribuzione del contributo delle funzioni.

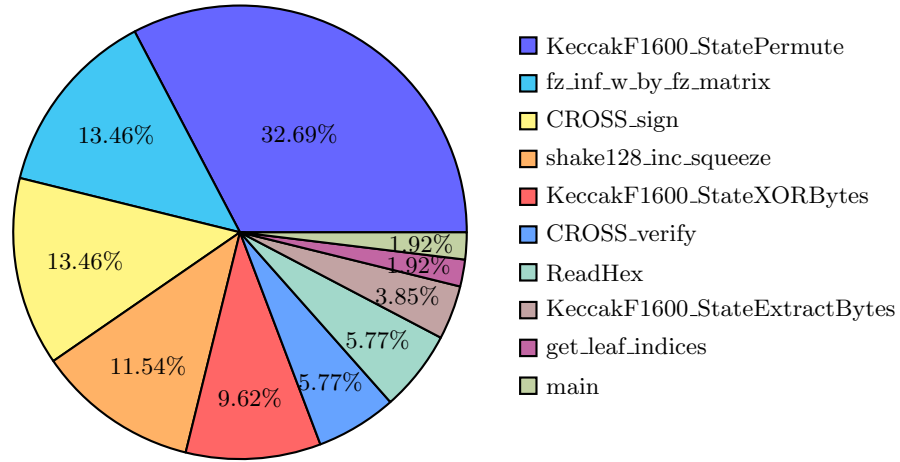


Figura 4.9: Contributo percentuale delle funzioni di CROSS SC SIG.SIZE

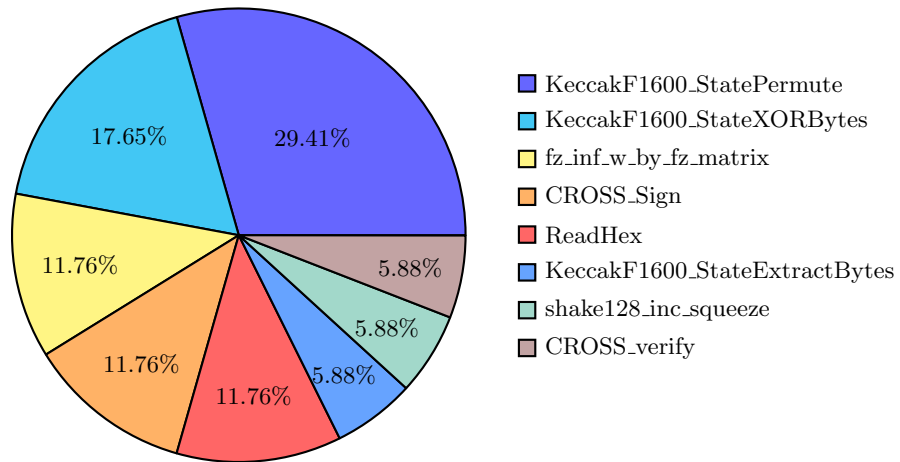


Figura 4.10: Contributo percentuale delle funzioni di CROSS SC SPEED

Si nota la modifica relativa alla distribuzione delle funzioni, dove il principale collo di bottiglia dello schema (le permutazioni) riducono il loro contributo percentuale del 19,55% per la versione SIG\_SIZE e del 13,45% per SPEED. Ciò che si ottiene è una procedura con funzioni molto più omogenee, nonché meno vulnerabile, in quanto non ci sono metodi che spiccano come maggiormente onerosi. Avere uno schema con contributi ben distribuiti garantisce molta più sicurezza di uno schema con un certo sbilanciamento da questo punto di vista.

Dai risultati ottenuti, quindi, si osserva come la modifica incide sensibilmente sulle prestazioni dell'algoritmo, limitando le operazioni complesse come le permutazioni. Quindi, come ci si aspettava, si ottiene una riduzione sia in percentuale sia in tempo effettivo di esecuzione per le funzioni interessate dal CSPRNG (Keccak); il quale, difatto, è tra le primitive più impattanti dello schema.

---

## Conclusioni

In conclusione, è stato condotto uno studio approfondito e completo dello schema di firma digitale CROSS, comprensivo di una dettagliata analisi teorica e prestazionale. In aggiunta, sono state confrontate le proprietà di sicurezza del nuovo approccio rispetto all'originale, mantenendo un ottimo livello di validità. Nonostante ciò, l'obiettivo della ricerca è stato anche focalizzato verso il miglioramento di quanto precedentemente realizzato, riducendone al minimo le vulnerabilità e massimizzandone il potenziale.

Dunque, è stata consegnata una proposta di modifica per CROSS che garantisce sia le proprietà fondamentali di uno schema di firma digitale, sia le caratteristiche di robustezza e difficoltà necessarie a validarlo nell'ambito Post-Quantum. L'implementazione Python delle versioni di CROSS è stata ampiamente sviluppata, testata e confrontata con il riferimento, consegnando uno strumento utile per la comprensione teorica e necessario per la completezza del progetto.

L'analisi parametrica, condotta per rilevare possibili istanze alternative, ha evidenziato la significatività dei parametri classici di CROSS, rispetto alle nuove opzioni. Dunque, l'innovativo algoritmo CROSS SC, attraverso un'approfondita profilazione del codice, offre miglioramenti sensibili sia nella dimensione della firma sia nel tempo d'esecuzione complessivo; inoltre, posiziona il progetto CROSS in una posizione di vantaggio rispetto allo stato dell'arte relativo agli schemi basati su codici lineari. Parimenti, la distribuzione dei contributi nei metodi della procedura risulta maggiormente omogenea nel nuovo protocollo, il che contribuisce a minimizzare i colli di bottiglia. Quest'ultimi sono frequenti indicatori di debolezze o vulnerabilità ed il risultato ottenuto dà ancor più importanza e centralità all'alternativa proposta. Questo equilibrio favorisce robustezza, mitigando potenziali punti critici e sottolineando l'impiego di modus operandi orientato alla sicurezza, nella modifica di CROSS. I dati non solo confermano l'efficacia di quanto presentato, ma aprono anche ulteriori prospettive di ricerca e sviluppo.

Guardando al futuro, l'approccio di modifica realizzato potrebbe essere preso in considerazione come un modello per l'esplorazione di miglioramenti in altri schemi, basati tuttavia su logiche crittografiche differenti. Nonostante ciò, è importante osservare come l'introduzione di nuove versioni richieda sempre e comunque una valutazione attenta e completa legata alle debolezze, tenendo conto di tutti i possibili nuovi attacchi che possono presentarsi.

Pertanto, questa tesi ha contribuito ad ampliare lo spettro delle versioni di CROSS, oltre ad elevarne le prestazioni tecniche, aprendo nuovi scenari relativi all'evoluzione e all'otti-

mizzazione della firma digitale. Gli esiti di questa ricerca, quindi, promuovono con forza la necessità di sicurezza ed efficienza nelle nuove tecnologie dell'attuale contesto crittografico.

---

# Appendice

## CROSS.ipynb

### Importazione Moduli

```
1 # LIB IMPORT
2
3 #If necessary %pip install pycryptodome
4 #%pip install tkinterdnd2
5 from sage.all import *
6 import json
7 import os
8 import hashlib
9 import random
10 import sys
11 import math
12 import pickle
13 import struct
14 import numpy as np
15 from CSPRNG import csprngs
16 from UTILS import utils
17 from UTILS import seed_tree
18 from UTILS import merkle
19 from HASH import hash
```

Listato 4.4: Codice relativo all'importazione delle librerie in CROSS

### Configurazione e Parametri

```
1 # CONFIGURATION
2
3 # File
```

```

4 file\_path = 'parameters.json'
5 with open(file\_path, "r") as file:
6     parameters = json.load(file)
7
8 global n, q, k, z, g, seed_byte_length, selected_cat,
9     selected_opt, selected_rsdp
10
11 # Problem Data
12 selected_rsdp = "RSDPG"
13 selected_cat = "CAT_1"
14 selected_opt = "SPEED"
15
16 # Message to Sign
17 msg = b'customize'
18
19 # Parameters
20 n = parameters[selected_rsdp][selected_cat][selected_opt]["n"]
21 q = parameters[selected_rsdp][selected_cat][selected_opt]["q"]
22 k = parameters[selected_rsdp][selected_cat][selected_opt]["k"]
23 z = parameters[selected_rsdp][selected_cat][selected_opt]["z"]
24 g = parameters[selected_rsdp][selected_cat][selected_opt]["g"]
25 seed_byte_length = parameters[selected_rsdp][selected_cat][
26     selected_opt]["seed_byte_len"]
27 t = parameters[selected_rsdp][selected_cat][selected_opt]["t"]
28 w = parameters[selected_rsdp][selected_cat][selected_opt]["w"]
29
30 print("CROSS_configuration_for_execution:\n")
31 print("Problem:", selected_rsdp, "\n")
32 print("NIST_Category:", selected_cat, "\n")
33 print("CROSS_Optimization:", selected_opt, "\n")
34
35 if selected_rsdp=="RSDPG":
36     m = parameters[selected_rsdp][selected_cat][selected_opt]["m"]
37     print("m:", m)
38
39 print("t:", t)
40 print("w:", w)
41 print("z:", z)
42 print("q:", q)
43 Fz = GF(z)
44 Fq = GF(q)
45 print("seed_byte_len:", seed_byte_length)

```

Listato 4.5: Codice relativo alla configurazione di CROSS e dei suoi parametri

## Funzioni di utilità

```

1 # SEED UTILS
2
3 def expand_private_seed():
4     seed_sk = os.urandom(seed_byte_length)
5     return seed_sk
6
7 def get_salt():
8     salt = os.urandom(2 * seed_byte_length)
9     return salt
10
11 def expand_public_seed(seed):
12     if selected_cat=="CAT_1":
13         seed_l = csprngs.SHAKE_128(seed, 2*seed_byte_length)
14         seed_a = seed_l[:seed_byte_length]
15         seed_b = seed_l[seed_byte_length:]
16     else:
17         seed_l = csprngs.SHAKE_256(seed, 2*seed_byte_length)
18         seed_a = seed_l[:seed_byte_length]
19         seed_b = seed_l[seed_byte_length:]
20     return seed_a, seed_b
21
22 def vector_matrix_product(vector, matrix, field_module):
23     if len(vector) != matrix.nrows():
24         raise ValueError("Vector_ and_ Matrix_ dimensions_ doesn't_
25                             match")
26     result = [0] * matrix.ncols()
27     for i in range(matrix.ncols()):
28         result[i] = sum((vector[j] * matrix[j, i]) % field_module
29                         for j in range(len(vector))) % field_module
30     return result
31
32 def vector_matrix_product_star(vector, matrix, field_module):
33     if len(vector) != matrix.nrows():
34         raise ValueError("Vector_ and_ Matrix_ dimensions_ doesn't_
35                             match")
36     result = [0] * matrix.ncols()
37     for i in range(matrix.ncols()):
38         result[i] = sum((vector[j] * matrix[j, i]) % field_module
39                         for j in range(len(vector))) % field_module
40     return result
41
42 def expand_seed(seed):
43     seed_e, seed_pk = expand_public_seed(seed)
44     if selected_rsdp=="RSDPG":
45         seed_v, seed_w = expand_public_seed(seed_pk)

```

```

42     V = utils.create_random_matrix_old(Fq, n-k, k, seed_v)
43     W = utils.create_random_matrix_old(Fz, m, n-m, seed_w)
44     Im = Matrix.identity(m)
45     Mg = Im.augment(W, subdivide=True)
46     if selected_cat == "CAT_1":
47         zi = csprngs.SHAKE_128_vec(seed_e, m, z)
48     else:
49         zi = csprngs.SHAKE_256_vec(seed_e, m, z)
50     Id = Matrix.identity(n-k)
51     H = Id.augment(V, subdivide=True)
52     return zi, H, Mg
53
54     elif selected_rsdp=="RSDP":
55         V = utils.create_random_matrix_old(Fq, n-k, k, seed_pk)
56         if selected_cat == "CAT_1":
57             eta = csprngs.SHAKE_128_vec(seed_e, n, z)
58         else:
59             eta = csprngs.SHAKE_256_vec(seed_e, n, z)
60         Id = Matrix.identity(n-k)
61         H = Id.augment(V, subdivide=True)
62         return eta, H
63
64     else:
65         print("Problem_not_defined")
66         sys.exit(1)
67
68 def component_wise_multiply(v1, v2, field_module):
69     if len(v1) != len(v2):
70         raise ValueError("Vectors_length_doesn't_match!")
71     result = [0] * len(v1)
72     for i in range(len(v1)):
73         result[i] = v1[i] * v2[i] % field_module
74     return result
75
76 def component_wise_addition(v1, v2, field_module):
77     if len(v1) != len(v2):
78         raise ValueError("Vectors_length_doesn't_match!")
79     result = [0] * len(v1)
80     for i in range(len(v1)):
81         result[i] = (v1[i] + v2[i]) % field_module
82     return result
83
84 def component_wise_subtraction(v1, v2, field_module):
85     if len(v1) != len(v2):
86         raise ValueError("Vectors_lenght_doesn't_match")
87     subtraction = [0] * len(v1)
88     for i in range(len(v1)):

```



```

89     subtraction[i] = (v1[i] - v2[i])
90     if subtraction[i] < 0:
91         subtraction[i] = subtraction[i] + field_module
92     else:
93         subtraction[i] = subtraction[i] % field_module
94
95     return subtraction
96
97 def scalar_vector_product(scalar, vector, field_module):
98     result = [(scalar * x) % field_module for x in vector]
99     return result
100
101 # temporary seed tree leaves
102 def seed_tree_leaves(master_seed, salt):
103     if selected_cat == "CAT_1":
104         seed_list = [csprngs.SHAKE_128(master_seed + salt,
105                                     seed_byte_length) for _ in range(t)]
106     else:
107         seed_list = [csprngs.SHAKE_256(master_seed + salt,
108                                     seed_byte_length) for _ in range(t)]
109
110     return seed_list
111
112 def check_vector(vector, field_module):
113     is_in_field= all(element % field_module == element for
114                     element in vector)
115     if is_in_field:
116         return True
117     else:
118         return False

```

Listato 4.6: Codice relativo alle funzioni di utilità generiche per CROSS

## Generazione delle chiavi

```

1  # KEY GENERATION ALGORITHM
2
3  def CROSS_keygen():
4      seed_sk = expand_private_seed()
5      seed_e, seed_pk= expand_public_seed(seed_sk)
6
7      if selected_rsdpg=="RSDPG":
8          seed_v, seed_w = expand_public_seed(seed_pk)
9          V = utils.create_random_matrix_old(Fq, n-k, k, seed_v)
10         W = utils.create_random_matrix_old(Fz, m, n-m, seed_w)
11         Im = Matrix.identity(m)

```

```

12     Mg = Im.augment(W, subdivide=True)
13
14     if selected_cat == "CAT_1":
15         zi = csprngs.SHAKE_128_vec(seed_e, m, z)
16     elif selected_cat == "CAT_3" or selected_cat == "CAT_5":
17         zi = csprngs.SHAKE_256_vec(seed_e, m, z)
18     else:
19         raise ValueError("Category_error!")
20     zi_vec = vector(zi)
21     eta = vector_matrix_product(zi_vec, Mg, z)
22
23
24     elif selected_rsdp=="RSDP":
25         V = utils.create_random_matrix_old(Fq, n-k, k, seed_pk)
26
27         if selected_cat == "CAT_1":
28             eta = csprngs.SHAKE_128_vec(seed_e, n, z)
29         elif selected_cat == "CAT_3" or selected_cat == "CAT_5":
30             eta = csprngs.SHAKE_256_vec(seed_e, n, z)
31         else:
32             raise ValueError("Category_error!")
33
34     else:
35         print("Problem_not_defined")
36         sys.exit(1)
37
38     Id = Matrix.identity(n-k)
39     H = Id.augment(V, subdivide=True)
40     e = [1]*n
41
42     for j in range(n):
43         e[j] = (g**eta[j]) % q
44         if e[j] == 0:
45             raise ValueError("e[j]_value_is_0!")
46
47     e_vec = vector(e)
48     s = vector_matrix_product(e_vec, H.transpose(), q)
49
50     return seed_sk, seed_pk, s

```

Listato 4.7: Codice relativo alla primitiva di generazione delle chiavi di CROSS

### Generazione della firma

```

1  # SIGNATURE GENERATION ALGORITHM
2

```

```

3 def CROSS_sign(pri, message):
4
5     v = [0]*n
6     cmt0 = [0]*t
7     cmt1 = [0]*t
8     if selected_rsdpg == "RSDPG":
9         delta = [0*m]*t
10        sigma = [0*n]*t
11        eta_prime = [0*n]*t
12        u_prime = [0*n]*t
13        e_prime = [0]*n
14        y = [0*n]*t
15
16        # Key material expansion
17        if selected_rsdpg == "RSDPG":
18            zi, H, Mg = expand_seed(pri)
19            zi_vec = vector(zi)
20            eta = zi_vec * Mg
21        elif selected_rsdpg == "RSDP":
22            eta, H = expand_seed(pri)
23        else:
24            print("Problem_not_defined")
25            sys.exit(1)
26
27        # Computation of commitments
28        M_seed = expand_private_seed()
29        salt = get_salt()
30
31        seed_tree_struct = seed_tree.SeedTree_x(M_seed, salt, t,
32            selected_cat, seed_byte_length)
33        seed_list = seed_tree_struct[-1][:t]
34
35        for i in range(t):
36            seed_u_prime, seed_e_prime = expand_public_seed(seed_list
37                [i])
38            if selected_rsdpg == "RSDPG":
39                if selected_cat == "CAT_1":
40                    zi_prime = csprngs.SHAKE_128_vec(seed_e_prime, m,
41                        z)
42                elif selected_cat == "CAT_3" or selected_cat == "CAT_5":
43                    zi_prime = csprngs.SHAKE_256_vec(seed_e_prime, m,
44                        z)
45                else:
46                    raise ValueError("Category_error!")
47
48            zi_vec = vector(zi)

```

```

45     zi_prime_vec = vector(zi_prime)
46     delta[i] = component_wise_subtraction(zi_vec,
47     zi_prime_vec, z)
48     zi_prime_vec = vector(zi_prime)
49     eta_prime[i] = vector_matrix_product(zi_prime_vec, Mg,
50     z)
51
52     elif selected_rsdp == "RSDP":
53         if selected_cat == "CAT_1":
54             eta_prime[i] = csprngs.SHAKE_128_vec(seed_e_prime,
55             n, z)
56         elif selected_cat == "CAT_3" or selected_cat == "CAT_5":
57             ":
58             eta_prime[i] = csprngs.SHAKE_256_vec(seed_e_prime,
59             n, z)
60         else:
61             raise ValueError("Category_error!")
62
63     else:
64         raise ValueError("Problem_error!")
65
66     eta_vec = vector(eta)
67     eta_prime_vec = vector(eta_prime[i])
68     sigma[i] = component_wise_subtraction(eta_vec,
69     eta_prime_vec, z)
70
71     for j in range(n):
72         v[j] = (g**sigma[i][j]) % q
73     v_vec = vector(v)
74
75     if selected_cat == "CAT_1":
76         u_prime[i] = csprngs.SHAKE_128_vec(seed_u_prime, n, q)
77     elif selected_cat == "CAT_3" or selected_cat == "CAT_5":
78         u_prime[i] = csprngs.SHAKE_256_vec(seed_u_prime, n, q)
79     else:
80         raise ValueError("Category_error!")
81     u_prime_vec = vector(u_prime[i])
82     u = component_wise_multiply(v_vec, u_prime_vec, q)
83
84     u_vec = vector(u)
85
86     s_tilde = vector_matrix_product_star(u_vec, H.transpose()
87     , q)
88     for x in range(len(s_tilde)):
89         if s_tilde[x] == 0:
90             s_tilde[x] = 1

```

```

85     # Conversion to Hash
86     s_tilde_str = ''.join(map(str, s_tilde))
87     if selected_rsdpg == "RSDPG":
88         delta_i_str = ''.join(map(str, delta[i]))
89         sigma_i_str = ''.join(map(str, sigma[i]))
90         salt_str = ''.join(map(str, salt))
91         i_str = str(i)
92         seed_list_i_str = ''.join(map(str, seed_list[i]))
93
94     # Commitments Generation
95     if selected_rsdpg == "RSDPG":
96         data_to_hash_cmt0 = s_tilde_str + delta_i_str +
97             salt_str + i_str
98         if selected_cat == "CAT_1":
99             cmt0[i] = hash.SHA3_256_HASH(data_to_hash_cmt0.
100                 encode())
101         elif selected_cat == "CAT_3":
102             cmt0[i] = hash.SHA3_384_HASH(data_to_hash_cmt0.
103                 encode())
104         elif selected_cat == "CAT_5":
105             cmt0[i] = hash.SHA3_512_HASH(data_to_hash_cmt0.
106                 encode())
107         else:
108             raise ValueError("Category_error!")
109
110     elif selected_rsdpg == "RSDP":
111         data_to_hash_cmt0 = s_tilde_str + sigma_i_str +
112             salt_str + i_str
113         if selected_cat == "CAT_1":
114             cmt0[i] = hash.SHA3_256_HASH(data_to_hash_cmt0.
115                 encode())
116         elif selected_cat == "CAT_3":
117             cmt0[i] = hash.SHA3_384_HASH(data_to_hash_cmt0.
118                 encode())
119         elif selected_cat == "CAT_5":
120             cmt0[i] = hash.SHA3_512_HASH(data_to_hash_cmt0.
121                 encode())
122         else:
123             raise ValueError("Category_error!")
124     else:
125         raise ValueError("Problem_error!")
126
127     data_to_hash_cmt1 = seed_list_i_str + salt_str + i_str
128     if selected_cat == "CAT_1":
129         cmt1[i] = hash.SHA3_256_HASH(data_to_hash_cmt1.encode
130             ())
131     elif selected_cat == "CAT_3":

```

```

123         cmt1[i] = hash.SHA3_384_HASH(data_to_hash_cmt1.encode
124             ())
125     elif selected_cat == "CAT_5":
126         cmt1[i] = hash.SHA3_512_HASH(data_to_hash_cmt1.encode
127             ())
128     else:
129         raise ValueError("Category_error!")
130
131 # Merkle Root and Commitment Hashing
132 d0, tree = merkle.merkle_root_lnh(cmt0, selected_cat)
133 tree = tree[::-1]
134
135 # First Challenge vector extraction
136 cmt1_str = ''.join(map(str, cmt1))
137
138 if selected_cat == "CAT_1":
139     d1 = hash.SHA3_256_HASH(cmt1_str.encode())
140     d01 = hash.SHA3_256_HASH(d0 + d1)
141     dm = hash.SHA3_256_HASH(message)
142     dbeta = hash.SHA3_256_HASH(dm + d01 + salt)
143     beta = csprngs.SHAKE_128_vec_star_(dbeta, t, q)
144 elif selected_cat == "CAT_3":
145     d1 = hash.SHA3_384_HASH(cmt1_str.encode())
146     d01 = hash.SHA3_384_HASH(d0 + d1)
147     dm = hash.SHA3_384_HASH(message)
148     dbeta = hash.SHA3_384_HASH(dm + d01 + salt)
149     beta = csprngs.SHAKE_256_vec_star_(dbeta, t, q)
150 elif selected_cat == "CAT_5":
151     d1 = hash.SHA3_512_HASH(cmt1_str.encode())
152     d01 = hash.SHA3_512_HASH(d0 + d1)
153     dm = hash.SHA3_512_HASH(message)
154     dbeta = hash.SHA3_512_HASH(dm + d01 + salt)
155     beta = csprngs.SHAKE_256_vec_star_(dbeta, t, q)
156 else:
157     raise ValueError("Category_Error!")
158
159 # Computation of First Responses
160 j= 0
161
162 for i in range(t):
163     for j in range(n):
164         e_prime[j] = (g**eta_prime[i][j]) % q
165     e_prime_vec = vector(e_prime)
166     temp_i = scalar_vector_product(beta[i], e_prime_vec, q)
167     temp_vec = vector(temp_i)
168     u_prime_vec = vector(u_prime[i])
169     y[i] = component_wise_addition(u_prime_vec, temp_vec, q)

```

```

168
169 # Second Challenge vector extraction
170 y_str = ''.join(map(str, y))
171 dbeta_str = ''.join(map(str, dbeta))
172 input = y_str + dbeta_str
173
174 if selected_cat == "CAT_1":
175     db = hash.SHA3_256_HASH(input.encode())
176     b = csprngs.SHAKE_128_vec_weighted(db, t, 2, w)
177 elif selected_cat == "CAT_3":
178     db = hash.SHA3_384_HASH(input.encode())
179     b = csprngs.SHAKE_256_vec_weighted(db, t, 2, w)
180 elif selected_cat == "CAT_5":
181     db = hash.SHA3_512_HASH(input.encode())
182     b = csprngs.SHAKE_256_vec_weighted(db, t, 2, w)
183 else:
184     raise ValueError("Category_error!")
185
186 # Computation of Second Responses
187 proof = merkle.merkle_proof(tree, cmt0, b)
188 seed_path = seed_tree.SeedPaths(seed_tree_struct, t, b)
189
190 # Signature Composition
191 if selected_rsdpg == "RSDPG":
192     rsp0 = utils.initialize_couple_vector(t-w, n, m, q, z)
193 elif selected_rsdpg == "RSDP":
194     rsp0 = utils.initialize_couple_vector(t-w, n, n, q, z)
195 else:
196     raise ValueError("Problem_error!")
197
198 rsp1 = utils.initialize_vector(t-w, seed_byte_length, 2)
199 j = 0
200 for i in range(t):
201     if b[i] == 0:
202         if selected_rsdpg == "RSDPG":
203             rsp0[j] = (y[i], delta[i])
204         elif selected_rsdpg == "RSDP":
205             rsp0[j] = (y[i], sigma[i])
206         else:
207             raise ValueError("Problem_error!")
208         rsp1[j] = cmt1[i]
209         j += 1
210
211 bytes_proof = pickle.dumps(proof)
212 bytes_seed_path = pickle.dumps(seed_path)
213 bytes_rsp0 = pickle.dumps(rsp0)
214 bytes_rsp1 = pickle.dumps(rsp1)

```

```

215     proof_len = len(bytes_proof)
216     seed_path_len = len(bytes_seed_path)
217     rsp0_len = len(bytes_rsp0)
218     rsp1_len = len(bytes_rsp1)
219
220
221     tuple_signature = (salt, d01, db, bytes_proof,
222                       bytes_seed_path, bytes_rsp0, bytes_rsp1)
223
224     if selected_cat == "CAT_1":
225         format = f'{2*seed_byte_length}s_32s_32s_{proof_len}s_{
226             seed_path_len}s_{rsp0_len}s_{rsp1_len}s'
227     elif selected_cat == "CAT_3":
228         format = f'{2*seed_byte_length}s_48s_48s_{proof_len}s_{
229             seed_path_len}s_{rsp0_len}s_{rsp1_len}s'
230     elif selected_cat == "CAT_5":
231         format = f'{2*seed_byte_length}s_64s_64s_{proof_len}s_{
232             seed_path_len}s_{rsp0_len}s_{rsp1_len}s'
233     else:
234         raise ValueError("Category_error!")
235
236     signature = struct.pack(format, *tuple_signature)
237     return signature, format

```

Listato 4.8: Codice relativo alla primitiva di generazione della firma di CROSS

### Verifica della firma

```

1  # SIGNATURE VERIFICATION ALGORITHM
2
3  def CROSS_verify(seed_pk, s, msg, signature, f):
4
5      # Key material expansion
6      if selected_rsdp == "RSDPG":
7          seed_v, seed_w = expand_public_seed(seed_pk)
8          V = utils.create_random_matrix_old(Fq, n-k, k, seed_v)
9          W = utils.create_random_matrix_old(Fz, m, n-m, seed_w)
10         Im = Matrix.identity(m)
11         Mg = Im.augment(W, subdivide=True)
12
13     elif selected_rsdp == "RSDP":
14         V = utils.create_random_matrix_old(Fq, n-k, k, seed_pk)
15     else:
16         raise ValueError("Problem_selection_wrong")
17
18     Id = Matrix.identity(n-k)

```



```

19 H = Id.augment(V, subdivide=True)
20 decoded = struct.unpack(f, signature)
21
22 salt = decoded[0]
23 d01 = decoded[1]
24 db = decoded[2]
25 bytes_proof = decoded[3]
26 bytes_seed_path = decoded[4]
27 bytes_rsp0 = decoded[5]
28 bytes_rsp1 = decoded[6]
29
30 proof = pickle.loads(bytes_proof)
31 seed_path = pickle.loads(bytes_seed_path)
32 rsp0 = pickle.loads(bytes_rsp0)
33 rsp1 = pickle.loads(bytes_rsp1)
34
35 # Challenge recomputation
36 if selected_cat == "CAT_1":
37     dm = hash.SHA3_256_HASH(msg)
38     dbeta = hash.SHA3_256_HASH(dm + d01 + salt)
39     beta = csprngs.SHAKE_128_vec_star_(dbeta, t, q)
40     b = csprngs.SHAKE_128_vec_weighted(db, t, 2, w)
41 elif selected_cat == "CAT_3":
42     dm = hash.SHA3_384_HASH(msg)
43     dbeta = hash.SHA3_384_HASH(dm + d01 + salt)
44     beta = csprngs.SHAKE_256_vec_star_(dbeta, t, q)
45     b = csprngs.SHAKE_256_vec_weighted(db, t, 2, w)
46 elif selected_cat == "CAT_5":
47     dm = hash.SHA3_512_HASH(msg)
48     dbeta = hash.SHA3_512_HASH(dm + d01 + salt)
49     beta = csprngs.SHAKE_256_vec_star_(dbeta, t, q)
50     b = csprngs.SHAKE_256_vec_weighted(db, t, 2, w)
51 else:
52     raise ValueError("Category_Error!")
53
54 seed_list = seed_tree.Recompute_Leaves(seed_path, b, salt,
55     selected_cat, seed_byte_length)
56
57 cmt1 = [0] * t
58 cmt0 = [0] * t
59 j = 0
60 j_rsp = 0
61 e_prime = [0]*n
62 y = [0*n]*t
63 if selected_rsdpg == "RSDPG":
64     delta = [0*m]*t
65     sigma = [0*n]*t

```

```

65     v = [0]*n
66     eta_prime = [0*n]*t
67     u_prime = [0*n]*t
68
69     for i in range(t):
70         if b[i] == 1:
71             i_str = str(i)
72             seed_list_i_str = ''.join(map(str, seed_list[i]))
73             salt_str = ''.join(map(str, salt))
74
75             data_to_encode1 = seed_list_i_str + salt_str + i_str
76
77             if selected_cat == "CAT_1":
78                 cmt1[i] = hash.SHA3_256_HASH(data_to_encode1.
79                     encode())
80             elif selected_cat == "CAT_3":
81                 cmt1[i] = hash.SHA3_384_HASH(data_to_encode1.
82                     encode())
83             elif selected_cat == "CAT_5":
84                 cmt1[i] = hash.SHA3_512_HASH(data_to_encode1.
85                     encode())
86             else:
87                 raise ValueError("Category_error!")
88
89             seed_u_prime, seed_e_prime = expand_public_seed(
90                 seed_list[i])
91
92             if selected_rsdpg == "RSDPG":
93                 if selected_cat == "CAT_1":
94                     zi_prime = csprngs.SHAKE_128_vec(seed_e_prime,
95                         m, z)
96                 elif selected_cat == "CAT_3" or selected_cat == "
97                     CAT_5":
98                     zi_prime = csprngs.SHAKE_256_vec(seed_e_prime,
99                         m, z)
100                 else:
101                     raise ValueError("Category_error!")
102
103                 zi_i_vec = vector(zi_prime)
104                 eta_prime[i] = vector_matrix_product(zi_i_vec, Mg,
105                     z)
106
107             elif selected_rsdpg == "RSDP":
108                 if selected_cat == "CAT_1":
109                     eta_prime[i] = csprngs.SHAKE_128_vec(
110                         seed_e_prime, n, z)

```

```

102         elif selected_cat == "CAT_3" or selected_cat == "
103             CAT_5":
104             eta_prime[i] = csprngs.SHAKE_256_vec(
105                 seed_e_prime, n, z)
106         else:
107             raise ValueError("Category_error!")
108     else:
109         continue
110
111     for j in range(n):
112         e_prime[j] = (g**eta_prime[i][j]) % q
113     if selected_cat == "CAT_1":
114         u_prime[i] = csprngs.SHAKE_128_vec(seed_u_prime, n
115             , q)
116     elif selected_cat == "CAT_3" or selected_cat == "CAT_5
117         ":
118         u_prime[i] = csprngs.SHAKE_256_vec(seed_u_prime, n
119             , q)
120     else:
121         raise ValueError("Category_error!")
122
123     e_prime_vec = vector(e_prime)
124     temp_i = scalar_vector_product(beta[i], e_prime_vec, q
125         )
126     temp_vec = vector(temp_i)
127     u_prime_vec = vector(u_prime[i])
128     y[i] = component_wise_addition(u_prime_vec, temp_vec,
129         q) #
130
131     elif b[i] == 0:
132         if selected_rsdpg == "RSDPG":
133             y[i] = rsp0[j_rsp][0]
134             delta[i] = rsp0[j_rsp][1]
135             boolean = check_vector(delta[i], z)
136             assert boolean == True, "boolean_no_true"
137             delta_vec = vector(delta[i])
138             sigma[i] = vector_matrix_product(delta_vec, Mg, z)
139
140             for j in range(n):
141
142                 v[j] = (g**sigma[i][j]) % q
143
144             v_vec = vector(v)
145             y_i_vec = vector(y[i])
146             y_prime = component_wise_multiply(v_vec, y_i_vec,
147                 q)
148             y_prime_vec = vector(y_prime)

```

```

141     temp1 = vector_matrix_product_star(y_prime_vec, H.
142         transpose(), q)
143     s_vec = vector(s)
144     temp2 = scalar_vector_product(beta[i], s_vec, q)
145     temp1_vec = vector(temp1)
146     temp2_vec = vector(temp2)
147
148     s_tilde = component_wise_subtraction(temp1_vec,
149         temp2_vec, q)
150     for x in range(len(s_tilde)):
151         if s_tilde[x] == 0:
152             s_tilde[x] = 1
153
154     s_tilde_str = ''.join(map(str, s_tilde))
155     delta_i_str = ''.join(map(str, delta[i]))
156     sigma_i_str = ''.join(map(str, sigma[i]))
157     salt_str = ''.join(map(str, salt))
158     i_str = str(i)
159
160     data_to_encode0 = s_tilde_str + delta_i_str +
161         salt_str + i_str
162
163     if selected_cat == "CAT_1":
164         cmt0[i] = hash.SHA3_256_HASH(data_to_encode0.
165             encode())
166     elif selected_cat == "CAT_3":
167         cmt0[i] = hash.SHA3_384_HASH(data_to_encode0.
168             encode())
169     elif selected_cat == "CAT_5":
170         cmt0[i] = hash.SHA3_512_HASH(data_to_encode0.
171             encode())
172     else:
173         raise ValueError("Category_error!")
174
175     elif selected_rsdp == "RSDP":
176         y[i] = rsp0[j_rsp][0]
177         sigma[i] = rsp0[j_rsp][1]
178         boolean = check_vector(sigma[i], z)
179         assert boolean == True, "boolean_no_true"
180
181     for j in range(n):
182         v[j] = (g**sigma[i][j]) % q
183
184     v_vec = vector(v)
185     y_i_vec = vector(y[i])
186     y_prime = component_wise_multiply(v_vec, y_i_vec,
187         q)

```

```

181     y_prime_vec = vector(y_prime)
182
183     temp1 = vector_matrix_product_star(y_prime_vec, H.
184         transpose(), q)
185
186     s_vec = vector(s)
187     temp2 = scalar_vector_product(beta[i], s_vec, q)
188
189     temp1_vec = vector(temp1)
190     temp2_vec = vector(temp2)
191     s_tilde = component_wise_subtraction(temp1_vec,
192         temp2_vec, q)
193     for x in range(len(s_tilde)):
194         if s_tilde[x] == 0:
195             s_tilde[x] = 1
196
197     s_tilde_str = ''.join(map(str, s_tilde))
198
199     if selected_rsdpg == "RSDPG":
200         delta_i_str = ''.join(map(str, delta[i]))
201         sigma_i_str = ''.join(map(str, sigma[i]))
202         salt_str = ''.join(map(str, salt))
203         i_str = str(i)
204
205     if selected_cat == "CAT_1":
206         data_to_encode0 = s_tilde_str + sigma_i_str +
207             salt_str + i_str
208         cmt0[i] = hash.SHA3_256_HASH(data_to_encode0.
209             encode())
210     elif selected_cat == "CAT_3":
211         data_to_encode0 = s_tilde_str + sigma_i_str +
212             salt_str + i_str
213         cmt0[i] = hash.SHA3_384_HASH(data_to_encode0.
214             encode())
215     elif selected_cat == "CAT_5":
216         data_to_encode0 = s_tilde_str + sigma_i_str +
217             salt_str + i_str
218         cmt0[i] = hash.SHA3_512_HASH(data_to_encode0.
219             encode())
220     else:
221         raise ValueError("Category_error!")
222     else:
223         continue
224
225     cmt1[i] = rsp1[j_rsp]
226     j_rsp += 1
227 else:

```

```

220         continue
221
222     d0_prime = merkle.recompute_root(cmt0, proof, b, selected_cat
223         , seed_byte_length)
224     cmt1_str = ''.join(map(str, cmt1))
225
226     y_str = ''.join(map(str, y))
227     dbeta_str = ''.join(map(str, dbeta))
228     input = y_str + dbeta_str
229
230     if selected_cat == "CAT_1":
231         d1_prime = hash.SHA3_256_HASH(cmt1_str.encode())
232         d01_prime = hash.SHA3_256_HASH(d0_prime + d1_prime)
233         db_prime = hash.SHA3_256_HASH(input.encode())
234     elif selected_cat == "CAT_3":
235         d1_prime = hash.SHA3_384_HASH(cmt1_str.encode())
236         d01_prime = hash.SHA3_384_HASH(d0_prime + d1_prime)
237         db_prime = hash.SHA3_384_HASH(input.encode())
238     elif selected_cat == "CAT_5":
239         d1_prime = hash.SHA3_512_HASH(cmt1_str.encode())
240         d01_prime = hash.SHA3_512_HASH(d0_prime + d1_prime)
241         db_prime = hash.SHA3_512_HASH(input.encode())
242     else:
243         raise ValueError("Category_error!")
244
245     if d01 == d01_prime and db == db_prime:
246         return True
247     else:
248         if not d01 == d01_prime:
249             print("d01_different_from_d01_prime")
250         if not db == db_prime:
251             print("db_different_from_db_prime")
252         return False

```

Listato 4.9: Codice relativo alla primitiva di verifica della firma di CROSS

## Main

```

1  #CROSS ONE Main
2
3  if __name__ == "__main__":
4      seed_sk, seed_pk, s = CROSS_keygen()
5      sign, f = CROSS_sign_one(seed_sk, msg)
6      bool = CROSS_verify_one(seed_pk, s, msg, sign, f)
7      print(bool)

```

Listato 4.10: Codice relativo al main di CROSS SC

**CROSS\_SC.ipynb****Importazione moduli**

```

1 # LIB IMPORT
2
3 #If necessary %pip install pycryptodome
4 #%pip install tkinterdnd2
5 from sage.all import *
6 import json
7 import os
8 import hashlib
9 import random
10 import sys
11 import math
12 import pickle
13 import struct
14 import numpy as np
15 from CSPRNG import csprngs
16 from UTILS import utils
17 from UTILS import seed_tree
18 from UTILS import merkle
19 from HASH import hash

```

Listato 4.11: Codice relativo all'importazione delle librerie di CROSS SC

**Configurazione e Parametri**

```

1 # CONFIGURATION
2
3 # File
4 file_path = 'parameters.json'
5 with open(file_path, "r") as file:
6     parameters = json.load(file)
7
8 global n, q, k, z, g, seed_byte_length, selected_cat,
9     selected_opt, selected_rsdp
10
11 # Problem Data
12 selected_rsdp = "RSDP"
13 selected_cat = "CAT_1"

```

```

13 selected_opt = "SPEED"
14
15 # Message to Sign
16 msg = b'customize'
17
18 # Parameters
19 n = parameters[selected_rsdp][selected_cat][selected_opt]["n"]
20 q = parameters[selected_rsdp][selected_cat][selected_opt]["q"]
21 k = parameters[selected_rsdp][selected_cat][selected_opt]["k"]
22 z = parameters[selected_rsdp][selected_cat][selected_opt]["z"]
23 g = parameters[selected_rsdp][selected_cat][selected_opt]["g"]
24 seed_byte_length = parameters[selected_rsdp][selected_cat][
25     selected_opt]["seed_byte_len"]
26 t = parameters[selected_rsdp][selected_cat][selected_opt]["t"]
27 w = parameters[selected_rsdp][selected_cat][selected_opt]["w"]
28
29 print("CROSS_SINGLE_COMMIT_configuration_for_execution:\n")
30 print("Problem:", selected_rsdp, "\n")
31 print("NIST_Category:", selected_cat, "\n")
32 print("CROSS_Optimization:", selected_opt, "\n")
33
34 if selected_rsdp=="RSDPG":
35     m = parameters[selected_rsdp][selected_cat][selected_opt]["m"]
36     ]
37     print("m:", m)
38
39 print("t:", t)
40 print("w:", w)
41 print("z:", z)
42 print("q:", q)
43 Fz = GF(z)
44 Fq = GF(q)
45 print("seed_byte_len:", seed_byte_length)

```

Listato 4.12: Codice relativo alla configurazione di CROSS SC e dei parametri

### Funzionalità di utilità

```

1 # SEED UTILS
2 def expand_private_seed():
3     seed_sk = os.urandom(seed_byte_length)
4     return seed_sk
5
6 def get_salt():
7     salt = os.urandom(2 * seed_byte_length)
8     return salt

```



```

9
10 def expand_public_seed(seed):
11     if selected_cat=="CAT_1":
12         seed_l = csprngs.SHAKE_128(seed, 2*seed_byte_length)
13         seed_a = seed_l[:seed_byte_length]
14         seed_b = seed_l[seed_byte_length:]
15     else:
16         seed_l = csprngs.SHAKE_256(seed, 2*seed_byte_length)
17         seed_a = seed_l[:seed_byte_length]
18         seed_b = seed_l[seed_byte_length:]
19     return seed_a, seed_b
20
21 def vector_matrix_product(vector, matrix, field_module):
22     if len(vector) != matrix.nrows():
23         raise ValueError("Vector and Matrix dimensions doesn't
24                             match")
25     result = [0] * matrix.ncols()
26     for i in range(matrix.ncols()):
27         result[i] = sum((vector[j] * matrix[j, i]) % field_module
28                         for j in range(len(vector))) % field_module
29     return result
30
31 def vector_matrix_product_star(vector, matrix, field_module):
32     if len(vector) != matrix.nrows():
33         raise ValueError("Vector and Matrix dimensions doesn't
34                             match")
35     result = [0] * matrix.ncols()
36     for i in range(matrix.ncols()):
37         result[i] = sum((vector[j] * matrix[j, i]) % field_module
38                         for j in range(len(vector))) % field_module
39     return result
40
41 def expand_seed(seed):
42     seed_e, seed_pk = expand_public_seed(seed)
43     if selected_rsdpg=="RSDPG":
44         seed_v, seed_w = expand_public_seed(seed_pk)
45         V = utils.create_random_matrix_old(Fq, n-k, k, seed_v)
46         W = utils.create_random_matrix_old(Fz, m, n-m, seed_w)
47         Im = Matrix.identity(m)
48         Mg = Im.augment(W, subdivide=True)
49         if selected_cat == "CAT_1":
50             zi = csprngs.SHAKE_128_vec(seed_e, m, z)
51         else:
52             zi = csprngs.SHAKE_256_vec(seed_e, m, z)
53         Id = Matrix.identity(n-k)
54         H = Id.augment(V, subdivide=True)

```

```

52     return zi, H, Mg
53
54     elif selected_rsdp=="RSDP":
55         V = utils.create_random_matrix_old(Fq, n-k, k, seed_pk)
56         if selected_cat == "CAT_1":
57             eta = csprngs.SHAKE_128_vec(seed_e, n, z)
58         else:
59             eta = csprngs.SHAKE_256_vec(seed_e, n, z)
60         Id = Matrix.identity(n-k)
61         H = Id.augment(V, subdivide=True)
62         return eta, H
63
64     else:
65         print("Problem_not_defined")
66         sys.exit(1)
67
68 def component_wise_multiply(v1, v2, field_module):
69     if len(v1) != len(v2):
70         raise ValueError("Vectors_length_doesn't_match!")
71     result = [0] * len(v1)
72     for i in range(len(v1)):
73         result[i] = v1[i] * v2[i] % field_module
74     return result
75
76 def component_wise_addition(v1, v2, field_module):
77     if len(v1) != len(v2):
78         raise ValueError("Vectors_length_doesn't_match!")
79     result = [0] * len(v1)
80     for i in range(len(v1)):
81         result[i] = (v1[i] + v2[i]) % field_module
82     return result
83
84 def component_wise_subtraction(v1, v2, field_module):
85     if len(v1) != len(v2):
86         raise ValueError("Vectors_length_doesn't_match!")
87     subtraction = [0] * len(v1)
88     for i in range(len(v1)):
89         subtraction[i] = (v1[i] - v2[i])
90         if subtraction[i] < 0:
91             subtraction[i] = subtraction[i] + field_module
92         else:
93             subtraction[i] = subtraction[i] % field_module
94
95     return subtraction
96
97 def scalar_vector_product(scalar, vector, field_module):
98     result = [(scalar * x) % field_module for x in vector]

```

```

99     return result
100
101 def seed_tree_leaves(master_seed, salt):
102     if selected_cat == "CAT_1":
103         seed_list = [csprngs.SHAKE_128(master_seed + salt,
104                                     seed_byte_length) for _ in range(t)]
105     else:
106         seed_list = [csprngs.SHAKE_256(master_seed + salt,
107                                     seed_byte_length) for _ in range(t)]
108
109     return seed_list
110
111 def check_vector(vector, field_module):
112     is_in_field= all(element % field_module == element for
113                     element in vector)
114
115     if is_in_field:
116         return True
117     else:
118         return False

```

Listato 4.13: Codice relativo alle funzioni di utilità di CROSS SC

## Generazione delle chiavi

```

1  # KEY GENERATION ALGORITHM
2
3  def CROSS_keygen():
4      seed_sk = expand_private_seed()
5      seed_e, seed_pk= expand_public_seed(seed_sk)
6      if selected_rsdpg=="RSDPG":
7          seed_v, seed_w = expand_public_seed(seed_pk)
8          V = utils.create_random_matrix_old(Fq, n-k, k, seed_v)
9          W = utils.create_random_matrix_old(Fz, m, n-m, seed_w)
10         Im = Matrix.identity(m)
11         Mg = Im.augment(W, subdivide=True)
12         if selected_cat == "CAT_1":
13             zi = csprngs.SHAKE_128_vec(seed_e, m, z)
14         elif selected_cat == "CAT_3" or selected_cat == "CAT_5":
15             zi = csprngs.SHAKE_256_vec(seed_e, m, z)
16         else:
17             raise ValueError("Category_error!")
18         zi_vec = vector(zi)
19
20         eta = vector_matrix_product(zi_vec, Mg, z)
21

```

```

22     elif selected_rsdp=="RSDP":
23         V = utils.create_random_matrix_old(Fq, n-k, k, seed_pk)
24         if selected_cat == "CAT_1":
25             eta = csprngs.SHAKE_128_vec(seed_e, n, z)
26         elif selected_cat == "CAT_3" or selected_cat == "CAT_5":
27             eta = csprngs.SHAKE_256_vec(seed_e, n, z)
28         else:
29             raise ValueError("Category_error!")
30
31     else:
32         print("Problem_not_defined")
33         sys.exit(1)
34
35     Id = Matrix.identity(n-k)
36     H = Id.augment(V, subdivide=True)
37     e = [1]*n
38
39     for j in range(n):
40         e[j] = (g**eta[j]) % q
41
42         if e[j] == 0:
43             raise ValueError("e[j]_value_is_0!")
44
45     e_vec = vector(e)
46     s = vector_matrix_product(e_vec, H.transpose(), q)
47
48     return seed_sk, seed_pk, s

```

Listato 4.14: Codice relativo alla generazione delle chiavi di CROSS SC

### Generazione della firma

```

1  # SIGNATURE GENERATION ALGORITHM
2
3  def CROSS_sign_one(pri, message):
4
5      v = [0]*n
6      cmt0 = [0]*t
7      if selected_rsdp == "RSDPG":
8          delta = [0*m]*t
9          sigma = [0*n]*t
10         eta_prime = [0*n]*t
11         u_prime = [0*n]*t
12         e_prime = [0]*n
13         y = [0*n]*t
14

```

```

15     # Key material expansion
16     if selected_rsdp == "RSDPG":
17         zi, H, Mg = expand_seed(pri)
18         zi_vec = vector(zi)
19         eta = zi_vec * Mg
20     elif selected_rsdp == "RSDP":
21         eta, H = expand_seed(pri)
22     else:
23         print("Problem_not_defined")
24         sys.exit(1)
25
26     # Computation of commitments
27     M_seed = expand_private_seed()
28     salt = get_salt()
29
30     seed_tree_struct = seed_tree.SeedTree_x(M_seed, salt, t,
31         selected_cat, seed_byte_length)
32     seed_list = seed_tree_struct[-1][:t]
33
34     for i in range(t):
35         seed_u_prime, seed_e_prime = expand_public_seed(seed_list
36             [i])
37         if selected_rsdp == "RSDPG":
38             if selected_cat == "CAT_1":
39                 zi_prime = csprngs.SHAKE_128_vec(seed_e_prime, m,
40                     z)
41             elif selected_cat == "CAT_3" or selected_cat == "CAT_5":
42                 zi_prime = csprngs.SHAKE_256_vec(seed_e_prime, m,
43                     z)
44             else:
45                 raise ValueError("Category_error!")
46
47         zi_vec = vector(zi)
48         zi_prime_vec = vector(zi_prime)
49         delta[i] = component_wise_subtraction(zi_vec,
50             zi_prime_vec, z)
51
52         zi_prime_vec = vector(zi_prime)
53
54         eta_prime[i] = vector_matrix_product(zi_prime_vec, Mg,
55             z)
56
57     elif selected_rsdp == "RSDP":
58         if selected_cat == "CAT_1":

```

```

54         eta_prime[i] = csprngs.SHAKE_128_vec(seed_e_prime,
55             n, z)
56     elif selected_cat == "CAT_3" or selected_cat == "CAT_5":
57         eta_prime[i] = csprngs.SHAKE_256_vec(seed_e_prime,
58             n, z)
59     else:
60         raise ValueError("Category_error!")
61
62 else:
63     raise ValueError("Problem_error!")
64
65 eta_vec = vector(eta)
66 eta_prime_vec = vector(eta_prime[i])
67 sigma[i] = component_wise_subtraction(eta_vec,
68     eta_prime_vec, z)
69
70 for j in range(n):
71     v[j] = (g**sigma[i][j]) % q
72
73 v_vec = vector(v)
74
75 if selected_cat == "CAT_1":
76     u_prime[i] = csprngs.SHAKE_128_vec(seed_u_prime, n, q)
77 elif selected_cat == "CAT_3" or selected_cat == "CAT_5":
78     u_prime[i] = csprngs.SHAKE_256_vec(seed_u_prime, n, q)
79 else:
80     raise ValueError("Category_error!")
81 u_prime_vec = vector(u_prime[i])
82 u = component_wise_multiply(v_vec, u_prime_vec, q) #
83     length
84
85 u_vec = vector(u)
86
87 s_tilde = vector_matrix_product_star(u_vec, H.transpose()
88     , q)
89
90 for x in range(len(s_tilde)):
91     if s_tilde[x] == 0:
92         s_tilde[x] = 1
93
94 # Conversion to Hash
95 s_tilde_str = ''.join(map(str, s_tilde))
96 if selected_rsdpg == "RSDPG":
97     delta_i_str = ''.join(map(str, delta[i]))
98     sigma_i_str = ''.join(map(str, sigma[i]))
99     salt_str = ''.join(map(str, salt))

```

```

95     i_str = str(i)
96
97     # Commitments Generation
98     if selected_rsdp == "RSDPG":
99         data_to_hash_cmt0 = s_tilde_str + delta_i_str +
100            salt_str + i_str
101         if selected_cat == "CAT_1":
102             cmt0[i] = hash.SHA3_256_HASH(data_to_hash_cmt0.
103                encode())
104         elif selected_cat == "CAT_3":
105             cmt0[i] = hash.SHA3_384_HASH(data_to_hash_cmt0.
106                encode())
107         elif selected_cat == "CAT_5":
108             cmt0[i] = hash.SHA3_512_HASH(data_to_hash_cmt0.
109                encode())
110         else:
111             raise ValueError("Category_error!")
112
113     elif selected_rsdp == "RSDP":
114         data_to_hash_cmt0 = s_tilde_str + sigma_i_str +
115            salt_str + i_str
116         if selected_cat == "CAT_1":
117             cmt0[i] = hash.SHA3_256_HASH(data_to_hash_cmt0.
118                encode())
119         elif selected_cat == "CAT_3":
120             cmt0[i] = hash.SHA3_384_HASH(data_to_hash_cmt0.
121                encode())
122         elif selected_cat == "CAT_5":
123             cmt0[i] = hash.SHA3_512_HASH(data_to_hash_cmt0.
124                encode())
125         else:
126             raise ValueError("Category_error!")
127     else:
128         raise ValueError("Problem_error!")
129
130     # Merkle Root and Commitment Hashing
131     d0, tree = merkle.merkle_root_lnh(cmt0, selected_cat)
132     tree = tree[::-1]
133
134     # First Challenge vector extraction
135
136     if selected_cat == "CAT_1":
137         dm = hash.SHA3_256_HASH(message)
138         dbeta = hash.SHA3_256_HASH(dm + d0 + salt)
139         beta = csprngs.SHAKE_128_vec_star_(dbeta, t, q)
140     elif selected_cat == "CAT_3":

```

```

134     dm = hash.SHA3_384_HASH(message)
135     dbeta = hash.SHA3_384_HASH(dm + d0 + salt)
136     beta = csprngs.SHAKE_256_vec_star_(dbeta, t, q)
137 elif selected_cat == "CAT_5":
138     dm = hash.SHA3_512_HASH(message)
139     dbeta = hash.SHA3_512_HASH(dm + d0 + salt)
140     beta = csprngs.SHAKE_256_vec_star_(dbeta, t, q)
141 else:
142     raise ValueError("Category_Error!")
143
144 # Computation of First Responses
145
146 j= 0
147
148 for i in range(t):
149     for j in range(n):
150         e_prime[j] = (g**eta_prime[i][j]) % q
151
152     e_prime_vec = vector(e_prime)
153     temp_i = scalar_vector_product(beta[i], e_prime_vec, q)
154     temp_vec = vector(temp_i)
155     u_prime_vec = vector(u_prime[i])
156
157     y[i] = component_wise_addition(u_prime_vec, temp_vec, q)
158
159 # Second Challenge vector extraction
160 y_str = ''.join(map(str, y))
161 dbeta_str = ''.join(map(str, dbeta))
162 input = y_str + dbeta_str
163
164 if selected_cat == "CAT_1":
165     db = hash.SHA3_256_HASH(input.encode())
166     b = csprngs.SHAKE_128_vec_weighted(db, t, 2, w)
167 elif selected_cat == "CAT_3":
168     db = hash.SHA3_384_HASH(input.encode())
169     b = csprngs.SHAKE_256_vec_weighted(db, t, 2, w)
170 elif selected_cat == "CAT_5":
171     db = hash.SHA3_512_HASH(input.encode())
172     b = csprngs.SHAKE_256_vec_weighted(db, t, 2, w)
173 else:
174     raise ValueError("Category_error!")
175
176 # Computation of Second Responses
177 proof = merkle.merkle_proof(tree, cmt0, b)
178
179 seed_path = seed_tree.SeedPaths(seed_tree_struct, t, b)
180

```



```

181 # Signature composition
182
183 if selected_rsdpg == "RSDPG":
184     rsp0 = utils.initialize_couple_vector(t-w, n, m, q, z)
185 elif selected_rsdpg == "RSDP":
186     rsp0 = utils.initialize_couple_vector(t-w, n, n, q, z)
187 else:
188     raise ValueError("Problem_error!")
189
190 j = 0
191
192 for i in range(t):
193     if b[i] == 0:
194         if selected_rsdpg == "RSDPG":
195             rsp0[j] = (y[i], delta[i])
196         elif selected_rsdpg == "RSDP":
197             rsp0[j] = (y[i], sigma[i])
198         else:
199             raise ValueError("Problem_error!")
200         j += 1
201
202 bytes_proof = pickle.dumps(proof)
203 bytes_seed_path = pickle.dumps(seed_path)
204 bytes_rsp0 = pickle.dumps(rsp0)
205
206 proof_len = len(bytes_proof)
207 seed_path_len = len(bytes_seed_path)
208 rsp0_len = len(bytes_rsp0)
209
210 tuple_signature = (salt, d0, db, bytes_proof, bytes_seed_path
211                  , bytes_rsp0)
212
213 if selected_cat == "CAT_1":
214     format = f'{2*seed_byte_length}s_32s_32s_{proof_len}s_{
215             seed_path_len}s_{rsp0_len}s'
216 elif selected_cat == "CAT_3":
217     format = f'{2*seed_byte_length}s_48s_48s_{proof_len}s_{
218             seed_path_len}s_{rsp0_len}s'
219 elif selected_cat == "CAT_5":
220     format = f'{2*seed_byte_length}s_64s_64s_{proof_len}s_{
221             seed_path_len}s_{rsp0_len}s'
222 else:
223     raise ValueError("Category_error!")
224
225 signature = struct.pack(format, *tuple_signature)
226
227 return signature, format

```

Listato 4.15: Codice relativo alla generazione della firma di CROSS SC

## Verifica della firma

```

1  # SIGNATURE VERIFICATION ALGORITHM
2
3  def CROSS_verify_one(seed_pk, s, msg, signature, f):
4      # Key material expansion
5      if selected_rsdp == "RSDPG":
6          seed_v, seed_w = expand_public_seed(seed_pk)
7          V = utils.create_random_matrix_old(Fq, n-k, k, seed_v)
8          W = utils.create_random_matrix_old(Fz, m, n-m, seed_w)
9          Im = Matrix.identity(m)
10         Mg = Im.augment(W, subdivide=True)
11
12         elif selected_rsdp == "RSDP":
13             V = utils.create_random_matrix_old(Fq, n-k, k, seed_pk)
14         else:
15             raise ValueError("Problem_selection_wrong")
16
17         Id = Matrix.identity(n-k)
18         H = Id.augment(V, subdivide=True)
19         decoded = struct.unpack(f, signature)
20
21         salt = decoded[0]
22         d0 = decoded[1]
23         db = decoded[2]
24         bytes_proof = decoded[3]
25         bytes_seed_path = decoded[4]
26         bytes_rsp0 = decoded[5]
27
28         proof = pickle.loads(bytes_proof)
29         seed_path = pickle.loads(bytes_seed_path)
30         rsp0 = pickle.loads(bytes_rsp0)
31
32         # Challenge recomputation
33         if selected_cat == "CAT_1":
34             dm = hash.SHA3_256_HASH(msg)
35             dbeta = hash.SHA3_256_HASH(dm + d0 + salt)
36             beta = csprngs.SHAKE_128_vec_star_(dbeta, t, q)
37             b = csprngs.SHAKE_128_vec_weighted(db, t, 2, w)
38         elif selected_cat == "CAT_3":
39             dm = hash.SHA3_384_HASH(msg)
40             dbeta = hash.SHA3_384_HASH(dm + d0 + salt)

```

```

41     beta = csprngs.SHAKE_256_vec_star_(dbeta, t, q)
42     b = csprngs.SHAKE_256_vec_weighted(db, t, 2, w)
43     elif selected_cat == "CAT_5":
44         dm = hash.SHA3_512_HASH(msg)
45         dbeta = hash.SHA3_512_HASH(dm + d0 + salt)
46         beta = csprngs.SHAKE_256_vec_star_(dbeta, t, q)
47         b = csprngs.SHAKE_256_vec_weighted(db, t, 2, w)
48     else:
49         raise ValueError("Category_Error!")
50
51     seed_list = seed_tree.Recompute_Leaves(seed_path, b, salt,
52         selected_cat, seed_byte_length)
53
54     cmt0 = [0] * t
55     j = 0
56     j_rsp = 0
57     e_prime = [0]*n
58     y = [0*n]*t
59     if selected_rsdpg == "RSDPG":
60         delta = [0*m]*t
61         sigma = [0*n]*t
62         v = [0]*n
63         eta_prime = [0*n]*t
64         u_prime = [0*n]*t
65
66     for i in range(t):
67         if b[i] == 1:
68             i_str = str(i)
69             salt_str = ''.join(map(str, salt))
70             seed_u_prime, seed_e_prime = expand_public_seed(
71                 seed_list[i])
72
73             if selected_rsdpg == "RSDPG":
74                 if selected_cat == "CAT_1":
75                     zi_prime = csprngs.SHAKE_128_vec(seed_e_prime,
76                         m, z)
77                 elif selected_cat == "CAT_3" or selected_cat == "
78                     CAT_5":
79                     zi_prime = csprngs.SHAKE_256_vec(seed_e_prime,
80                         m, z)
81                 else:
82                     raise ValueError("Category_error!")
83
84             zi_i_vec = vector(zi_prime)
85             eta_prime[i] = vector_matrix_product(zi_i_vec, Mg,
86                 z)

```

```

82     elif selected_rsdp == "RSDP":
83         if selected_cat == "CAT_1":
84             eta_prime[i] = csprngs.SHAKE_128_vec(
85                 seed_e_prime, n, z)
86         elif selected_cat == "CAT_3" or selected_cat == "
87             CAT_5":
88             eta_prime[i] = csprngs.SHAKE_256_vec(
89                 seed_e_prime, n, z)
90         else:
91             raise ValueError("Category_error!")
92     else:
93         continue
94
95     for j in range(n):
96         e_prime[j] = (g**eta_prime[i][j]) % q
97
98     if selected_cat == "CAT_1":
99         u_prime[i] = csprngs.SHAKE_128_vec(seed_u_prime, n
100             , q)
101     elif selected_cat == "CAT_3" or selected_cat == "CAT_5
102         ":
103         u_prime[i] = csprngs.SHAKE_256_vec(seed_u_prime, n
104             , q)
105     else:
106         raise ValueError("Category_error!")
107
108     e_prime_vec = vector(e_prime)
109     temp_i = scalar_vector_product(beta[i], e_prime_vec, q
110         )
111     temp_vec = vector(temp_i)
112     u_prime_vec = vector(u_prime[i])
113     y[i] = component_wise_addition(u_prime_vec, temp_vec,
114         q) # if the leaves are correctly recomputed y[i]s
115         must be identical for b[i]=1
116
117 elif b[i] == 0:
118     if selected_rsdp == "RSDPG":
119         y[i] = rsp0[j_rsp][0]
120         delta[i] = rsp0[j_rsp][1]
121         boolean = check_vector(delta[i], z)
122         assert boolean == True, "boolean_no_true"
123         delta_vec = vector(delta[i])
124         sigma[i] = vector_matrix_product(delta_vec, Mg, z)
125
126     for j in range(n):
127         v[j] = (g**sigma[i][j]) % q
128
129

```

```

120     v_vec = vector(v)
121     y_i_vec = vector(y[i])
122
123     y_prime = component_wise_multiply(v_vec, y_i_vec,
124                                       q)
125
126     y_prime_vec = vector(y_prime)
127     temp1 = vector_matrix_product_star(y_prime_vec, H.
128                                       transpose(), q)
129     s_vec = vector(s)
130     temp2 = scalar_vector_product(beta[i], s_vec, q)
131     temp1_vec = vector(temp1)
132     temp2_vec = vector(temp2)
133
134     s_tilde = component_wise_subtraction(temp1_vec,
135                                          temp2_vec, q)
136     for x in range(len(s_tilde)):
137         if s_tilde[x] == 0:
138             s_tilde[x] = 1
139
140     s_tilde_str = ''.join(map(str, s_tilde))
141     delta_i_str = ''.join(map(str, delta[i]))
142     salt_str = ''.join(map(str, salt))
143     i_str = str(i)
144
145     data_to_encode0 = s_tilde_str + delta_i_str +
146                      salt_str + i_str
147
148     if selected_cat == "CAT_1":
149         cmt0[i] = hash.SHA3_256_HASH(data_to_encode0.
150                                     encode())
151     elif selected_cat == "CAT_3":
152         cmt0[i] = hash.SHA3_384_HASH(data_to_encode0.
153                                     encode())
154     elif selected_cat == "CAT_5":
155         cmt0[i] = hash.SHA3_512_HASH(data_to_encode0.
156                                     encode())
157     else:
158         raise ValueError("Category_error!")
159
160 elif selected_rsdp == "RSDP": #RSDP
161     y[i] = rsp0[j_rsp][0]
162     sigma[i] = rsp0[j_rsp][1]
163     boolean = check_vector(sigma[i], z)
164     assert boolean == True, "boolean_no_true"
165
166 for j in range(n):

```

```

160         v[j] = (g**sigma[i][j]) % q
161
162     v_vec = vector(v)
163     y_i_vec = vector(y[i])
164     y_prime = component_wise_multiply(v_vec, y_i_vec,
165         q)
166
167     y_prime_vec = vector(y_prime)
168
169     temp1 = vector_matrix_product_star(y_prime_vec, H.
170         transpose(), q)
171
172     s_vec = vector(s)
173     temp2 = scalar_vector_product(beta[i], s_vec, q)
174
175     temp1_vec = vector(temp1)
176     temp2_vec = vector(temp2)
177
178     s_tilde = component_wise_subtraction(temp1_vec,
179         temp2_vec, q)
180     for x in range(len(s_tilde)):
181         if s_tilde[x] == 0:
182             s_tilde[x] = 1
183
184     s_tilde_str = ''.join(map(str, s_tilde))
185
186     sigma_i_str = ''.join(map(str, sigma[i]))
187     salt_str = ''.join(map(str, salt))
188     i_str = str(i)
189
190     if selected_cat == "CAT_1":
191         data_to_encode0 = s_tilde_str + sigma_i_str +
192             salt_str + i_str
193         cmt0[i] = hash.SHA3_256_HASH(data_to_encode0.
194             encode())
195     elif selected_cat == "CAT_3":
196         data_to_encode0 = s_tilde_str + sigma_i_str +
197             salt_str + i_str
198         cmt0[i] = hash.SHA3_384_HASH(data_to_encode0.
199             encode())
200     elif selected_cat == "CAT_5":
201         data_to_encode0 = s_tilde_str + sigma_i_str +
202             salt_str + i_str
203         cmt0[i] = hash.SHA3_512_HASH(data_to_encode0.
204             encode())
205     else:
206         raise ValueError("Category_error!")

```

```

198         else:
199             continue
200
201         j_rsp += 1
202     else:
203         continue
204
205     d0_prime = merkle.recompute_root(cmt0, proof, b, selected_cat
        , seed_byte_length)
206
207     y_str = ''.join(map(str, y))
208     dbeta_str = ''.join(map(str, dbeta))
209     input = y_str + dbeta_str
210
211     if selected_cat == "CAT_1":
212         db_prime = hash.SHA3_256_HASH(input.encode())
213     elif selected_cat == "CAT_3":
214         db_prime = hash.SHA3_384_HASH(input.encode())
215     elif selected_cat == "CAT_5":
216         db_prime = hash.SHA3_512_HASH(input.encode())
217     else:
218         raise ValueError("Category_error!")
219
220     if d0 == d0_prime and db == db_prime:
221         return True
222     else:
223         if not d0 == d0_prime:
224             print("d0_different_from_d0_prime")
225         if not db == db_prime:
226             print("db_different_from_db_prime")
227         return False

```

Listato 4.16: Codice relativo alla verifica della firma di CROSS SC

## Main

```

1  #CROSS SC Main
2
3  if __name__ == "__main__":
4      seed_sk, seed_pk, s = CROSS_keygen()
5      sign, f = CROSS_sign_one(seed_sk, msg)
6      bool = CROSS_verify_one(seed_pk, s, msg, sign, f)
7      print(bool)

```

Listato 4.17: Codice relativo al main di CROSS SC

**CSPRNG**

csprngs.py

```

1  from base64 import b64encode
2  from Crypto.Cipher import AES
3  from Crypto.Random import get_random_bytes
4  from Crypto.Hash import SHAKE128
5  from Crypto.Hash import SHAKE256
6  import random
7  import math
8
9  def AES_CTR(data, len):
10     key = get_random_bytes(len)
11     cipher = AES.new(key, AES.MODE_CTR)
12     ct_bytes = cipher.encrypt(data)
13     nonce = b64encode(cipher.nonce).decode('utf-8')
14     ct = b64encode(ct_bytes).decode('utf-8')
15     return ct
16
17  def AES_CTR_CSPRNG(seed, len, dim, field_module):
18     key = get_random_bytes(len)
19     cipher = AES.new(key, AES.MODE_CTR)
20     ct_bytes = cipher.encrypt(seed * dim)
21     #nonce = b64encode(cipher.nonce).decode('utf-8')
22     #ct = b64encode(ct_bytes).decode('utf-8')
23     vector = [int.from_bytes(ct_bytes[i:i+1], byteorder='big') %
24               field_module for i in range(dim)]
25     return vector
26
27  def SHAKE_128(data, len):
28     shake = SHAKE128.new()
29     shake.update(data)
30     l = int(len)
31     output = shake.read(l) #can be .hex()
32     return output
33
34  def SHAKE_256(data, len):
35     shake = SHAKE256.new()
36     shake.update(data)
37     l = int(len)
38     output = shake.read(l) # can be .hex()
39     return output
40
41  def SHAKE_128_vec(seed, dim, field_module):
42     shake = SHAKE128.new()
43     shake.update(seed)

```



```

43     temp = shake.read(dim)
44     vector = [int(temp[i]) % field_module for i in range(dim)]
45     return vector
46
47 def SHAKE_256_vec(seed, dim, field_module):
48     shake = SHAKE256.new()
49     shake.update(seed)
50     temp = shake.read(dim)
51     vector = [int(temp[i]) % field_module for i in range(dim)]
52     return vector
53
54 def SHAKE_128_vec_star(seed, dim, field_module):
55     shake = SHAKE128.new()
56     shake.update(seed)
57     temp = shake.read(dim)
58     vector = [int(temp[i]) % field_module for i in range(dim)]
59     for i in range(dim):
60         if vector[i] == 0:
61             vector[i] = int(temp[i+1]) % field_module
62     return vector
63
64 def SHAKE_128_vec_star_(seed, dim, field_module):
65     shake = SHAKE128.new()
66     shake.update(seed)
67     vector = [0]*dim
68     base = math.ceil((math.log(field_module, 2)))
69     for i in range(dim):
70         temp1 = shake.read(2**base)
71         temp = int.from_bytes(temp1, byteorder='big')
72         vector[i] = temp % field_module
73         while vector[i] == 0:
74             temp1 = shake.read(2**base)
75             temp = int.from_bytes(temp1, byteorder='big')
76             vector[i] = temp % field_module
77     return vector
78
79 def SHAKE_256_vec_star_(seed, dim, field_module):
80     shake = SHAKE256.new()
81     shake.update(seed)
82     vector = [0]*dim
83     base = math.ceil((math.log(field_module, 2)))
84     for i in range(dim):
85         temp1 = shake.read(2**base)
86         temp = int.from_bytes(temp1, byteorder='big')
87         vector[i] = temp % field_module
88         while vector[i] == 0:
89             temp1 = shake.read(2**base)

```

```

90         temp = int.from_bytes(temp1, byteorder='big')
91         vector[i] = temp % field_module
92     return vector
93
94 def SHAKE_256_vec_star(seed, dim, field_module, q):
95     shake = SHAKE256.new(q)
96     shake.update(seed)
97     temp = shake.read(2*dim)
98     vector = [int(temp[i]) % field_module for i in range(dim)]
99     for i in range(dim):
100         if vector[i] == 0:
101             vector[i] = int(temp[i+1]) % field_module
102     return vector
103
104 def SHAKE_128_vec_weighted(seed, dim, field_module, w):
105     shake = SHAKE128.new()
106     shake.update(seed)
107     temp = shake.read(dim)
108     vector = [int(temp[i]) % field_module for i in range(dim)]
109
110     if w == 0:
111         vector = [0] * dim
112         return vector
113     elif w == dim:
114         vector = [1] * dim
115         return vector
116     elif w < 0 or w > dim:
117         raise ValueError("Not valid Hamming Weight")
118
119     current_weight = sum(vector)
120
121     if current_weight == w:
122         return vector
123     elif current_weight < w:
124         missing_bits = w - current_weight
125         for i in range(dim):
126             if missing_bits == 0:
127                 break
128             if vector[i] == 0:
129                 vector[i] = 1
130                 missing_bits -= 1
131     else:
132         extra_bits = current_weight - w
133         while extra_bits > 0:
134             index_to_change = random.choice([i for i, bit in
135                 enumerate(vector) if bit == 1])
135             vector[index_to_change] = 0

```

```

136         extra_bits -= 1
137
138     random.seed(seed)
139     random.shuffle(vector)
140     return vector
141
142 def SHAKE_256_vec_weighted(seed, dim, field_module, w):
143     shake = SHAKE256.new()
144     shake.update(seed)
145     temp = shake.read(dim)
146     vector = [int(temp[i]) % field_module for i in range(dim)]
147
148     if w == 0:
149         vector = [0] * dim
150         return vector
151     elif w == dim:
152         vector = [1] * dim
153         return vector
154     elif w < 0 or w > dim:
155         raise ValueError("Not valid Hamming Weight")
156
157     current_weight = sum(vector)
158
159     if current_weight == w:
160         return vector
161     elif current_weight < w:
162         missing_bits = w - current_weight
163         for i in range(dim):
164             if missing_bits == 0:
165                 break
166             if vector[i] == 0:
167                 vector[i] = 1
168                 missing_bits -= 1
169     else:
170         extra_bits = current_weight - w
171         while extra_bits > 0:
172             index_to_change = random.choice([i for i, bit in
173                 enumerate(vector) if bit == 1])
174             vector[index_to_change] = 0
175             extra_bits -= 1
176
177     random.seed(seed)
178     random.shuffle(vector)
179     return vector

```

Listato 4.18: Funzioni CSPRNG

**HASH****hash.py**

```
1 from Crypto.Hash import SHA3_256
2 from Crypto.Hash import SHA3_384
3 from Crypto.Hash import SHA3_512
4
5 def SHA3_256_HASH(data):
6     hasher = SHA3_256.new()
7     hasher.update(data)
8     output = hasher.digest()
9     return output
10
11 def SHA3_384_HASH(data):
12     hasher = SHA3_384.new()
13     hasher.update(data)
14     output = hasher.digest()
15     return output
16
17 def SHA3_512_HASH(data):
18     hasher = SHA3_512.new()
19     hasher.update(data)
20     output = hasher.digest()
21     return output
```

Listato 4.19: Funzioni HASH

**UTILS****merkle.py**

```
1 from HASH import hash
2 import math
3 import secrets
4
5 def calculate_hash(leaf, selected_cat):
6     if selected_cat == "CAT_1":
7         return hash.SHA3_256_HASH(leaf)
8     elif selected_cat == "CAT_3":
9         return hash.SHA3_384_HASH(leaf)
10    elif selected_cat == "CAT_5":
11        return hash.SHA3_512_HASH(leaf)
12
13 def merkle_root(leaves, selected_cat):
14     if not leaves:
```

```

15     return None, []
16
17     hashed_leaves = list(map(lambda leaf: calculate_hash(leaf,
18                             selected_cat), leaves))
19
20     #hashed_leaves = list(map(calculate_hash(selected_cat),
21                             leaves))
22     merkle_tree = [hashed_leaves]
23
24     while len(hashed_leaves) > 1:
25         next_level = []
26         for i in range(0, len(hashed_leaves), 2):
27             #print("\n\n" , " i fa sempre comodo root:", i)
28             if i + 1 < len(hashed_leaves):
29                 combined_hash = calculate_hash(hashed_leaves[i] +
30                                                 hashed_leaves[i + 1], selected_cat)
31                 next_level.append(combined_hash)
32             else: #se ho una foglia isolata la ricopio sul padre
33                 next_level.append(hashed_leaves[i])
34
35         merkle_tree.append(next_level)
36         hashed_leaves = next_level
37
38     return hashed_leaves[0], merkle_tree
39
40 def merkle_root_lnh(leaves, selected_cat): #leaves not hashed
41     if not leaves:
42         return None, []
43
44     merkle_tree = [leaves]
45
46     #print("merkol tree :", merkle_tree)
47     #print("len livs :", len(leaves))
48     #print("livs :", leaves)
49     #print("tipo foglia :", type(leaves[0]))
50
51     while len(leaves) > 1:
52         next_level = []
53         if len(leaves) % 2 == 1:
54             for i in range(0, len(leaves)-2, 2):
55                 #print("i fa sempre comodo root:", i)
56                 combined_hash = calculate_hash(leaves[i]+leaves[i
57                                                 +1], selected_cat)
58                 #print("I generated a father hash from:\n", leaves
59                       [i], "\n\n", leaves[i + 1], "\n\n AND IT IS:",
60                       combined_hash, "\n\n")
61                 next_level.append(combined_hash)

```

```

56         #print("Last element copied cause single :", leaves
57             [-1])
58     next_level.append(leaves[-1])
59     else:
60         for i in range(0, len(leaves)-1, 2):
61             #print("i fa sempre comodo root:", i)
62             combined_hash = calculate_hash(leaves[i] + leaves[
63                 i + 1], selected_cat)
64             #print("I generated a father hash from:\n", leaves
65                 [i], "\n\n", leaves[i + 1], "\n\n AND IT IS:",
66                 combined_hash, "\n\n")
67             next_level.append(combined_hash)
68
69     merkle_tree.append(next_level)
70     leaves = next_level
71
72     return leaves[0], merkle_tree
73
74 def count_nodes_at_each_level(tree, level = 0, level_counts=None)
75 :
76     if level_counts is None:
77         level_counts = [0] * len(tree)
78
79     for i in tree:
80         vector = i
81         level_counts[level] = len(vector)
82         level += 1
83
84     return level_counts
85
86 def merkle_proof(T, cmt0, b):
87     t = len(cmt0)
88     num_nodes = 2*t - 1
89     level_num = 0
90     level = int(math.ceil(math.log2(t) + 1))
91     level_nodes = count_nodes_at_each_level(T, level_num)
92
93     proof = []
94
95     T_prime = [0] * len(T)
96
97     for i in range(level):
98         T_prime[i] = [0] * level_nodes[i]
99
100    # leaves initialization
101    for node in level_nodes: # from root to leaf
102        #print("node:", node)

```

```

98     if node == 1: # se ho 1 elemento a quel livello
99         T_prime[0][0] = 0 #root
100    elif node == t: # se ho 243 elementi
101        for j in range(node):
102            if b[j] == 0:
103                T_prime[-1][j] = 1
104    else:
105        for j in range(node):
106            T_prime[level_nodes.index(node)][j] = 0
107
108    # Traversing tree
109    for node in reversed(level_nodes): # from leaf to root
110        if node % 2 == 1:
111            if T_prime[level_nodes.index(node)][-1] == 1:
112                T_prime[level_nodes.index(node)-1][-1] = 1
113            elif T_prime[level_nodes.index(node)][-1] == 0:
114                T_prime[level_nodes.index(node)-1][-1] = 0
115            else:
116                continue
117
118        for i in range(0, node-2, 2): # from left to right
119            if T_prime[level_nodes.index(node)][i] == 1 and
120                T_prime[level_nodes.index(node)][i+1] == 1: #
121                if both COMPUTED
122                T_prime[level_nodes.index(node)-1][int(i/2)] =
123                    1
124            elif T_prime[level_nodes.index(node)][i] == 1 and
125                T_prime[level_nodes.index(node)][i+1] == 0:
126                T_prime[level_nodes.index(node)-1][int(i/2)] =
127                    1 # the father is set as COMPUTED
128                proof.insert(0, T[level_nodes.index(node)][i
129                    +1])
130            elif T_prime[level_nodes.index(node)][i] == 0 and
131                T_prime[level_nodes.index(node)][i+1] == 1:
132                T_prime[level_nodes.index(node)-1][int(i/2)] =
133                    1 # the father is set as COMPUTED
134                proof.insert(0, T[level_nodes.index(node)][i])
135            else: # if both are UNCOMPUTED
136                continue
137    else:
138
139        for i in range(0, node-1, 2): # from left to right
140            if T_prime[level_nodes.index(node)][i] == 1 and
141                T_prime[level_nodes.index(node)][i+1] == 1: #

```

```

136         if both COMPUTED
137             T_prime[level_nodes.index(node)-1][int(i/2)] =
138                 1
139         elif T_prime[level_nodes.index(node)][i] == 1 and
140             T_prime[level_nodes.index(node)][i+1] == 0:
141             T_prime[level_nodes.index(node)-1][int(i/2)] =
142                 1 # the father is set as COMPUTED
143             proof.insert(0, T[level_nodes.index(node)][i
144                 +1])
145             #print("node inserted in proof:", T[level_nodes
146                 .index(node)][i+1])
147         elif T_prime[level_nodes.index(node)][i] == 0 and
148             T_prime[level_nodes.index(node)][i+1] == 1:
149             T_prime[level_nodes.index(node)-1][int(i/2)] =
150                 1 # the father is set as COMPUTED
151             proof.insert(0, T[level_nodes.index(node)][i])
152             #print("node inserted in proof:", T[level_nodes
153                 .index(node)][i])
154         else: # if both are UNCOMPUTED
155             continue
156     return proof
157
158 def initialize_tree(t):
159     height = math.ceil(math.log(t, 2)+1)
160     tree = [0] * height
161     ctr_ = 0
162
163     for i in range(height-1, 0, -1):
164         if i == height-1:
165             tree[height-1] = [0] * t
166             ctr_ = math.floor((t/2) + 1)
167             tree[height-2] = [0] * ctr_
168         elif i == 0:
169             tree[i] = [0]
170         else:
171             if ctr_ % 2 == 1:
172                 ctr_ = math.floor((ctr_/2) + 1)
173                 tree[i-1] = [0] * ctr_
174             else:
175                 ctr_ = int(ctr_/2)
176                 tree[i-1] = [0] * ctr_
177
178     return tree

```



```

174 def initialize_tree_bytes(t, leng):
175     height = math.ceil(math.log(t, 2)+1)
176     tree = [0] * height
177     ctr_ = 0
178
179     for i in range(height-1, 0, -1):
180         if i == height-1:
181             x = secrets.token_bytes(leng)
182             tree[height-1] = [x] * t
183             ctr_ = math.floor((t/2) + 1)
184             tree[height-2] = [x] * ctr_
185         elif i == 0:
186             tree[i] = [0]
187         else:
188             if ctr_ % 2 == 1:
189                 ctr_ = math.floor((ctr_/2) + 1)
190                 tree[i-1] = [x] * ctr_
191             else:
192                 ctr_ = int(ctr_/2)
193                 tree[i-1] = [x] * ctr_
194
195     return tree
196
197 def recompute_root(cmt0, proof, b, selected_cat, seed_byte_len):
198     t = len(cmt0)
199     level_num = 0
200     height = math.ceil(math.log(t, 2)+1)
201
202     T = initialize_tree_bytes(t, seed_byte_len)
203     T_prime = initialize_tree(t)
204
205     level_nodes = count_nodes_at_each_level(T_prime, level_num)
206
207     for i in range(t):
208         if b[i] == 0:
209             T_prime[-1][i] = 1
210             T[-1][i] = cmt0[i]
211         else:
212             T[-1][i] = []
213
214     ctr = len(proof)
215
216     # Recomputing T_prime and T
217     for node in reversed(level_nodes): # from leaf to root
218
219         if node % 2 == 1:
220             if T_prime[level_nodes.index(node)][-1] == 1:

```

```

221         T_prime[level_nodes.index(node)-1][-1] = 1
222         T[level_nodes.index(node)-1][-1] = T[level_nodes.
           index(node)][-1]
223     elif T_prime[level_nodes.index(node)][-1] == 0:
224         T_prime[level_nodes.index(node)-1][-1] = 0
225     else:
226         continue
227
228     for i in range(0, node-2, 2): # from left to right
229         if T_prime[level_nodes.index(node)][i] == 1 and
           T_prime[level_nodes.index(node)][i+1] == 1: #
           if both COMPUTED
230             T_prime[level_nodes.index(node)-1][int(i/2)] =
           1
231             T[level_nodes.index(node)-1][int(i/2)] =
           calculate_hash(T[level_nodes.index(node)][i
           ] + T[level_nodes.index(node)][i+1],
           selected_cat)
232
233         elif T_prime[level_nodes.index(node)][i] == 1 and
           T_prime[level_nodes.index(node)][i+1] == 0:
234             T_prime[level_nodes.index(node)-1][int(i/2)] =
           1 # the father is set as COMPUTED
235             T[level_nodes.index(node)][i+1] = proof[ctr-1]
236             ctr -= 1
237             T[level_nodes.index(node)-1][int(i/2)] =
           calculate_hash(T[level_nodes.index(node)][i
           ] + T[level_nodes.index(node)][i+1],
           selected_cat)
238
239         elif T_prime[level_nodes.index(node)][i] == 0 and
           T_prime[level_nodes.index(node)][i+1] == 1:
240             T_prime[level_nodes.index(node)-1][int(i/2)] =
           1 # the father is set as COMPUTED
241             T[level_nodes.index(node)][i] = proof[ctr-1]
242             ctr -= 1
243             T[level_nodes.index(node)-1][int(i/2)] =
           calculate_hash(T[level_nodes.index(node)][i
           ] + T[level_nodes.index(node)][i+1],
           selected_cat)
244
245         else: # if both are UNCOMPUTED
246             continue
247
248     else:
249         for i in range(0, node-1, 2): # from left to right

```

```

250     if T_prime[level_nodes.index(node)][i] == 1 and
251         T_prime[level_nodes.index(node)][i+1] == 1: #
252         if both COMPUTED
253             T_prime[level_nodes.index(node)-1][int(i/2)] =
254                 1
255             T[level_nodes.index(node)-1][int(i/2)] =
256                 calculate_hash(T[level_nodes.index(node)][i
257                     ] + T[level_nodes.index(node)][i+1],
258                     selected_cat)
259
260     elif T_prime[level_nodes.index(node)][i] == 1 and
261         T_prime[level_nodes.index(node)][i+1] == 0:
262         T_prime[level_nodes.index(node)-1][int(i/2)] =
263             1 # the father is set as COMPUTED
264
265         T[level_nodes.index(node)][i+1] = proof[ctr-1]
266         ctr -= 1
267         T[level_nodes.index(node)-1][int(i/2)] =
268             calculate_hash(T[level_nodes.index(node)][i
269                 ] + T[level_nodes.index(node)][i+1],
270                 selected_cat)
271
272     elif T_prime[level_nodes.index(node)][i] == 0 and
273         T_prime[level_nodes.index(node)][i+1] == 1:
274         T_prime[level_nodes.index(node)-1][int(i/2)] =
275             1 # the father is set as COMPUTED
276
277         T[level_nodes.index(node)][i] = proof[ctr-1]
278         ctr -= 1
279         T[level_nodes.index(node)-1][int(i/2)] =
280             calculate_hash(T[level_nodes.index(node)][i
281                 ] + T[level_nodes.index(node)][i+1],
282                 selected_cat)
283
284     else: # if both are UNCOMPUTED
285         continue
286
287 leaves = T[-1]
288 root = T[0][0]
289
290 return root

```

Listato 4.20: Funzioni per l'albero di Merkle

seed\_tree.py

```

1  from CSPRNG import csprngs
2  from UTILS import merkle
3  import os
4  import math
5
6  def SeedTree(Master_Seed, Salt, t, selected_cat, seed_byte_len):
7      tree = []
8      leaves = []
9
10     root = Master_Seed + Salt
11     tree.append([root])
12     i=0
13     while len(leaves) < t:
14         current_level = tree[-1]
15         next_level = []
16         for node in enumerate(current_level):
17             if selected_cat == "CAT_1":
18                 child1 = csprngs.SHAKE_128(node[1] + Salt + ((i*2)
19                 +1).to_bytes(4, byteorder='big'),
20                 seed_byte_len)
21                 child2 = csprngs.SHAKE_128(node[1] + Salt + ((i*2)
22                 +2).to_bytes(4, byteorder='big'),
23                 seed_byte_len)
24             else:
25                 child1 = csprngs.SHAKE_256(node[1] + Salt + ((i*2)
26                 +1).to_bytes(4, byteorder='big'),
27                 seed_byte_len)
28                 child2 = csprngs.SHAKE_256(node[1] + Salt + ((i*2)
29                 +2).to_bytes(4, byteorder='big'),
30                 seed_byte_len)
31
32             next_level.extend([child1, child2])
33             leaves.extend([child1, child2])
34             i += 2
35
36         tree.append(next_level)
37
38         if len(next_level) > t:
39             break
40
41         leaves = next_level[:]
42
43     level_num = 0
44     level_nodes = merkle.count_nodes_at_each_level(tree,
45     level_num)

```

```

38     return tree
39
40 def SeedTree_x(Master_Seed, Salt, t, selected_cat, seed_byte_len)
41     :
42     tree = []
43     leaves = []
44
45     root = Master_Seed + Salt
46     tree.append([root])
47     i = 0
48     while len(leaves) < t:
49         current_level = tree[-1]
50         next_level = []
51         for node in current_level:
52             if selected_cat == "CAT_1":
53                 childs = csprngs.SHAKE_128(node + Salt, 2*
54                     seed_byte_len) #you can add "+ i.to_bytes(4,
55                     byteorder='big')"
56                 child1 = childs[:seed_byte_len]
57                 child2 = childs[seed_byte_len:]
58
59             else:
60                 childs = csprngs.SHAKE_256(node + Salt, 2*
61                     seed_byte_len)
62                 child1 = childs[:seed_byte_len]
63                 child2 = childs[seed_byte_len:]
64
65             next_level.extend([child1, child2])
66             i += 1
67
68         tree.append(next_level)
69
70         if len(next_level) > t:
71             break
72
73         leaves = next_level[:]
74
75     level_num = 0
76     level_nodes = merkle.count_nodes_at_each_level(tree,
77         level_num)
78
79     return tree
80
81 def convert_to_tree_structure(tree):
82     tree_structure = []
83     level_size = 1
84     current_level = []

```

```

80
81     for node in tree:
82         if node is not None:
83             current_level.append(node)
84
85             if len(current_level) == level_size:
86                 tree_structure.append(current_level)
87                 current_level = []
88                 level_size *= 2
89
90     if current_level:
91         tree_structure.append(current_level)
92
93     return tree_structure
94
95 def SeedPaths(Seed_Tree, t, b):
96     seed_path = []
97     node_to_publish = [0]*len(Seed_Tree)
98     level_num = 0
99     level = int(math.ceil(math.log2(t) + 1))
100    level_nodes = merkle.count_nodes_at_each_level(Seed_Tree,
101                                                    level_num)
102
103    for i in range(level):
104        node_to_publish[i] = [0] * level_nodes[i]
105
106    # Leaves configuration
107    for i in range(t): #make sense to go from 0 to t-1
108        if b[i] == 0:
109            node_to_publish[-1][i] = 0
110        elif b[i] == 1:
111            node_to_publish[-1][i] = 1
112
113    # Nodes configuration and publication
114    for node in reversed(level_nodes):
115        for i in range(0, node-1, 2):
116
117            if node_to_publish[level_nodes.index(node)][i] == 1
118                and node_to_publish[level_nodes.index(node)][i+1]
119                == 1:
120                node_to_publish[level_nodes.index(node)-1][int(i
121                    /2)] = 1 # set father to 1
122
123            elif node_to_publish[level_nodes.index(node)][i] == 1
124                and node_to_publish[level_nodes.index(node)][i+1]
125                == 0:

```

```

20         seed_path.insert(0, Seed_Tree[level_nodes.index(
21             node)][i])
22     elif node_to_publish[level_nodes.index(node)][i] == 0
23         and node_to_publish[level_nodes.index(node)][i+1]
24         == 1:
25         seed_path.insert(0, Seed_Tree[level_nodes.index(
26             node)][i+1])
27     else:
28         continue
29
30     return seed_path
31
32 def SeedPaths_list_test(Seed_Tree, t, b):
33
34     seed_path = []
35
36     level = int(math.ceil(math.log2(t) + 1))
37
38     # retrieve leaves number
39     leaves_num = len(Seed_Tree[-1])
40
41     # conversion from tree to list
42     Seed_Tree_List = []
43     for sub_vector in Seed_Tree:
44         Seed_Tree_List.extend(sub_vector)
45
46     node_to_publish = [0]*len(Seed_Tree_List)
47
48     two_pow = 2 ** math.ceil(math.log2(t))
49
50     x = two_pow - t
51
52     first_cut = node_to_publish[-x:]
53
54     node_to_publish = node_to_publish[:-x]
55
56     second_cut = node_to_publish[-t:]
57
58     node_to_publish = node_to_publish[:-t]
59
60     for i in range(len(second_cut)):
61         if not len(b) == len(second_cut):
62             print("length doesn't match")
63         else:
64             if b[i] == 1:

```

```

163         second_cut[i] = 1
164     else:
165         continue
166
167     node_to_publish = node_to_publish + second_cut
168     node_to_publish = node_to_publish + first_cut
169
170     # Nodes configuration
171     for j in (range(len(node_to_publish)-1, 2, -2)): # da 510 a 2
172         perche tolgo root
173         if node_to_publish[j] == 1 and node_to_publish[j-1] == 1:
174             node_to_publish[int((j/2)-1)] = 1
175         elif node_to_publish[j] == 1 and node_to_publish[j-1] ==
176             0:
177             seed_path = [Seed_Tree_List[j]] + seed_path[:]
178         elif node_to_publish[j] == 0 and node_to_publish[j-1] ==
179             1:
180             seed_path = [Seed_Tree_List[j-1]] + seed_path[:]
181         else:
182             continue
183
184     return seed_path
185
186 def SeedPaths_new(Seed_Tree, t, b):
187     seed_path = []
188     node_to_publish = [0]*len(Seed_Tree)
189     level_num = 0
190     level = int(math.ceil(math.log2(t) + 1))
191     level_nodes = merkle.count_nodes_at_each_level(Seed_Tree,
192         level_num)
193
194     for i in range(level):
195         node_to_publish[i] = [0] * level_nodes[i]
196
197     # Leaves configuration
198     for i in range(0, t-1):
199         if b[i] == 1:
200             node_to_publish[-1][i] = 1
201         else:
202             continue
203
204     # Nodes configuration
205     for lev in reversed(range(len(node_to_publish))):
206         for i in range(0, len(node_to_publish[lev])-1, 2):
207             if node_to_publish[lev][i] == 1 or node_to_publish[lev
208 ] [i+1] == 1:

```



```

204         node_to_publish[lev-1][int(i/2)] == 1 # set father
           to 1
205
206     # Nodes publication
207     for lev in range(len(node_to_publish)):
208         for i in range(0, len(node_to_publish[lev])-1):
209
210             if lev[-1] == level: #leaves level
211                 if node_to_publish[lev][i] == 1:
212                     seed_path.append(Seed_Tree[lev][i])
213             else:
214                 if node_to_publish[lev][i] == 1:
215                     seed_path.append(Seed_Tree[lev][i])
216                     node_to_publish[lev+1][i*2] = 0
217                     node_to_publish[lev+1][(i*2)+1] = 0
218                 else:
219                     continue
220
221     return seed_path
222
223 def SeedPaths_list(Seed_Tree, t, b):
224     seed_path = []
225
226     leaves_num = len(Seed_Tree[-1])
227
228     # conversion from tree to list
229     Seed_Tree_List = []
230     for sub_vector in Seed_Tree:
231         Seed_Tree_List.extend(sub_vector)
232
233     seed_tree_list_cuttet_leaves = Seed_Tree_List[:-(leaves_num -
234         t)]
235
236     temp_leaves = Seed_Tree_List[-leaves_num:]
237     leaves_from_list = temp_leaves[:t]
238
239     node_to_publish = [0]*len(seed_tree_list_cuttet_leaves)
240     level = int(math.ceil(math.log2(t) + 1))
241
242     # Leaves configuration
243     last_elems = node_to_publish[-t:]
244
245     for i in range(len(last_elems)):
246         if not len(b) == len(last_elems):
247             print("length doesn't match")
248         else:
249             if b[i] == 1:

```

```

249         last_elems[i] = 1
250     else:
251         continue
252
253     node_to_publish[-t:] = last_elems
254
255     x = (len(seed_tree_list_cuttet_leaves)-1)-t
256
257     # Nodes configuration
258     if node_to_publish[-1] == 1:
259         seed_path = [seed_tree_list_cuttet_leaves[-1]] +
260             seed_path[:]
261
262     for j in reversed(range(2, len(seed_tree_list_cuttet_leaves)
263         -1, 2)):
264         if node_to_publish[j] == 1 and node_to_publish[j-1] == 1:
265             node_to_publish[(j-1)//2] = 1
266         elif node_to_publish[j] == 1 and node_to_publish[j-1] ==
267             0:
268             seed_path = [seed_tree_list_cuttet_leaves[j]] +
269                 seed_path[:]
270         elif node_to_publish[j] == 0 and node_to_publish[j-1] ==
271             1:
272             seed_path = [seed_tree_list_cuttet_leaves[j-1]] +
273                 seed_path[:]
274         else:
275             continue
276
277     if b == last_elems:
278         print("b_and_last_elements_match!")
279
280     return seed_path
281
282 def two_pow(num):
283     two_pow = 2 ** math.ceil(math.log2(num))
284     return two_pow
285
286 def initialize_tree_bytes(t, leng):
287     height = math.ceil(math.log(t, 2) + 1)
288     tree = [0] * height
289     power = two_pow(t)
290
291     for i in range(height-1, -1, -1):
292         if i == 0: # root
293             power = 0
294             tree[0] = [b'0'*leng]
295         else:

```

```

290         tree[i] = [b'0'*leng] * power
291         power = power // 2
292
293     return tree
294
295 def initialize_tree(t):
296     height = math.ceil(math.log(t, 2) + 1) # 9
297     tree = [0] * height
298     power = two_pow(t)
299
300     for i in range(height-1, -1, -1): # da 8 a 0
301         if i == 0: # root
302             power = 0
303             tree[0] = [0]
304         else:
305             tree[i] = [0] * power
306             power = power // 2
307
308     return tree
309
310 def Recompute_Leaves(path, b, salt, selected_cat, seed_byte_len):
311     ctr = 0 # for path
312     t = len(b)
313     seed_list = []*t
314     height = int(math.ceil(math.log2(t) + 1))
315     level_num = 0
316
317     node_to_publish = initialize_tree(t)
318
319     tree = initialize_tree_bytes(t, seed_byte_len)
320
321     level_nodes = merkle.count_nodes_at_each_level(tree,
322         level_num)
323
324     level_nodes2 = merkle.count_nodes_at_each_level(
325         node_to_publish, level_num)
326
327     # Leaves configuration
328     for i in range(t):
329         if b[i] == 1:
330             node_to_publish[-1][i] = 1
331
332     # Nodes configuration and publication
333     for node in reversed(level_nodes): # from leaves to root
334         for i in range(0, node-1, 2):
335             if node_to_publish[level_nodes.index(node)][i] == 1
336                 and node_to_publish[level_nodes.index(node)][i+1]

```

```

334         == 1:
335             node_to_publish[level_nodes.index(node)-1][int(i
336                 /2)] = 1 # set father to 1
337         else:
338             continue
339     for node in(level_nodes): # from root to leaves
340         if node == 1: # root level
341             continue
342         elif level_nodes.index(node) == height-1: # leaves level
343             for i in reversed(range(node)): # from 256 to 1
344                 if node_to_publish[level_nodes.index(node)][i] ==
345                     0:
346                     seed_list.append(0)
347                 elif node_to_publish[level_nodes.index(node)][i]
348                     == 1:
349                     if node_to_publish[level_nodes.index(node)-1][
350                         math.floor(i/2)] == 0: # is a leaf in path
351                         seed_list.append(path[ctr])
352                         ctr += 1
353                     elif node_to_publish[level_nodes.index(node)
354                         -1][math.floor(i/2)] == 1: # is a leaf
355                         generated from parent node
356                         seed_list.append(tree[level_nodes.index(
357                             node)][i])
358                 else:
359                     continue
360     else:
361         for i in range(node-1, -1, -1):
362             if node_to_publish[level_nodes.index(node)][i] ==
363                 1 and node_to_publish[level_nodes.index(node)
364                 -1][math.floor(i/2)] == 0: # node from path
365                 if selected_cat == "CAT_1":
366                     childs = csprngs.SHAKE_128(path[ctr] + salt
367                         , 2*seed_byte_len) #you can add "+ i.
368                         to_bytes(4, byteorder='big')"
369                     ctr += 1
370                     tree[level_nodes.index(node)+1][i*2] =
371                         childs[:seed_byte_len]
372                     tree[level_nodes.index(node)+1][(i*2)+1] =
373                         childs[seed_byte_len:]
374                 else:
375                     childs = csprngs.SHAKE_256(path[ctr] + salt
376                         , 2*seed_byte_len)
377                     ctr += 1
378                     tree[level_nodes.index(node)+1][i*2] =
379                         childs[:seed_byte_len]

```

```

365         tree[level_nodes.index(node)+1][(i*2)+1] =
366             childs[seed_byte_len:]
367     elif node_to_publish[level_nodes.index(node)][i]
368         == 1 and node_to_publish[level_nodes.index(
369             node)-1][math.floor(i/2)] == 1: # node from
370         parent
371         if selected_cat == "CAT_1":
372             childs = csprngs.SHAKE_128(tree[level_nodes
373                 .index(node)][i] + salt, 2*
374                 seed_byte_len) #you can add "+ i.
375                 to_bytes(4, byteorder='big')"
376             tree[level_nodes.index(node)+1][i*2] =
377                 childs[:seed_byte_len]
378             tree[level_nodes.index(node)+1][(i*2)+1] =
379                 childs[seed_byte_len:]
380         else:
381             childs = csprngs.SHAKE_256(tree[level_nodes
382                 .index(node)][i] + salt, 2*
383                 seed_byte_len)
384             tree[level_nodes.index(node)+1][i*2] =
385                 childs[:seed_byte_len]
386             tree[level_nodes.index(node)+1][(i*2)+1] =
387                 childs[seed_byte_len:]
388         else:
389             continue
390     seed_list.reverse()
391     seed_list = seed_list[:t]
392     return seed_list

```

Listato 4.21: Funzioni per l'albero di Seed

**utils.py**

```

1  from sage.all import *
2  import numpy as np
3  import hashlib
4  import random
5  import sys
6
7  def create_random_matrix(seed, field_module, rows, cols):
8      seed_hash = hashlib.sha256(seed).digest()

```

```

9     seed_int = int.from_bytes(seed_hash, byteorder='big') %
        (2**32 - 1)
10    np.random.seed(seed_int)
11    matrix_temp = np.random.randint(0, field_module, size=(rows,
        cols))
12    matrix = np.asmatrix(matrix_temp)
13    return matrix
14
15    def create_random_matrix_old(field, rows, col, seed):
16        random.seed(bytes(seed))
17        M = Matrix(field, rows, col)
18        for i in range(rows):
19            for j in range(col):
20                M[i,j] = random.randint(0, field.order() - 1)
21        return M
22
23    def get_generator(q, z, Fz):
24        assert is_prime(q), "q_is_not_prime!"
25        assert is_prime(z), "z_is_not_prime!"
26        assert (q-1)%z == 0, "z_does_not_divide_q-1!"
27        alpha = Fz.primitive_element()
28        print("alpha_is:", alpha)
29        exp = (q-1)/z
30        g = alpha**exp
31        g_out = Integer(g)
32        return g_out
33
34    def add_in_field(element1, element2, prime):
35        return (element1 + element2) % prime
36
37    def multiply_in_field(element1, element2, prime):
38        return (element1 * element2) % prime
39
40    def initialize_couple_vector(vec_len, elem1_dim, elem2_dim,
        module1, module2):
41        vector = []
42        for _ in range(vec_len):
43            component_q = [random.randint(0, module1 - 1) for _ in
                range(elem1_dim)]
44            component_z = [random.randint(0, module2 - 1) for _ in
                range(elem2_dim)]
45            vector.append((component_q, component_z))
46
47        return vector
48
49    def initialize_vector(vec_len, elem_dim, field_module):
50        vector = []

```

```

51     for _ in range(vec_len):
52         component = [random.randint(0, field_module - 1) for _ in
53                       range(elem_dim)]
54         vector.append(component)
55     return vector
56
57 def data_weight(data):
58     data_size_bytes = sys.getsizeof(data)
59     data_size_kb = data_size_bytes // 1024
60     return data_size_kb

```

Listato 4.22: Funzioni generiche di utilità

### Script dei Parametri

#### CROSS\_fixed\_weight\_finder.trange.py

```

1  #!/usr/bin/python3
2  # This script computes a list of (round_number,number of
3  # commitments to reveal)
4  # pairs which provide 2^-lambda cheating probability for the
5  # attacker, considering
6  # the CROSS-ID protocol run with codes over F_q
7  # The parameter sets are hardcoded in the __main__ function: they
8  # define
9  # the security margin lambda, the value q and an interval of
10 # values for the
11 # number of rounds t, [t_high,t_low], to reduce the computational
12 # load
13
14 num_cores = 128
15 #####
16 # returns the exact number of bits to represent x
17 def bits_to_represent(x):
18     return ceil(log2(x+1))
19
20 #####
21 # function determining the equivalent number of rounds to achieve
22 # 2^-sec_parameter cheating probability, assuming a q/2(q-1) one
23 # for a single
24 # round

```

```

24 def find_number_of_random_chall_rounds(sec_parameter,q):
25     return ceil(sec_parameter / -log2(q/(2*q-1)))
26
27
28 #####
29 def soundness_error_2(param_list):
30     t,w,p,sec_parameter = param_list
31     min_cost_1 = 10**30
32     min_cost_2 = 10**30
33     min_cost = 10**30
34
35     best_t_star = 0
36
37     for t_star in range(1,100): #100 may need to be increased,
38         #but it seems to work
39         P_beta = sum([ comb(t,j) * ((1/(p-1))**j) * (1-1/(p-1))
40             ** (t-j) for j in range(t_star,t+1)])
41         if (P_beta <= 0):
42             continue
43         if -log2(P_beta)<sec_parameter: #continue only if cost of
44             #phase 1 is not above than SL
45             #Now doing estimate for second phase
46             P_b = 0
47             for j in range(t_star, t_star+10): #same here, t_star
48                 #+10 may be too small
49                 pr_j = ( comb(t,j)*((1/(p-1))**j)*(1-1/(p-1))**(t-
50                     j) )/P_beta
51                 pr_w_star = sum( [ (comb(j,w_star)**2) * comb(t-j,
52                     w-w_star) for w_star in range(0,min(j,w)+1)])
53                 # pr_w_star = sum( [ (comb(j,w_star)**2) * comb(t-j,
54                     w-w_star) for w_star in range(0,j+1)])
55                 P_b += (pr_j*pr_w_star)
56
57                 # P_b = P_b/(comb(t,w)**2)
58                 log2_P_b = log2(P_b)- log2(comb(t,w)**2)
59                 P_b = 2**log2_P_b
60                 # Compute cost of full attack
61                 cost = log2(1/P_beta+1/P_b)
62
63                 if cost < min_cost:
64                     min_cost = cost
65                     best_t_star = t_star
66                     min_cost_1 = -log2(P_beta)
67                     min_cost_2 = -log2(P_b)
68     return param_list+[best_t_star, min_cost_1, min_cost_2,
69         min_cost]

```



```

63 #####
64 # creates a list of pairs (length, weight) such that the fixed-
    weight strings
65 # with num_nonzero_values are at least as many as 2**
    sec_parameter
66 # i.e., comb(length, weight)*num_nonzero_values**weight ~ 2**
    sec_parameter
67
68 #if tree_flag = 0, we do not consider the use of Merkle and seed
    trees; this is used only for the fast version
69 def find_fixed_weight_options(sec_parameter, q, t_low, t_high,
    tree_flag, n, z, m):
70     possible_fw_options = []
71     # the same value of omega may be ok for different values of t
72     good_num_zeroes = 0
73     num_zeroes_step = num_cores
74     for t in range(t_low, t_high+1):
75         # batch-compute for large weight batches stop as soon as
            a batch
76         # finds a reasonable weight
77         # the soundness_error_2(t,w,p,sec_parameter) takes as w
            the weight of the
78         # challenge, therefore the number of rounds where we send
            a seed
79         valid_num_zeroes = 3
80         not_found_t_for_w = True
81         while(not_found_t_for_w and (valid_num_zeroes < (t//2 +
            num_zeroes_step))):
82             num_zeroes_pool = [i for i in range(valid_num_zeroes,
                min(valid_num_zeroes+num_zeroes_step,t // 2+1))]
83             pooled_param_list = [ [t,t-w,q,sec_parameter] for w in
                num_zeroes_pool ]
84             #print(pooled_param_list)
85             print(f"running_t={t},_wmin:{valid_num_zeroes}_wmax:{
                min(valid_num_zeroes+num_zeroes_step,t//2+1)}")
86             with Pool(num_cores) as p:
87                 concat_results = p.map( soundness_error_2,
                    pooled_param_list )
88
89             for i in concat_results:
90                 # i contains t,w,p,sec_parameter,best_t_star,
                    min_cost_1, min_cost_2, min_cost
91                 #if the t-w pair is ok for security
92                 if (i[7] > sec_parameter):
93                     # if we're still looking for a string with that
                        many zeroes
94                     this_num_zeros = i[0]-i[1]

```

```

95         if (good_num_zeroes != this_num_zeros):
96             is_it_best_option = True
97             #option contains sec_parameter,q,t,
98                 num_zeroes,secvalue
99         for option in possible_fw_options:
100             option_num_zeros = option[3]
101             if (option[1] == i[2]) and (
102                 option_num_zeros < this_num_zeros):
103                 is_it_best_option = False
104         if (is_it_best_option):
105
106             num_rounds = i[0]
107             val_w = i[1]
108             #compute signature (in kB)
109             if tree_flag == 0:
110                 sign_size = 6*sec_parameter +val_w
111                     *3*sec_parameter+(num_rounds-
112                     val_w)*(n*ceil(log2(q))+m*ceil(
113                     log2(z)))
114             else:
115                 sign_size = 6*sec_parameter +(
116                     num_rounds-val_w)*sec_parameter*
117                     log2(num_rounds/(num_rounds-
118                     val_w))+2*sec_parameter*(1+(
119                     num_rounds-val_w)*log2(
120                     num_rounds/(num_rounds-val_w)))
121                     +(num_rounds-val_w)*(n*ceil(log2
122                     (q))+m*ceil(log2(z)))
123             possible_fw_options.append( [
124                 sec_parameter,q,i[0],i[0]-i[1],i[7],
125                 sign_size] )
126             good_num_zeroes = valid_num_zeroes
127             not_found_t_for_w = False
128             valid_num_zeroes = valid_num_zeroes + num_zeroes_step
129         return possible_fw_options
130
131 #####
132
133 if __name__=="__main__":
134     # check that a security level is provided
135     if (len(argv)< 2):
136         print("Parallel_round_number_optimizer_for_CROSS")
137         print(f"Usage:{argv[0]}_<output_file>")
138         exit()
139
140     # open file with code parameters
141     try:

```

```

128     results_file = open(argv[1], "w+")
129     csvwriter = csv.writer(results_file)
130     except:
131         print(f"parameter_{file}_{argv[1]}_not_found")
132
133     csvwriter.writerow(["lambda", "q", "t", "num_zeroes", "sec_margin",
134                        ", "signature_size"])
135     # The optimization is performed over the following list of
136     # parameter
137     # sets representing lambda, q, n, z, m, t_low, t_high
138     # for R-SDP(G), set m = n
139     sets_to_opt = [
140         [128, 509, 55, 127, 25, 150, 170]] #here, write
141         the parameters you want to consider
142     #
143     # [192, 509, 100, 1000],
144     # [256, 509, 100, 1000],
145     # [128, 127, 190, 270],
146     # [128, 127, 860, 895],
147     # [192, 127, 200, 350],
148     # [192, 127, 930, 952],
149     # [256, 127, 430, 455],
150     # [256, 127, 980, 1020],
151     # [128, 509, 208, 248],
152     # [192, 509, 232, 272],
153     # [128, 509, 818, 888],
154     # [192, 509, 892, 952],
155     # [256, 509, 316, 356],
156     # [256, 509, 916, 956],
157
158     is_tree_used = 1 #change this if you want to use trees
159
160     for code_params in sets_to_opt:
161         security_level= code_params[0]
162         q = int(code_params[1])
163         n = int(code_params[2])
164         z = int(code_params[3])
165         m = int(code_params[4])
166         t_low = int(code_params[5])
167         t_high = int(code_params[6])
168         list_fixed_weight_options = find_fixed_weight_options(
169             security_level, q, t_low, t_high, is_tree_used, n, z, m)
170         for fwopt in list_fixed_weight_options:
171             csvwriter.writerow(fwopt)
172         results_file.flush()
173     results_file.close()

```

Listato 4.23: Script relativo al calcolo della coppia  $t$  e  $w$  negli intervalli desiderati

## CROSS\_code\_round\_parameters\_combiner.py

```

1     #!/usr/bin/python3
2     # This script takes as input the code parameters for which the
3         ISD complexity
4     # is high enough to provide the desired security margin.
5     # The parameters are expected to be in the ./
6         final_code_parameter_sets.csv
7     # CSV file with header type,lambda,q,z,n,k,m
8     # Type can either be RSDP or RSDPG
9     import csv
10    from math import comb,log2,ceil
11
12
13    def bits_to_represent_value(x):
14        return ceil(log2(x+1))
15
16    def worst_case_tree_nodes(num_rounds_t,seeds_to_hide):
17        num_set_bits_w = num_rounds_t-seeds_to_hide
18        if (num_set_bits_w < num_rounds_t//2):
19            print("Warning, the constant weight challenge string is
20                too sparse, no gain.")
21            return num_rounds_t-num_set_bits_w
22        diff = num_rounds_t-num_set_bits_w
23        return ceil(diff*log2(num_rounds_t/diff))
24
25    #####
26    # This function computes the size, in bytes of a bitpacked vector
27        of
28    # vect_len elements, each one able to model any number in [0;
29        max_to_repr]
30    # This size is obtained considering taking the quotient of the
31        vector
32    # size in bits (vect_len*bits_to_represent(max_to_repr)) by 8 and
33        rounding up
34
35    def bitpacked_vector_size_B(vect_len,max_to_repr):
36        res = vect_len*bits_to_represent_value(max_to_repr)/8
37        return ceil(res)
38
39    def public_key_size_B(n,k,q,prng_seed_size):
40        # a seed to expand H, and a syndrome of n-k elements in Z_q
41        return prng_seed_size/8 + bitpacked_vector_size_B(n-k,q-1)
42
43    def private_key_size_B(n,m,z,prng_seed_size):
44        # uncompressed, m elements in [0,z-1]
45        if m!=0:
46            return bitpacked_vector_size_B(m,z-1)

```

```

39     return bitpacked_vector_size_B(n,z-1)
40
41 def signature_size_B(q,z,n,t,m,seeds_to_hide,prng_seed_size_b,
42     hash_digest_size_b):
43     # salt + c + h (bytes)
44     cost = prng_seed_size_b/8 + 2*hash_digest_size_b/8 # 80 bytes
45
46     # Seed tree cost where t-w (b=1) seeds are revealed, w are
47     # not (b=0)
48     cost += (prng_seed_size_b * worst_case_tree_nodes(t,
49         seeds_to_hide))/8
50     # Cost of revealing the missing w = seeds_to_hide commitment
51     # hashes
52     cost += (hash_digest_size_b * worst_case_tree_nodes(t,
53         seeds_to_hide))/8 # Merkle tree non revealed
54     cost += (seeds_to_hide * hash_digest_size_b)/8 # random
55     # reveals leaves as raw hashes
56     if (m == 0): # RSDP case
57         cost += seeds_to_hide * (bitpacked_vector_size_B(n,q-1)+
58             bitpacked_vector_size_B(n,z-1)) # size of actual
59             # reveals (y,sigma)
60     else :
61         cost += seeds_to_hide * (bitpacked_vector_size_B(n,q-1)+
62             bitpacked_vector_size_B(m,z-1)) # size of actual
63             # reveals (y,sigma)
64     return cost
65
66 if __name__=="__main__":
67     # read and materialize the list of code parameters (q,z,n,k,
68     # and m for RSDPG)
69     # for all security levels. For RSDP, the value m is set to
70     # zero in the CSV
71     # to distinguish the RDSP case in the script
72     all_code_params = []
73     with open("./final_code_parameter_sets.csv","r") as csvfile:
74         paramreader = csv.reader(csvfile)
75         for row in paramreader:
76             #type,lambda,q,z,n,k,m
77             if row[0] == "type":
78                 continue
79             for i in range(1,7):
80                 row[i] = int(row[i])
81             all_code_params.append(row)
82     # print(all_code_params)

```

```

73     # glob all the possible t/w pairs providing security against
       Zaverucha's attack
74     protocol_params_t_num_zeroes = []
75     with open("./fine_tuning_full_range.csv", "r") as csvfile:
76         paramreader = csv.reader(csvfile)
77         for row in paramreader:
78             # lambda,q,t,num_zeroes,sec_margin
79             if row[0] == "lambda":
80                 continue
81             for i in range(4):
82                 row[i] = int(row[i])
83             row[4] = float(row[4])
84             protocol_params_t_num_zeroes.append(row)
85
86     # Compute the sizes for all the possible pairs of code and
       protocol parameters
87     for rsdp_par in all_code_params:
88         RSDP_type,sec_level_code_param,q,z,n,k,m = rsdp_par
89         print(f"combining_{rsdp_par}")
90         with open(f"{RSDP_type}_{sec_level_code_param}_values.csv",
           'a') as csvfile:
91             writer = csv.writer(csvfile)
92             writer.writerow(["q", "z", "n", "k", "m", "t", "num_zeroes",
           "sec_margin", "pk_size_B", "uncomp_sk_size_B",
           "sig_size_B"])
93         for el in protocol_params_t_num_zeroes :
94             sec_level_protocol = el[0]
95             t,num_zeroes,secmargin = el[2:]
96             if sec_level_code_param == sec_level_protocol:
97                 #         q,n,z,k,m + t,num_zeroes,secmargin
98                 to_write = [q,n,z,k,m] + [t,num_zeroes,
           secmargin]
99                 pub_size_B = public_key_size_B(n,k,q,
           sec_level_protocol)
100                pri_size_B = private_key_size_B(n,m,z,
           sec_level_protocol)
101
102                sig_size_B = signature_size_B(q,z,n,t,m,
           num_zeroes,
103                sec_level_protocol,
           2*sec_level_protocol)
104                to_write = to_write + [pub_size_B,pri_size_B,
           sig_size_B]
105                writer.writerow(to_write)
106
107

```

Listato 4.24: Script relativo alla definizione del set di parametri per CROSS

---

## Riferimenti bibliografici

1. Daniel Kales and Greg Zaverucha. An attack on some signature schemes constructed from five-pass identification schemes. Cryptology ePrint Archive, Paper 2020/837, 2020. <https://eprint.iacr.org/2020/837>.
2. Andreas Hulsing, Joost Rijneveld, Simona Samardjiska, and Peter Schwabe. From 5-pass mq-based identification to mq-based signatures. *IACR Cryptol. ePrint Arch.*, 2016:708, 2016.
3. Elwyn Berlekamp, Robert McEliece, and Henk Van Tilborg. On the inherent intractability of certain coding problems. *IEEE Transactions on Information Theory*, 24(3):384–386, 1978.
4. S Barg. Some new NP-complete coding problems. *Problemy Peredachi Informatsii*, 30(3):23–28, 1994.
5. Violetta Weger, Karan Khathuria, Anna-Lena Horlemann, Massimo Battaglioni, Paolo Santini, and Edoardo Persichetti. On the hardness of the Lee syndrome decoding problem. *Advances in Mathematics of Communications*, 2022.
6. Pierre-Louis Cayrel, Pascal Véron, and Sidi Mohamed El Yousfi Alaoui. A zero-knowledge identification scheme based on the  $q$ -ary syndrome decoding problem. In *International Workshop on Selected Areas in Cryptography*, pages 171–186. Springer, 2010.
7. Thomas Attema, Ronald Cramer, and Lisa Kohl. A compressed  $\sigma$ -protocol theory for lattices. In *Advances in Cryptology—CRYPTO 2021: 41st Annual International Cryptology Conference, CRYPTO 2021, Virtual Event, August 16–20, 2021, Proceedings, Part II*, pages 549–579. Springer, 2021.
8. Thomas Attema, Serge Fehr, and Michael Kloöß. Fiat-Shamir transformation of multi-round interactive proofs. In *Theory of Cryptography: 20th International Conference, TCC 2022, Chicago, IL, USA, November 7–10, 2022, Proceedings, Part I*, pages 113–142. Springer, 2022.
9. Andre Chailloux. On the (in) security of optimized stern-like signature schemes. In *In Proceedings of WCC 2022: The Twelfth International Workshop on Coding and Cryptography*, March 7–11, 2022.
10. Marco Baldi, Alessandro Barenghi, Sebastian Bitzer, Patrick Karl, Felice Manganiello, Alessio Pavoni, Gerardo Pelosi, Santini Paolo, Jonas Schupp, Freeman Slaughter, Antonia Wachter-Zeh, and Violetta Weger. Cross codes and restricted objects signature scheme. In *Submission to the NIST Post-Quantum Cryptography Standardization Process*, 2023.
11. The Classic McEliece team. Listing of Information Set Decoding related papers. <https://classic.mceliece.org/papers.html>.
12. Shay Gueron, Edoardo Persichetti, and Paolo Santini. Designing a practical code-based signature scheme from zero-knowledge proofs with trusted setup. *Cryptography*, 6(1):5, 2022.
13. Felice Manganiello and Freeman Slaughter. Generic error SDP and generic error CVE. In Andre Esser and Paolo Santini, editors, *Code-Based Cryptography*, pages 125–143, Cham, 2023. Springer Nature Switzerland.